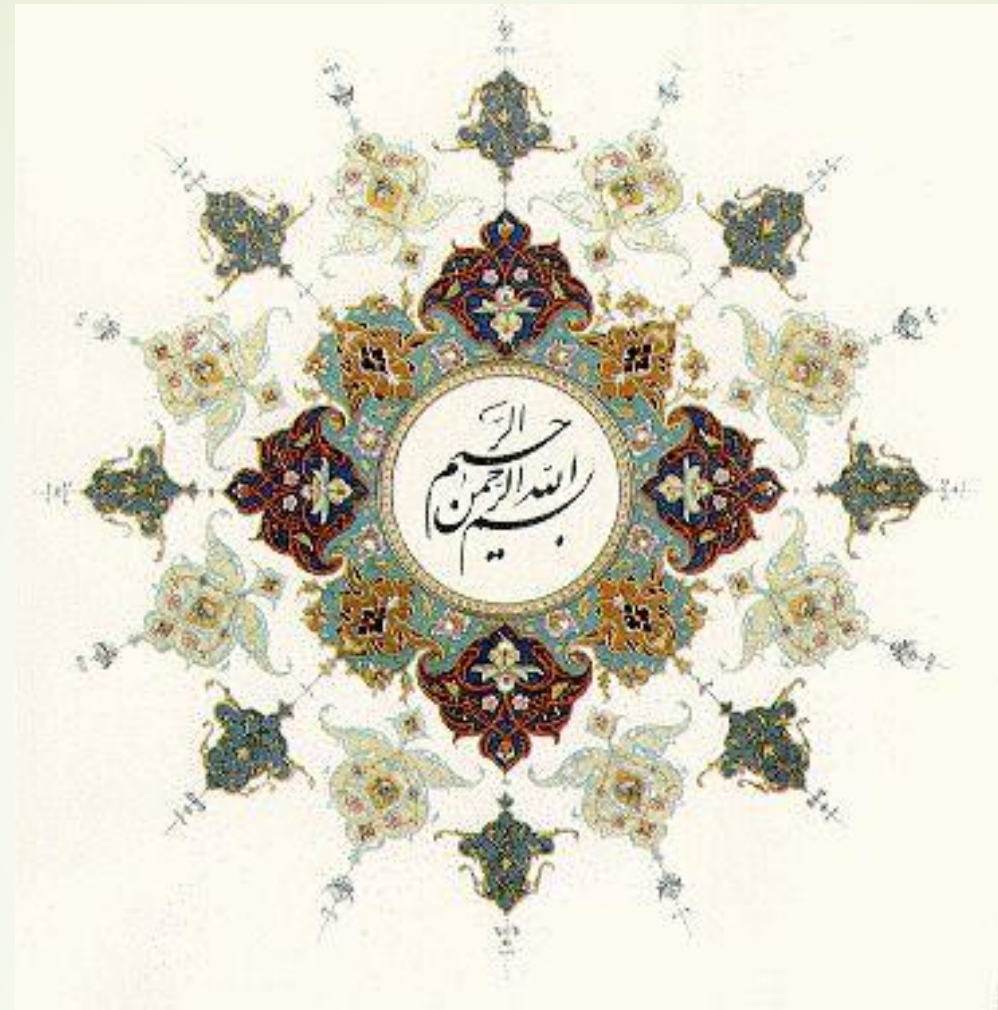


1



Robotics

References:

- [1] John J. Craig, *Introduction to Robotics: Mechanics and Control*. 3rd Edition, Prentice Hall, 2004.
- [2] Gregory Dudek and Michael Jenkin, *Computational Principles of Mobile Robotics*. Second Edition, Cambridge University Press, New York, NY, 2010.
- [3] Siegwart & Nourbakhsh, *Introduction to Autonomous Mobile Robot*. MIT Press, 2004.

- ربات چیست؟ چرا و چگونه مورد استفاده قرار می‌گیرد. بررسی رباتهای متحرک و صنعتی و اختلاف آنها، تعریف و مشخص کردن سنسورهای مورد نیاز ربات متحرک
- ۲- توصیف موقعیت و تبدیلات آن
 - ۳- سیستم مختصات، نمایش موقعیت، زوایای اویلر، نمایش چرخش، انتقال همگن
 - ۴- سینماتیک بازوهای صنعتی
 - ۵- سینماتیک مستقیم، سینماتیک معکوس، روابط D-H
 - ۶- سنسورها
 - ۷- سنسورهای برخورد، انکدر، سونار، لبزر، قطب نما، GPS و IMU
 - ۸- جایگاهی ربات متحرک
 - ۹- ربات تفاضلی، ربات چهار چرخ، ربات تمام جهت
 - ۱۰- سینماتیک ربات متحرک و کنترل حرکت
 - ۱۱- سینماتیک مستقیم و معکوس ربات متحرک، کنترل حرکت حلقه باز و حلقه بسته
 - ۱۲- برنامه‌ریزی مسیر
 - ۱۳- برنامه‌ریزی با اطلاعات کامل، فضای موقعیت، گراف دیداری، دیاگرام ورونوی، میدان پتانسیل، تجزیه

سلولی، پرهیز از موانع، مسیریابی در حضور موانع متحرک، نقشه راه احتمالاتی (PRMs)، درخت‌های تصادفی گسترش یابنده سریع (RRTs)

- ۱۴- نقشه‌سازی و مکان‌یابی
- ۱۵- نقشه‌های متریک، نقشه توبولوژیک، مکان یابی، Dead reckoning، استفاده از نشانه‌ها (Landmarks)، ترکیب داده‌های انکدر و سوتار برای ساخت نقشه، تخمین موقعیت، فیلتر بیز
- ۱۶- نقشه‌سازی و مکان‌یابی همزمان
- ۱۷- فیلتر کالمن، SLAM
- ۱۸- معناری نرم‌افزار
- ۱۹- معنای واکنشی، ترکیبی، مبتنی بر رفتار و سلسله مراتبی

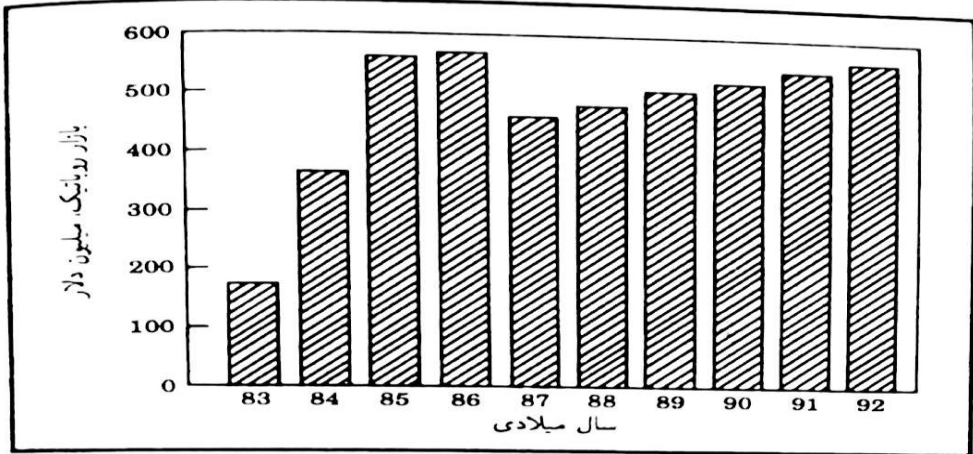
حصہ اپنے ایڈوینٹری

► <http://www.petercorke.com>

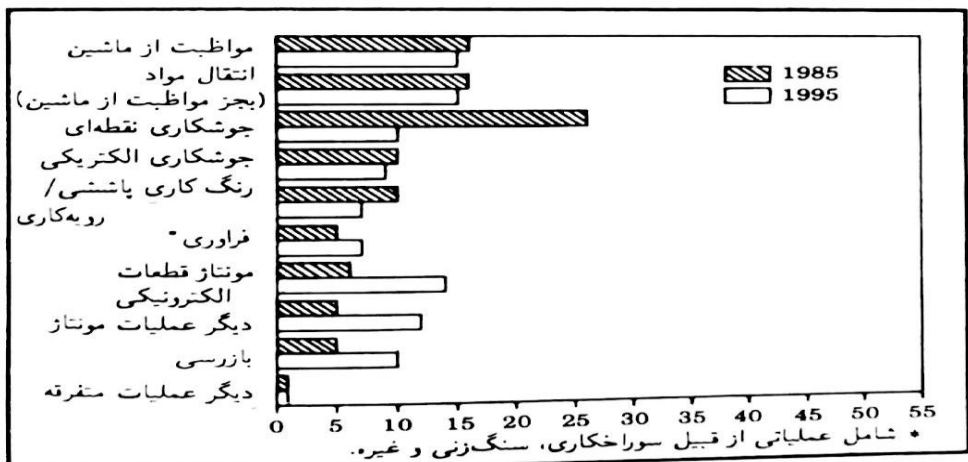
مقدمه

تاریخ اتوماسیون صنعتی با دوره‌هایی مشخص می‌شود که در آنها تغییرات سریع و ناگهانی در روش‌های معمول صورت گرفته است. به نظر می‌رسد که این دوره‌های تغییر در فنون اتوماسیون، به صورت علت و شاید معلول، با اقتصاد جهانی عیقاً همبسته باشد. استفاده از روبات‌صنعتی، که در دهه ۱۹۶۰ میلادی به عنوان دستگاهی منحصر به فرد شناخته شد، به همراه سیستم‌های طراحی به کمک کامپیوتر (CAD) و سیستم‌های تولید به کمک کامپیوتر (CAM)، مشخصه‌آخرين روندهای اتوماسیون فرایند تولید است [۱]. این تکنولوژیها، اتوماسیون صنعتی را به گذار دیگری که چشم‌انداز آن هنوز نامعلوم است، هدایت می‌کنند.

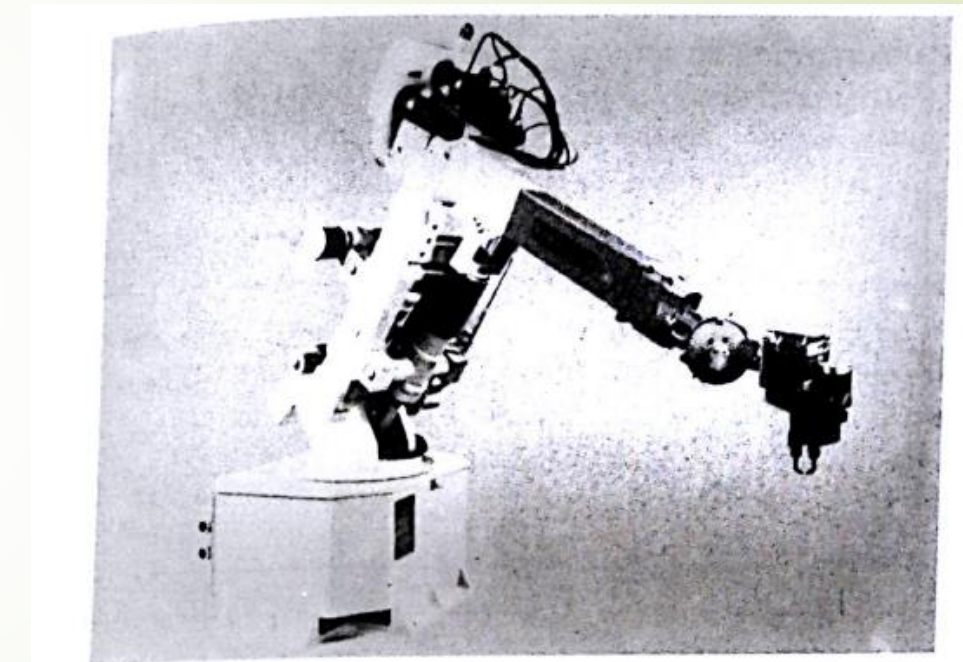
اگرچه رشد بازار روباتیک در مقایسه با سالهای اول دهه ۱۹۸۰ کاهش یافته است (شکل ۱-۱)، اما بر طبق پیش‌بینیهای انجام شده، استفاده از روبات‌های صنعتی هنوز دوران ابتدایی خود را طی می‌کند. صرف نظر از اینکه این پیش‌بینیها به طور کامل تحقق یابند یا نه، روشن است که روبات‌های صنعتی، در هر حال و به هر شکل، در صنعت ماندگار خواهند بود.



شکل ۱-۱ بازار روباتیک در آمریکای شمالی بر حسب میلیون دلار.



شکل ۱-۲ درصد فروش روبات کاربرد، در ایالات متحده آمریکا.



شکل ۱-۳ بازوی مکانیکی ماهر سین سیاناتی میلکرون ۷۷۶ با شن منصل چرخنی، که در جوشکاری نقطه‌ای کاربرد زیاد دارد.

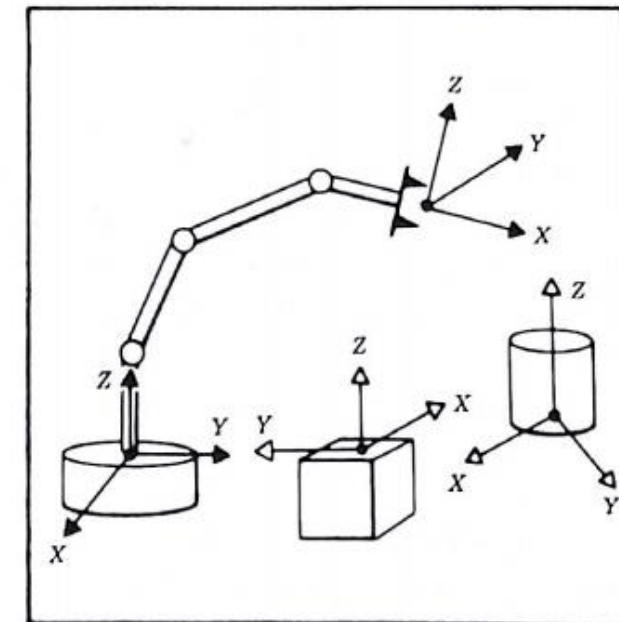
می‌کند. در علم سینماتیک، مکان، سرعت، شتاب، و کلیه مشتقهای مرتبه بالاتر از متغیرهای مکانی (نسبت به زمان یا هر متغیر دیگر)، بررسی می‌شود. از این رو مطالعه سینماتیک بازوهای مکانیکی ماهر، به تعامی ویژگیهای هندسی و زمانی حرکت مربوط می‌شود.

بازوهای مکانیکی ماهر، از رابطهای نسبتاً صلبی تشکیل می‌شوند که به وسیله مفصلهایی، که حرکت نسی رابطهای مجاور را ممکن می‌سازند، به یکدیگر اتصال یافته‌اند. این مفصلها معمولاً به حساسه‌های مکان، که اندازه‌گیری مکان نسی رابطهای مجاور را امکان‌پذیر می‌سازند، مجهzend. در حالتی که مفصلها از نوع چرخشی یا لولایی باشند، این گونه جابه‌جاییها را زوایای مفصلی می‌نمایند. برخی از بازوهای مکانیکی ماهر، مفصلهای لغزشی یا کششی دارند، که در آنها جابه‌جایی نسی بین رابطه‌ها، از نوع انتقال است، و گاه آن را انحراف مفصلی نیز می‌نامند.

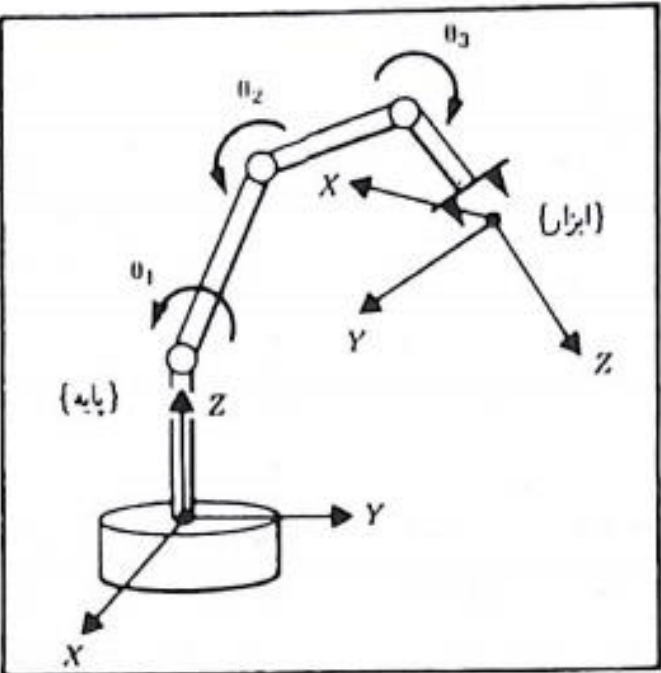
تعداد درجات آزادی هر بازوی مکانیکی ماهر، عبارت است از تعداد متغیرهای مکانی مستقلی که باید برای تعیین مکان و جهتگیری کلیه قسمتهای مکانیزم مشخص شوند. این اصطلاحی کلی است که برای هر مکانیزم به کار می‌رود. مثلاً، یک اهرم‌بندی چهار میله‌ای، تنها دارای یک درجه آزادی است (هر چند در این مکانیزم، سه عضو حرکت می‌کنند). از آنجا که در روباتهای صنعتی، بازوی مکانیکی ماهر یک زنجیر سینماتیکی باز است، و چون مکان هر مفصل معمولاً تنها با یک متغیر توصیف می‌شود، تعداد درجات آزادی با تعداد مفصلها برابر خواهد بود.

در انتهای آزاد زنجیر رابطهای تشکیل‌دهنده بازوی مکانیکی ماهر، مجری نهایی قرار دارد. بر حسب کاربردی که از روبات انتظار می‌رود، مجری نهایی می‌تواند گیره با چنگک، مشعل جوشکاری، آهنربای الکترونیکی، و یا ابزاری دیگر باشد. به طور کلی مکان بازوی مکانیکی ماهر را با توصیف چهارچوب ابزار، که به مجری نهایی متصل است، نسبت به چهارچوب پایه، که به پایه غیر متعرک بازو اتصال دارد، تعیین می‌کنیم (شکل ۱-۶).

سينماتيک مستقيم بازوهای مکانيکي ماهر
سينماتيک علم حرکت است و حرکت را بدون در نظر گرفتن نیروهای موجود آورنده آن، مطالعه



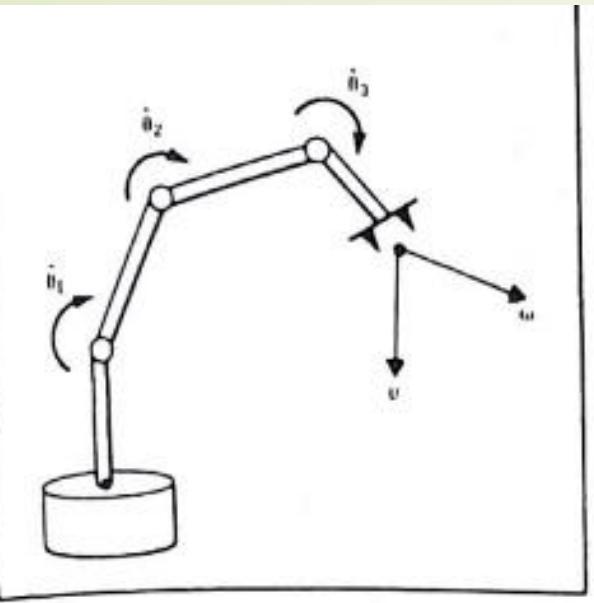
شکل ۱-۵ دستگاههای مختصات با چهارچوبها به بازوی مکانیکی ماهر و اجسام واقع در سبیط، متصل می‌شوند.



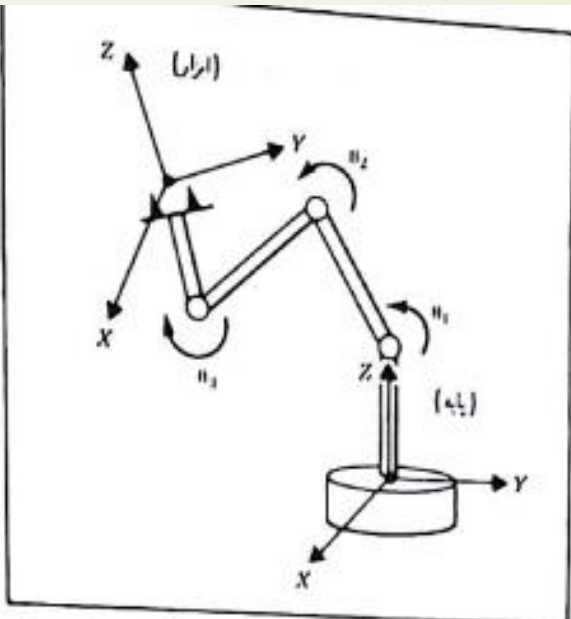
شکل ۱-۶ معادلات بیناییکی چهارجوب ابزار را نسبت به چهارجوب پایه به صورت تابعی از متغیرهای مفصلی، توصیف می‌کند.

سرعتها، نیروهای استاتیکی، نقاط تکین

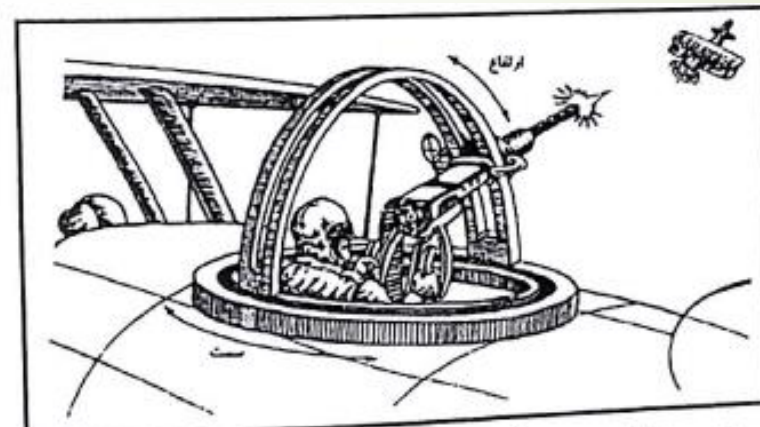
علاوه بر بحث پرامون مسافت مربوط به استقرار استاتیکی بازوهای مکانیکی ماهر در مکان و جهتگیری مطلوب، می‌خواهیم بازوهای مکانیکی ماهر را در حال حرکت نیز تحلیل کنیم. غالباً بهتر است برای تحلیل سرعت، مکانیزمی ماتریسی را که ماتریس ژاکوبی بازوی مکانیکی ماهر نامده می‌شود، تعیین کرد. ماتریس ژاکوبی نگاشتی از سرعتها، از فضای مفصلی به فضای دکارتی است (شکل ۱-۸). طبیعت این نگاشت، با تغییر پیکربندی بازوی مکانیکی تغییر می‌کند. این نگاشت در نقاط معینی، که آنها را نقاط تکین می‌نامیم، وارون ناپذیر است.



شکل ۱-۸ رابطه هندسی بین سرعت زاویه‌ای مفصلها و سرعت مجری نهایی، با ماتریسی به نام زاکوبی توصیف می‌شود.



شکل ۱-۷ برای مکان و جهتگیری مفرض چهار جرب از ازار، می‌توان با استفاده از سینماتیک دارون، متغیرهای مفصلی را محاسبه کرد.



شکل ۹-۱ یک هوایسای دوباله که در جنگ جهانی دوم مورد استفاده قرار می‌گرفت و دو خدمه داشت: خلبان و تیرانداز عقب. مکانیزم عقب باعث ایجاد نقاط تکین در هواپیما شده است.

دینامیک

10

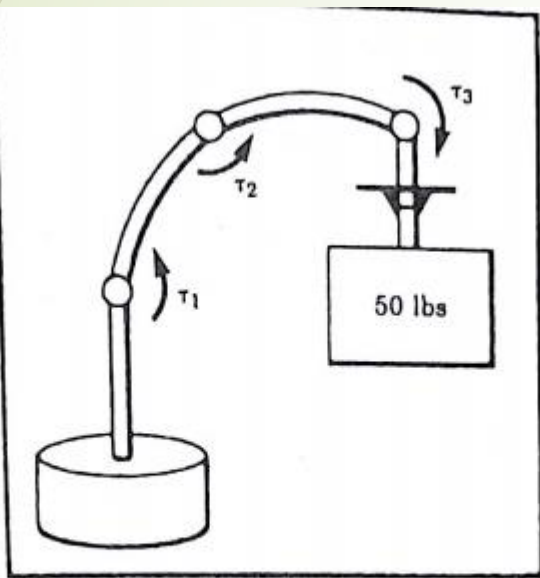
دینامیک شاخه‌ای گسترده از مکانیک است که در آن تیروهای پدید آورنده حرکت مورد مطالعه فرار می‌گیرند. برای اینکه یک بازوی مکانیکی ماهر را از حال سکون با شتاب افزاینده به حرکت درآوریم، حرکت آن را به نرمی با سرعت ثابت مجری نهایی تداوم بخثیم، و سرانجام آن را با شتاب کاهنده به حال سکون درآوریم، باید مجموعه پیچیده‌ای از توابع گشتاوری را به وسیله کاراندازهای مفصل اعمال کنیم. شکل دقیق توابع گشتاور کارانداز مورد نیاز، نه تنها وابسته به مشخصه‌های فضایی و زمانی مسیر بیوده شده به وسیله مجری نهایی است، بلکه به خواص جرمی رابطها، بار مفید، اصطکاک در مفصلها، و غیره نیز بستگی دارد. یکی از روش‌های کترل بازوی مکانیکی ماهر برای حرکت در مسیر مورد نظر، استفاده از معادله‌های دینامیکی حرکت بازوی مکانیکی ماهر، برای معایب این توابع گشتاور کارانداز است.

۱. از اصطلاح کارانداز مفصل به منزله اصطلاحی عمومی برای وسائلی که بازوی مکانیکی ماهر را به حرکت درمی‌آورند، از قبیل سوپرهاي الکترونیکی، کاراندازهای هیدرولیکی و بادی، عضلات و غیره، استفاده من کنیم.

یک راه معمول برای به حرکت در آوردن بازوی مکانیکی ماهر از نقطه‌ای به نقطه دیگر به صورت کنترل شده و هموار، آن است که ترتیبی دهیم تا مفصل به صورت تابعی هموار از زمان حرکت کند. عموماً، هر مفصل حرکت خود را در یک زمان آغاز می‌کند و به بیان می‌رساند، به گونه‌ای که حرکت بازوی مکانیکی ماهر همانگ به نظر می‌رسد. تولید مسیر روش دقیق محاسبه این توابع حرکت است (شکل ۱۰-۱ را ببینید). مسیر حرکت غالباً نه تنها به وسیله نقطه نهایی (مقصد)، بلکه با تعدادی نقطه میانی یا بینابینی، که بازوی مکانیکی ماهر باید برای رسیدن به مقصد از

آنها بگذرد، مشخص می‌شود. در چنین مواردی، گاه تابع همواری که از مجموعه نقاط بینابینی می‌گذرد را «اسپلاین»^۱ می‌نامند.

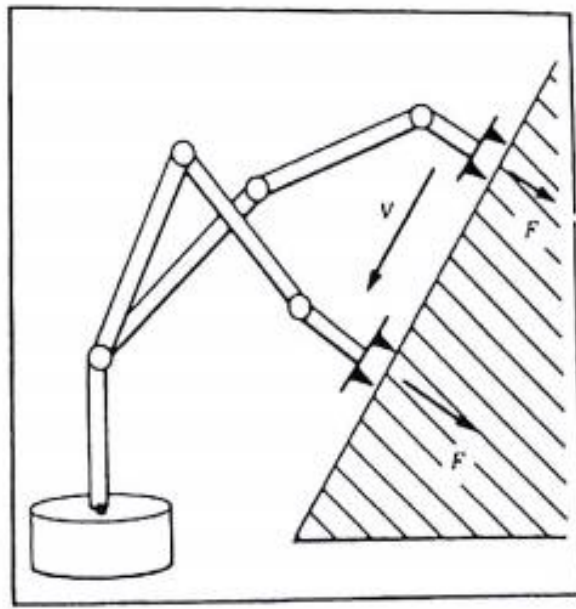
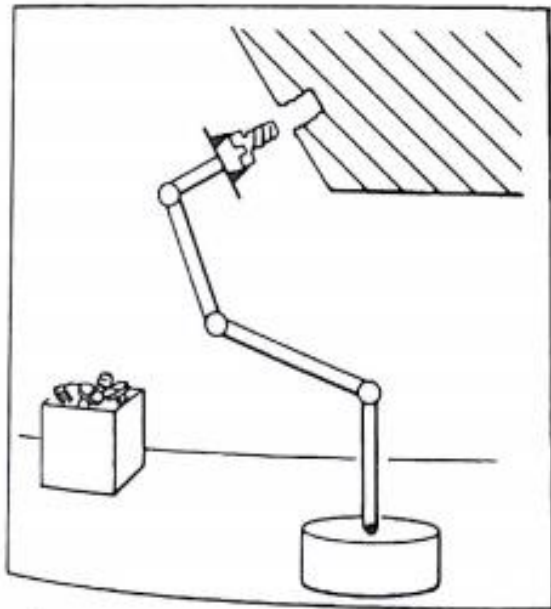
برای واداشتن مجری نهایی به پیمودن خطی مستقیم (یا سایر شکل‌های هندسی) در فضای باید حرکت مورد نظر به مجموعه‌ای معادل از حرکات مفصلها تبدیل شود. این نوع تولید مسیر دکارتی نیز در فصل ۷ بررسی خواهد شد.



شکل ۱۲-۱ در طراحی بازوی مکانیکی ماهر، باید نکاتی از قبیل نوع کارانداز، مکان کارانداز، بین انتقال، سختی سازه‌ای، مکان حاصل و... در نظر گرفت شوند.

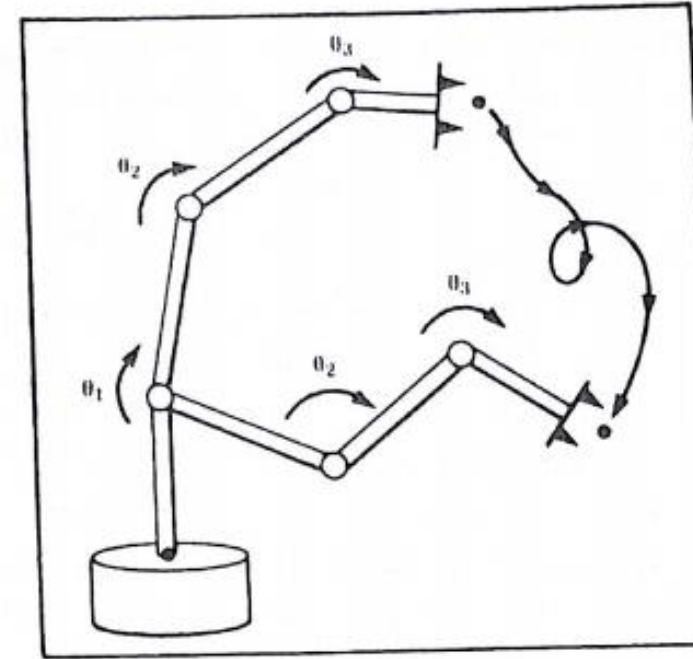
طراحی بازوهای مکانیکی ماهر و حساسه‌ها

اگرچه از لحاظ نظری، بازوهای مکانیکی ماهر دستگاههایی «همه کاره»، و در موارد زیادی قابل بهکارگیری‌اند، ولی در حالت کلی، ملاحظات اقتصادی باعث می‌شوند کاری که از بازوی مکانیکی انتظار می‌رود، در طراحی مکانیکی سیستم تأثیر گذارد. طراح باید همراه با مشخصاتی چون اندازه، سرعت، و توانایی حمل بار، تعداد مفصلها و ترکیب هندسی آنها را نیز در نظر بگیرد. این ملاحظات بر کیفیت و اندازه فضای کاری بازوی مکانیکی، ساختی سازه بازوی مکانیکی، و سایر مشخصات آن تأثیر می‌گذارند.



شکل ۱۴-۱۵ برای آنکه بازوی مکانیکی ماهر روی یک سطح بلند و در ضمن به آن نیروی ناتی اعمال مجري نهایی، نیروهای تنسی مطلوب، و استراتژی‌های کند، باید از سیستم کنترل مکان-نیروی ترکیبی استفاده شود. حرکتی پیچیده، به زبان برنامه‌ریزی روبات توصیف می‌شود.

شکل ۱۴-۱۵ حرکات مطلوب بازوی مکانیکی ماهر روی یک سطح بلند و در ضمن به آن نیروی ناتی اعمال مطلوب، و استراتژی‌های کند، باید از سیستم کنترل مکان-نیروی ترکیبی استفاده شود. حرکتی پیچیده، به زبان برنامه‌ریزی روبات توصیف می‌شود.

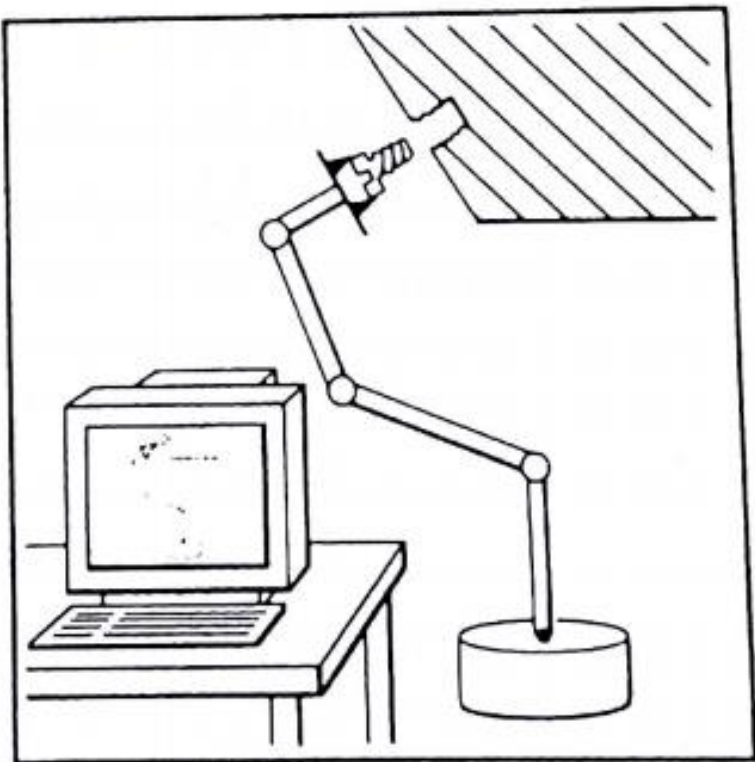


شکل ۱۳-۱ واداشتن بازوی مکانیکی ماهر به پیردن سیری مطلوب، بر عهد: سیستم کنترل مکان است. جنین سیستم با استفاده از بسخراحت حساسهای منفصل، بازوی مکانیکی ماهر را در سیر تعیین شده، نگه می‌دارد.

برنامه‌ریزی خارج خط و شبیه‌سازی

۱۴

سیستم برنامه‌ریزی خارج خط، سیستمی است که معمولاً به وسیله گرافیک کامپیوتری تا جایی گسترش یافته است، که به وسیله آن می‌توان برنامه‌های روبات را بدون نیاز به دسترسی به خود روبات، نوشت. در دفاع از این سیستم، می‌توان گفت که در سیستم برنامه‌ریزی خارج خط، به هنگام برنامه‌ریزی، دسترسی به عامل تولید (یعنی روبات) لزومی ندارد، و به همین دلیل زمان تولید مفید در کارخانه‌های خودکار، بالاتر خواهد بود.



شکل ۱۶-۱ در سیستم‌های برنامه‌ریزی خارج خط، معمولاً استفاده از گرافیک کامپیوتری، برنامه‌ریزی روبات بدون دسترسی به خود آن (در حین برنامه‌ریزی) امکان‌ذیر است.

۱-۳ نمادگذاری

نمادگذاری همواره در علوم و مهندسی مسئله‌ای قابل بحث است. در این کتاب، قراردادهای زیر را به کار می‌بریم:

۱. معمولاً متغیرهایی که با حروف بزرگ نوشته می‌شوند، نشان‌دهنده بردار یا ماتریس‌اند. متغیرهای نوشته شده با حروف کوچک، اسکالر هستند.
۲. پیش زیرنویسها یا پیش زبرنویسها، دستگاه مختصاتی را که کمیت در آن نوشته شده است، مشخص می‌کنند. مثلاً P^A بردار مکانی را نشان می‌دهد که در دستگاه مختصات $\{A\}$ نوشته شده است، و یا R_B^A ماتریس دورانی است که رابطه بین دستگاه‌های مختصات $\{A\}$ و $\{B\}$ را مشخص می‌سازد.
۳. پس زیرنویسها، برای نشان دادن وارون یا ترانهاده یک ماتریس به کار می‌روند، مانند: R^T و R^{-1} (این قرارداد، در سطحی گسترده مورد قبول است).
۴. پس زیرنویسها، تابع قاعدة خاصی نیستند، اما می‌توانند برای نشان دادن مؤلفه‌های یک بردار (مثلاً x ، y ، یا z)، یا برای توصیف، مانند: $P_{\theta, \phi, \psi}$ به معنای مکان پیج، به کار روند.
۵. در این کتاب، بسیاری از توابع مثلثاتی به کار می‌آید. برای نشان دادن کسینوس زاویه‌ای مانند θ_1 ، هر یک از صورتهای c_1 ، $\cos \theta_1$ ، یا $\cos \theta_1$ به کار رفته است.

بردارها همواره به صورت سه‌بعدی در نظر گرفته می‌شوند. از این‌رو بردارهای سطحی با علامت ترانهاده به روشنی مشخص خواهند شد.

تمرین کلاسی ۱: مهلت تحویل: دو هفته

شرحی از رویدادهای مهم در ناربیخ تکامل روباتهای صنعتی در طول ۲۰ سال
گذشته نهیه کنید.

فصل ۲: توصیفها و تبدیلهای فضایی کلی

اعمال رویانی بنابر تعریف عبارت از به حرکت در آوردن قطعات و ابزارها در فضا به وسیله نوعی مکانیزم است. این امر، طبیعاً نیاز به نمایش مکانها و جهتگیریهای قطعات، ابزار، و خود مکانیزم را مطرح می‌سازد. برای تعریف و به کارگیری کمیتهای ریاضی که مکان و جهتگیری را تشان می‌دهند، باید دستگاههای مختصاتی تعریف، و هواردادهایی برای نمایش آنها وضع کنیم. بسیاری از مطالیی که در اینجا در زمینه مکان و جهتگیری مطرح می‌شوند، اصولی را تشکیل می‌دهند که در آینده در بحث سرعتهای خطی و دورانی، و همچنین نیروها و گشتاورها، به کار خواهند رفت.

می‌پذیریم که در جایی یک دستگاه مختصات عام وجود دارد که هر کمیت مورد بحث را می‌توانیم نسبت به آن بسنجیم. کلیه مکانها و جهتگیریها را نسبت به این دستگاه مختصات عام، یا نسبت به دستگاه مختصات دکارتی دیگری که خود نسبت به این دستگاه عام تعریف شده (یا می‌تواند تعریف شود)، توصیف می‌کنیم.

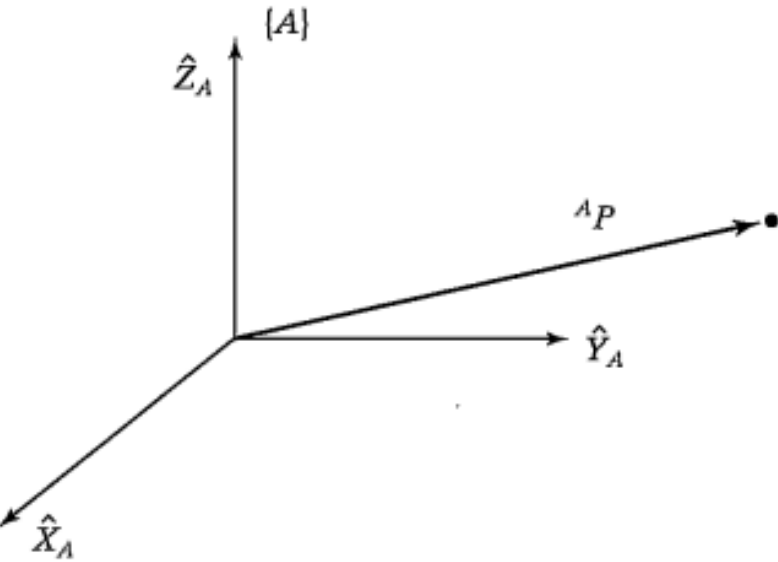


FIGURE 2.1: Vector relative to frame (example).

$$^A P = \begin{bmatrix} p_x \\ p_y \\ p_z \end{bmatrix}. \quad (2.1)$$

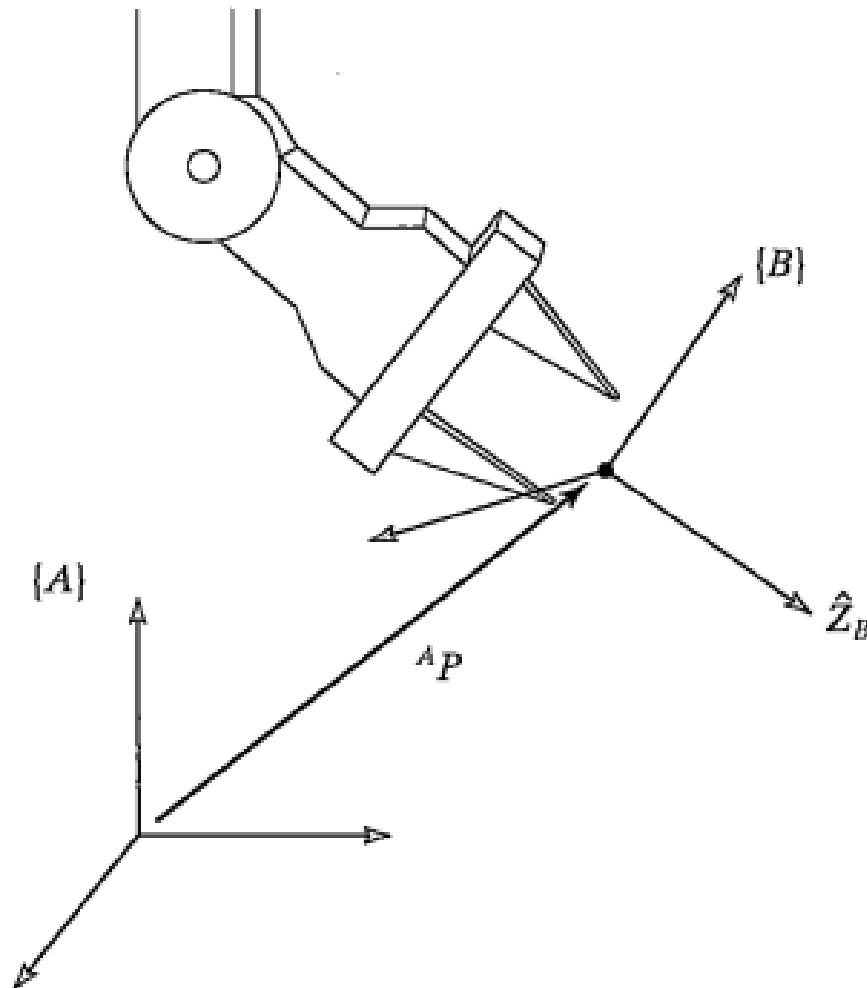


FIGURE 2.2: Locating an object in position and orientation.

توصیف جهتگیری

اغلب علاوه بر نمایش یک نقطه در فضای بیان، به تعریف جهتگیری یک جسم در فضای نیازمندیم.

برای توصیف

جهتگیری هر جسم، دستگاه مختصاتی را به آن متصل می‌کنیم، سپس این دستگاه را نسبت به دستگاه مرجع تعریف می‌کنیم.

برای مشخص کردن جهتگیری جسم، کافی است دستگاه $\{B\}$ را نسبت به $\{A\}$ توصیف

بردارهای یکه سه محور اصلی آن نسبت به دستگاه مختصات $\{A\}$ است. ما این بردارهای یکه را که نشان‌دهنده جهات اصلی دستگاه مختصات $\{B\}$ هست، با \hat{X}_B , \hat{Y}_B و \hat{Z}_B نشان می‌دهیم. هنگامی که این بردارها نسبت به دستگاه مختصات $\{A\}$ نوشته شوند، با نمادهای ${}^A\hat{X}_B$, ${}^A\hat{Y}_B$ و ${}^A\hat{Z}_B$ نمایش داده خواهد شد. ساده‌تر است اگر این سه بردار را به صورت ستونهای یک ماتریس 3×3 (با ترتیب ${}^A\hat{X}_B$, ${}^A\hat{Y}_B$ و ${}^A\hat{Z}_B$) نشان دهیم. این ماتریس را ماتریس دوران می‌نامیم. چون این ماتریس خاص، دستگاه $\{B\}$ را نسبت به $\{A\}$ توصیف می‌کند، آن را بانعاد ${}_B^A R$ نشان خواهیم داد. چگونگی انتخاب پیش‌زیرنویسها و پیش‌زنرنویسها در تعریف ماتریسهای دوران، در بخش‌های آینده روشن خواهد شد.

$${}_B^A R = [{}^A \hat{X}_B \quad {}^A \hat{Y}_B \quad {}^A \hat{Z}_B] = \begin{bmatrix} r_{11} & r_{12} & r_{13} \\ r_{21} & r_{22} & r_{23} \\ r_{31} & r_{32} & r_{33} \end{bmatrix} \quad (2-2)$$

به طور خلاصه، برای تعیین هر جهتگیری می‌توان از مجموعه سه بردار استفاده کرد. برای سادگی، ماتریسی 3×3 خواهیم ساخت که ستونهایش را این سه بردار تشکیل می‌دهند. بنابراین، همان‌طور که مکان هر نقطه با یک بردار بیان می‌شود، جهتگیری هر جسم نیز با یک ماتریس مشخص خواهد شد.

با توجه به اینکه مؤلفه‌های هر بردار، تصاویر آن بردار در امتدادهای یکه چهارچوب مرجع آن هستند، می‌توانیم عباراتی برای اسکالارهای τ_1 در (۲-۲) بنویسیم. بدین ترتیب، هر مؤلفه ${}_B^A R$ در (۲-۲) را می‌توان به صورت حاصل ضرب نقطه‌ای یک زوج از بردارهای یکه، به ترتیب زیر نوشت

$${}_B^A R = \begin{bmatrix} {}^A \hat{X}_B & {}^A \hat{Y}_B & {}^A \hat{Z}_B \end{bmatrix} = \begin{bmatrix} \hat{X}_B \cdot \hat{X}_A & \hat{Y}_B \cdot \hat{X}_A & \hat{Z}_B \cdot \hat{X}_A \\ \hat{X}_B \cdot \hat{Y}_A & \hat{Y}_B \cdot \hat{Y}_A & \hat{Z}_B \cdot \hat{Y}_A \\ \hat{X}_B \cdot \hat{Z}_A & \hat{Y}_B \cdot \hat{Z}_A & \hat{Z}_B \cdot \hat{Z}_A \end{bmatrix} \quad (۳-۲)$$

برای ساده‌نویسی، در ماتریس سمت راست از نوشتن پیش‌زبرنویس خودداری کردیم. در واقع اگر زوج بردارهای یکمایی که در هم ضرب می‌شوند، در یک دستگاه مختصات نوشته شده باشد، انتخاب دستگاه مختصات به دلخواه صورت خواهد گرفت. از آنجاکه حاصل ضرب نقطه‌ای دو بردار یکه، کسینوس زاویه بین آنها را به دست می‌دهد، مؤلفه‌های ماتریس دوران را کسینوسهای هادی می‌نامند.

$$\begin{matrix} {}^A_B R^T & {}^A_B R \end{matrix} = \begin{bmatrix} {}^A \hat{X}_B^T \\ {}^A \hat{Y}_B^T \\ {}^A \hat{Z}_B^T \end{bmatrix} \begin{bmatrix} {}^A \hat{X}_B & {}^A \hat{Y}_B & {}^A \hat{Z}_B \end{bmatrix} = I_3,$$

چهارچوب

که در آن ${}^A P_{BORG}$ بردار نشان دهنده مبدأ چهارچوب $\{B\}$ است:

$$\{B\} = \{{}_{\mathcal{B}}^A R, {}^A P_{BORG}\} \quad (A-2)$$

در شکل ۲-۲، علاوه بر دستگاه مختصات عام، سه چهارچوب دیگر نیز نشان داده شده است. چهارچوبهای $\{A\}$ و $\{B\}$ نسبت به دستگاه مختصات عام، و چهارچوب $\{C\}$ نسبت به چهارچوب $\{A\}$ مشخص شده است.

به طور خلاصه، از هر چهارچوب می‌توان برای توصیف یک دستگاه مختصات نسبت به دستگاه مختصات دیگر استفاده کرد. چهارچوب به منظور نمایش یکجاي مکان و جهتگیری بعکار می‌رود، و می‌توان آن را به صورت تعیین یافته این دو مشخصه در نظر گرفت. مکانها را می‌توان به وسیله چهارچوبی که قسمت ماتریس دورانی آن ماتریس یکه است و قسمت بردار مکان آن نقطه مورد بررسی را توصیف می‌کند، نشان داد. به همین ترتیب، جهتگیری را می‌توان با چهارچوبی که بردار مکان آن بردار صفر است، مشخص کرد.

در شکل ۳-۲ نایشی گرافیکی از چهارچوبها، که برای تعیم آنها مناسب است، ارائه شده است. هر چهارچوب با سه بردار یکه، که محورهای اصلی آن را تشکیل می‌دهند، نایش داده می‌شود. یک بردار نیز از مبدأ هر چهارچوب به مبدأ چهارچوب دیگر رسم می‌شود. این بردار، مکان مبدأ چهارچوبی را که در انتهایی بردار فرار دارد، نسبت به چهارچوبی که در مبدأ بردار واقع است، نشان می‌دهد. جهت این بردار در شکل ۳-۲ نشان می‌دهد که مثلث چهارچوب $\{C\}$ نسبت به چهارچوب $\{A\}$ مشخص شده است و نه برعکس.

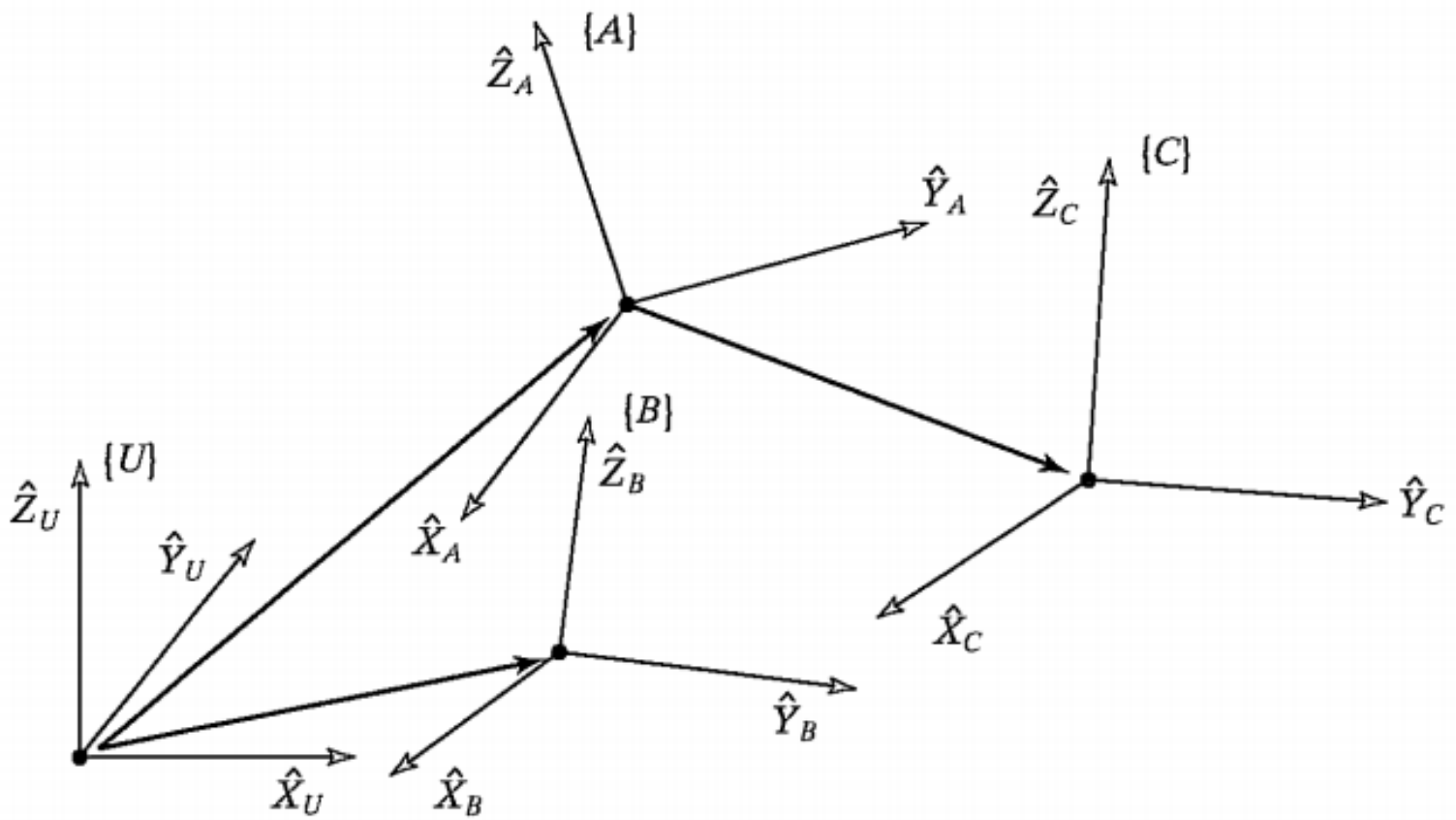


FIGURE 2.3: Example of several frames.

نگاشتها: تغییر دادن توصیفها از چهارجوبی به چهارچوب دیگر

نگاشت شامل چهارچوبهای انتقال یافته

در شکل ۴-۲، مکانی را با بردار ${}^B P$ تعریف کردہایم. می خواهیم این نقطه را در فضا نسبت به چهارچوب $\{A\}$ تعریف کنیم؛ فرض می شود چهارچوب $\{A\}$ جهتگیری یکسان با $\{B\}$ دارد. در چنین حالتی، اختلاف $\{B\}$ و $\{A\}$ تنها در یک انتقال است که با ${}^A P_{BORG}$ (برداری که مکان مبدأ $\{B\}$ را نسبت به $\{A\}$ تعیین می کند)، قابل بیان خواهد بود.

چون هر دو بردار در چهارچوبهایی که جهتگیریهای یکسان دارند، تعریف می شوند، می توان مکان نقطه P نسبت به $\{A\}$ ، یعنی ${}^A P$ را با جمع برداری به دست آورد

$${}^A P = {}^B P + {}^A P_{BORG} \quad (4-2)$$

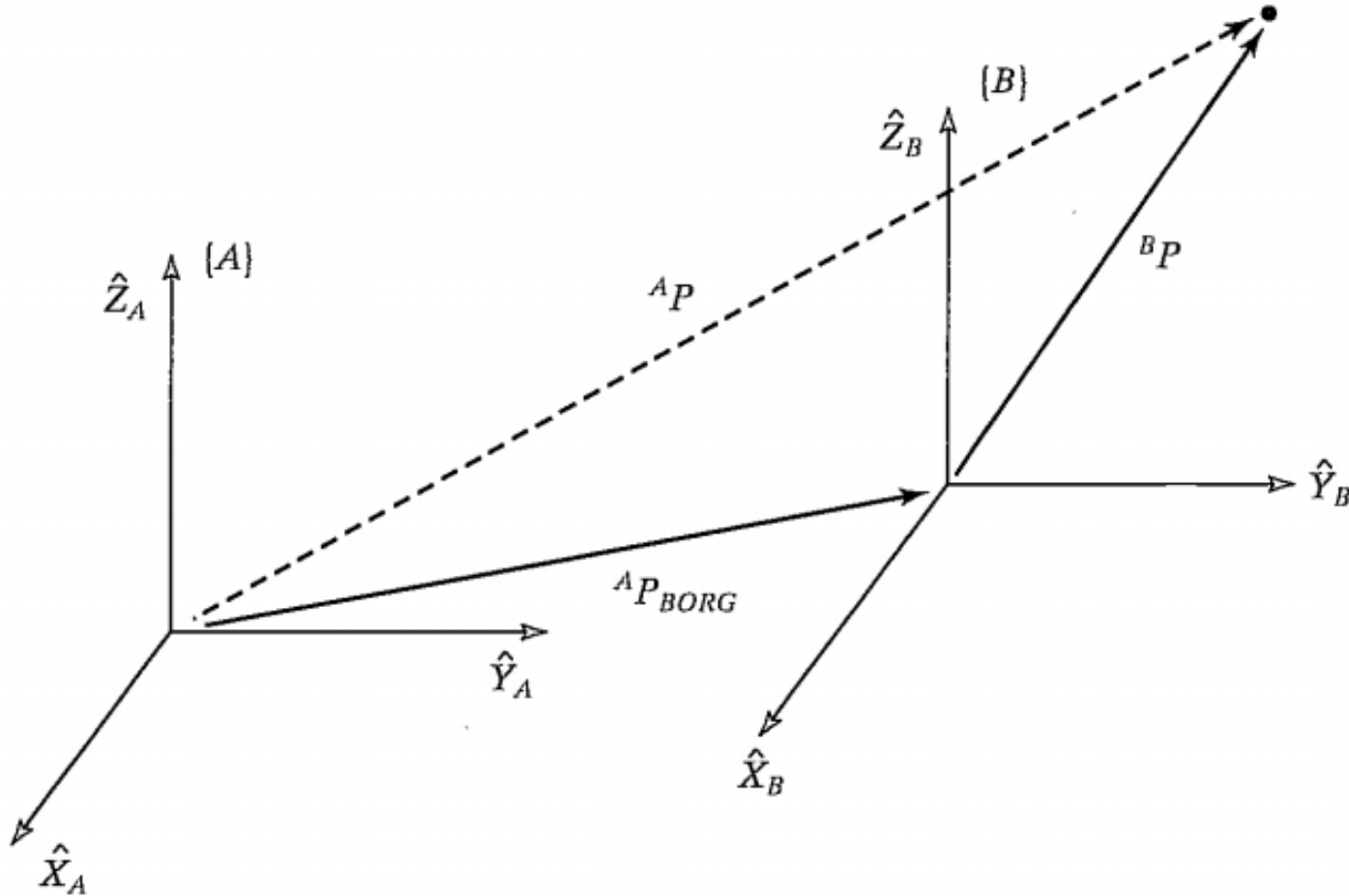


FIGURE 2.4: Translational mapping.

نگاشت شامل چهارجوبهای دوران یافته

ماتریس دوران، چهارجوب $\{B\}$ را نسبت به $\{A\}$ توصیف کند، آن را با نماد ${}^A_B R$ نشان می‌دهیم.
توجه کنید که بنابر تعریف ما، همه ستونهای هر ماتریس دوران اندازه واحد دارند، و همچنین
این بردارهای یکه، متعامدند.

$${}^A_B R = {}_A^B R^{-1} = {}_A^B R^T \quad (10-2)$$

بنابراین، چون ستونهای ${}^A_B R$ بردارهای یکه $\{B\}$ ، نوشته شده در دستگاه $\{A\}$ هستند، سطرهای ${}^A_B R$ بردارهای یکه $\{A\}$ خواهند بود که نسبت به دستگاه $\{B\}$ نوشته شده‌اند.
پس هر ماتریس دوران را می‌توان به وسیله مجموعه‌ای از سه بردار ستونی و یا مجموعه‌ای از
سه بردار سطحی به صورت زیر نمایش داد

$${}^A_B R = \begin{bmatrix} {}^A \hat{X}_B & {}^A \hat{Y}_B & {}^A \hat{Z}_B \end{bmatrix} = \begin{bmatrix} {}^B \hat{X}_A^T \\ {}^B \hat{Y}_A^T \\ {}^B \hat{Z}_A^T \end{bmatrix} \quad (11-2)$$

برای محاسبه ${}^A P$ ، باید توجه داشته باشیم که مؤلفه‌های هر بردار، در حقیقت تصاویر آن بردار روی امتدادهای یکه چهارچوب آن بردار هستند. تصویر هر بردار، از ضرب نقطه‌ای (عددی) بردار قابل محاسبه است. بدین ترتیب، مؤلفه‌های ${}^A P$ چنین به دست خواهد آمد

$$\begin{aligned} {}^A p_x &= {}^B \hat{X}_A \cdot {}^B P, \\ {}^A p_y &= {}^B \hat{Y}_A \cdot {}^B P, \\ {}^A p_z &= {}^B \hat{Z}_A \cdot {}^B P. \end{aligned} \quad (2.12)$$

برای بیان رابطه (۱۲-۲) به صورت حاصل ضرب ماتریس دوران، از رابطه (۱۱-۲) در می‌باشیم که سطرهای ${}^B R$ عبارت‌اند از ${}^B \hat{X}_A$, ${}^B \hat{Y}_A$, و ${}^B \hat{Z}_A$. بنابراین رابطه (۱۲-۲) را می‌توان به وسیله یک ماتریس دوران، به شکل فشرده زیر نوشت

$${}^A P = {}^B R \cdot {}^B P \quad (13-2)$$

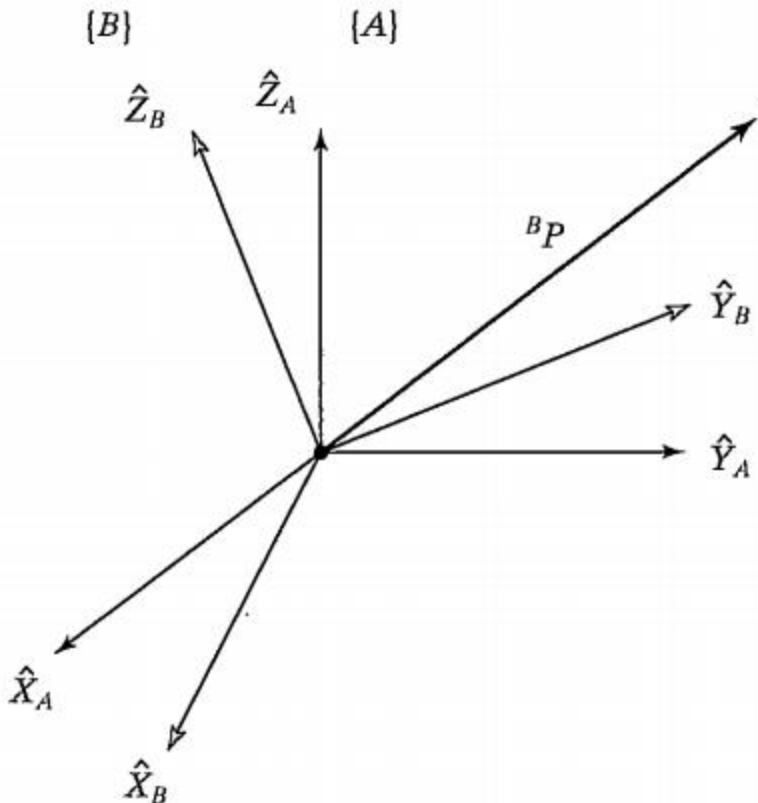


FIGURE 2.5: Rotating the description of a vector.

EXAMPLE 2.1

Figure 2.6 shows a frame $\{B\}$ that is rotated relative to frame $\{A\}$ about \hat{Z} by 30 degrees. Here, \hat{Z} is pointing out of the page.

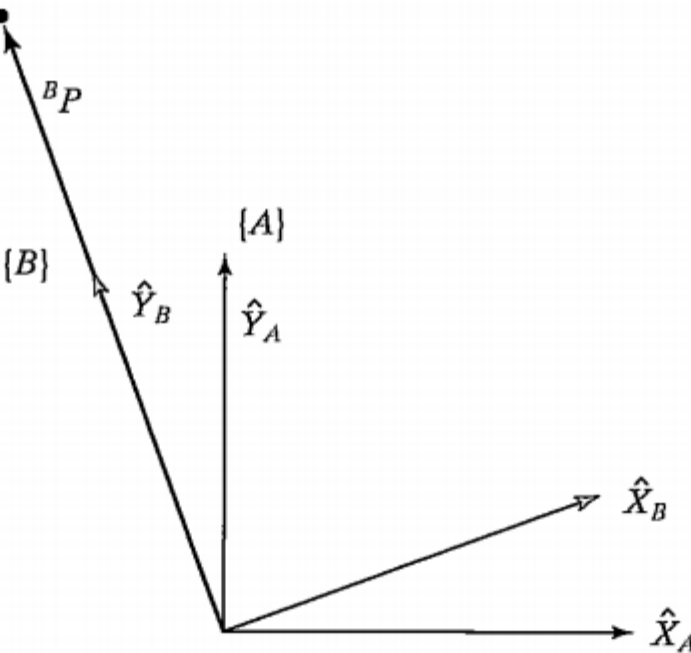


FIGURE 2.6: $\{B\}$ rotated 30 degrees about \hat{Z} .

$${}^A_B R = \begin{bmatrix} 0.866 & -0.500 & 0.000 \\ 0.500 & 0.866 & 0.000 \\ 0.000 & 0.000 & 1.000 \end{bmatrix}. \quad (2.14)$$

Given

$${}^B P = \begin{bmatrix} 0.0 \\ 2.0 \\ 0.0 \end{bmatrix}, \quad (2.15)$$

we calculate ${}^A P$ as

$${}^A P = {}^A_B R {}^B P = \begin{bmatrix} -1.000 \\ 1.732 \\ 0.000 \end{bmatrix}. \quad (2.16)$$

compute a new description of the vector relative to another frame.

نگاشت شامل چهارجوبهای کلی (عومی)

اغلب توصیف یک بردار را نسبت به چهارجوبی مانند $\{B\}$ در دست داریم، و می‌خواهیم توصیف آن را نسبت به چهارجوب دیگری چون $\{A\}$ به دست آوریم. در اینجا حالت کلی نگاشت را در نظر می‌گیریم که در آن مبدأ چهارجوب $\{B\}$ بر مبدأ چهارجوب $\{A\}$ منطبق نیست، و این عدم انطباق به وسیله برداری مشخص می‌شود. بردار نشان‌دهنده مبدأ $\{B\}$ را با ${}^A P_{BORG}$ ^۴، و دوران $\{B\}$ نسبت به $\{A\}$ را با ${}^A R_B$ ^۵ نشان می‌دهیم. با در دست داشتن ${}^B P$ ^۶، می‌خواهیم ${}^A P$ ^۷ را مانند شکل ۷-۲ محاسبه کنیم.

34

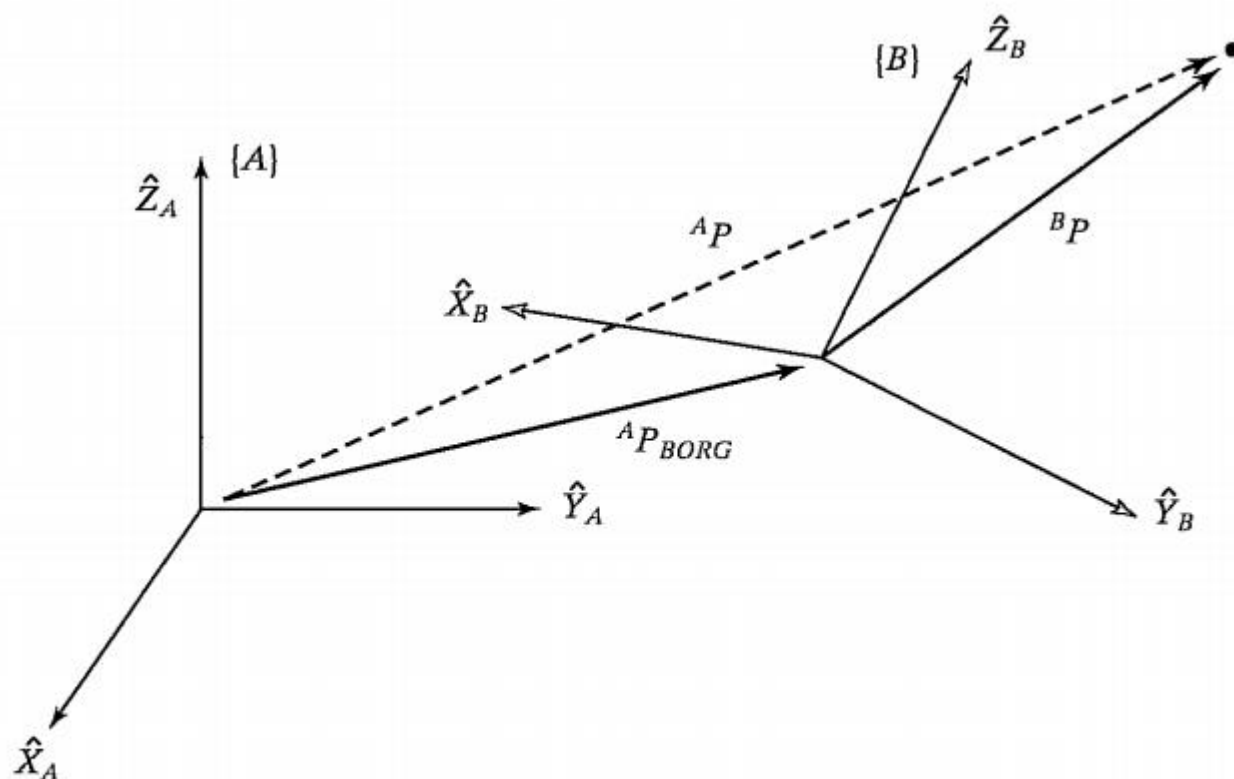


FIGURE 2.7: General transform of a vector.

ابتدا می‌توانیم ${}^B P$ را نسبت به چهارچوب سومی، که جهتگیری آن با جهتگیری $\{A\}$ بکسان، اما مبدأ آن بر مبدأ $\{B\}$ منطبق است، توصیف کنیم. این عمل، چنانکه در بخش ۳-۲ دیدیم، با بیش ضرب (ضرب از سمت چپ) در ${}_B^A R$ انجام می‌شود. پس از آن، انتقال بین دو مبدأ مختصات را، چنانکه در بخش ۳-۲ دیدیم، با جمع برداری و به صورت زیر به دست می‌آوریم

$${}^A P = {}_B^A R {}^B P + {}^A P_{BORG} \quad (17-2)$$

$${}^A P = {}_B^A T {}^B P. \quad (2.18)$$

$$\left[\begin{array}{c} {}^A P \\ 1 \end{array} \right] = \left[\begin{array}{cc|c} {}_B^A R & {}^A P_{BORG} \\ 0 & 0 & 0 \\ \hline & & 1 \end{array} \right] \left[\begin{array}{c} {}^B P \\ 1 \end{array} \right]. \quad (2.19)$$

1. a “1” is added as the last element of the 4×1 vectors;
2. a row “[0 0 0 1]” is added as the last row of the 4×4 matrix.

$$\begin{aligned} {}^A P &= {}_B^A R {}^B P + {}^A P_{BORG} \\ 1 &= 1. \end{aligned} \tag{2.20}$$

The 4×4 matrix in (2.19) is called a **homogeneous transform**.

■ مثال ۲-۲

شکل ۲-۲ چهارچوب $\{B\}$ را که نسبت به چهارچوب $\{A\}$ به اندازه 30° درجه حول محور \hat{Z} دوران کرده، و به اندازه 10° واحد در راستای \hat{X}_A و 5° واحد در راستای \hat{Y}_A انتقال یافته است، نشان می‌دهد. مطلوب است محاسبه P^A ، در صورتی که ${}^BP = [3, 0 \quad 7, 0 \quad 0, 0]^T$.
تعریف چهارچوب $\{B\}$ چنین است

$${}^BT = \begin{bmatrix} 0,866 & -0,500 & 0,000 & 10,0 \\ 0,500 & 0,866 & 0,000 & 5,0 \\ 0,000 & 0,000 & 1,000 & 0,0 \\ 0 & 0 & 0 & 1 \end{bmatrix} \quad (21-2)$$

با داشتن بردار BP به شکل زیر

$${}^BP = \begin{bmatrix} 3,0 \\ 7,0 \\ 0,0 \end{bmatrix} \quad (22-2)$$

we use the definition of $\{B\}$ just given as a transformation:

$${}^A P = {}_B^A T {}^B P = \begin{bmatrix} 9.098 \\ 12.562 \\ 0.000 \end{bmatrix}. \quad (2.23)$$

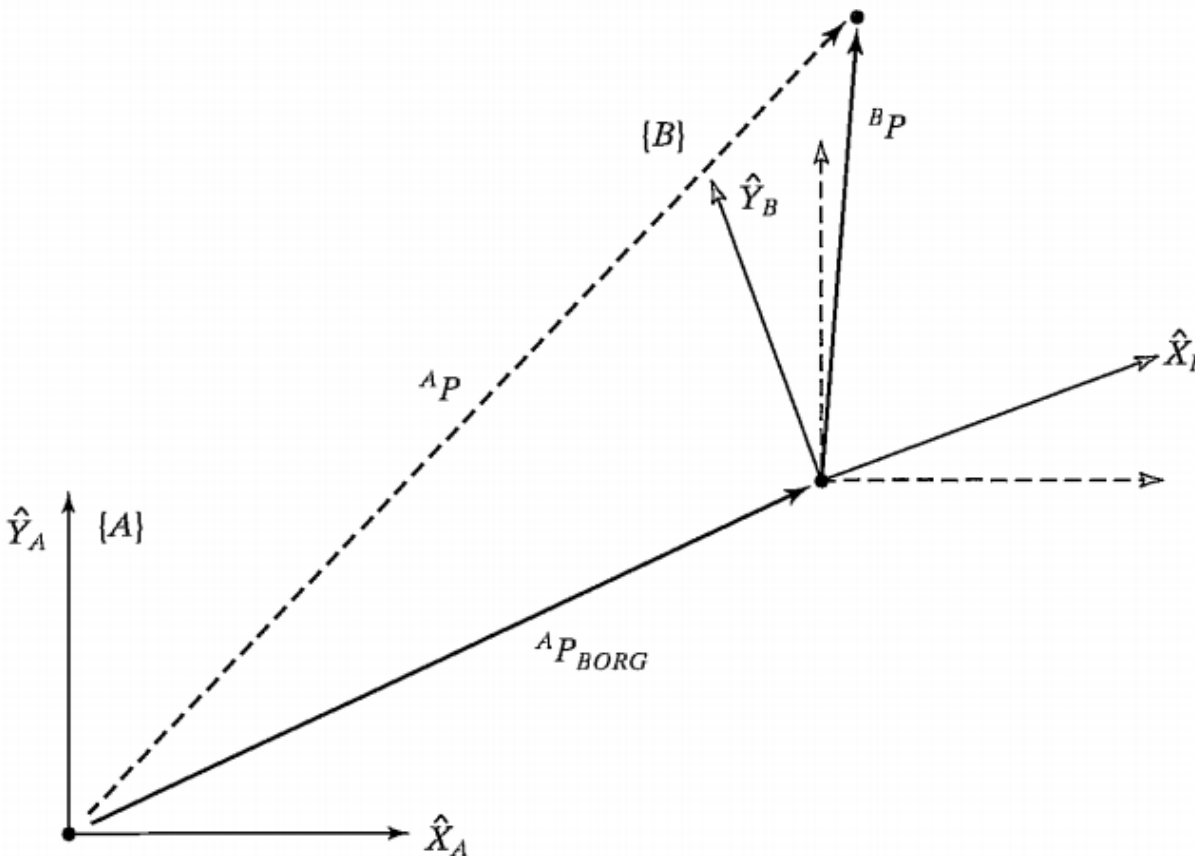
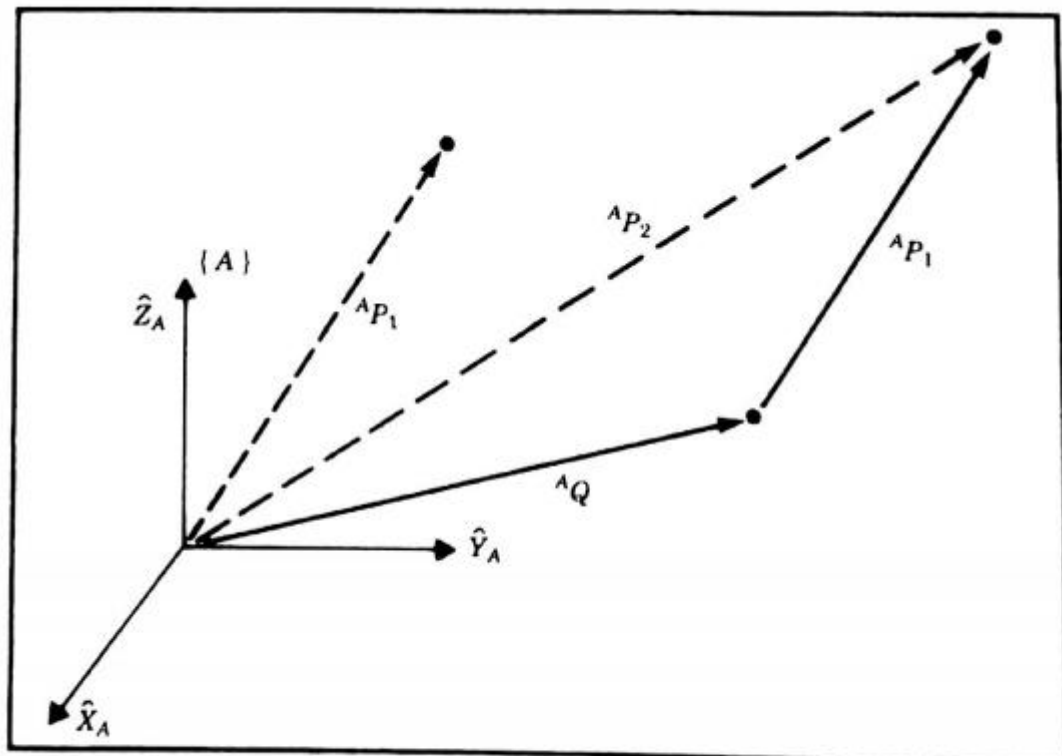
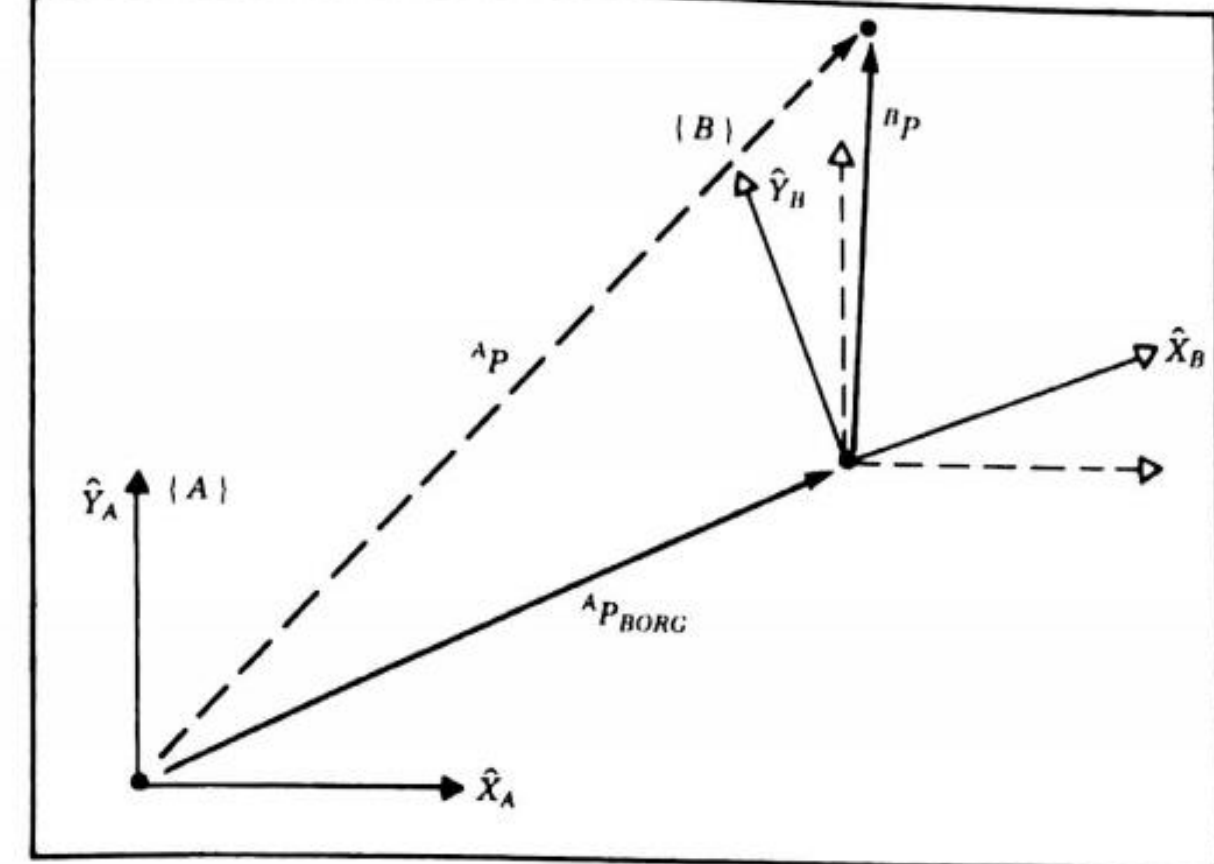


FIGURE 2.8: Frame $\{B\}$ rotated and translated.



شكل ٩-٢ عملگر انتقال.

شكل ٨-٢ جهارجوب انتقال و دوران یافته $\{B\}$.

عملگر ها: انتقال ها، دوران ها، و تبدیلات کلی

هنگامی که یک بردار نسبت به

چهارچوب به «جلو» حرکت می‌کند، می‌توان حرکت بردار را به «جلو»، یا حرکت چهارچوب را به «عقب» در نظر گرفت. بیان ریاضی در هر دو حالت یکسان است،

حاصل این عمل، بردار جدید ${}^A P_2$ است که به صورت زیر محاسبه می‌شود

$${}^A P_2 = {}^A P_1 + {}^A Q \quad (24-2)$$

برای نوشتن این عمل انتقال به صورت عملگر ماتریسی، از نماد زیر استفاده می‌کنیم

$${}^A P_2 = D_Q(q) {}^A P_1 \quad (25-2)$$

که در آن q اندازه (با علامت مثبت یا منفی) انتقال در راستای بردار \hat{Q} است. عملگر D_Q را می‌توان به شکل ساده و خاصی از یک تبدیل همگن در نظر گرفت

$$D_Q(q) = \begin{bmatrix} 1 & 0 & 0 & q_x \\ 0 & 1 & 0 & q_y \\ 0 & 0 & 1 & q_z \\ 0 & 0 & 0 & 1 \end{bmatrix} \quad (26-2)$$

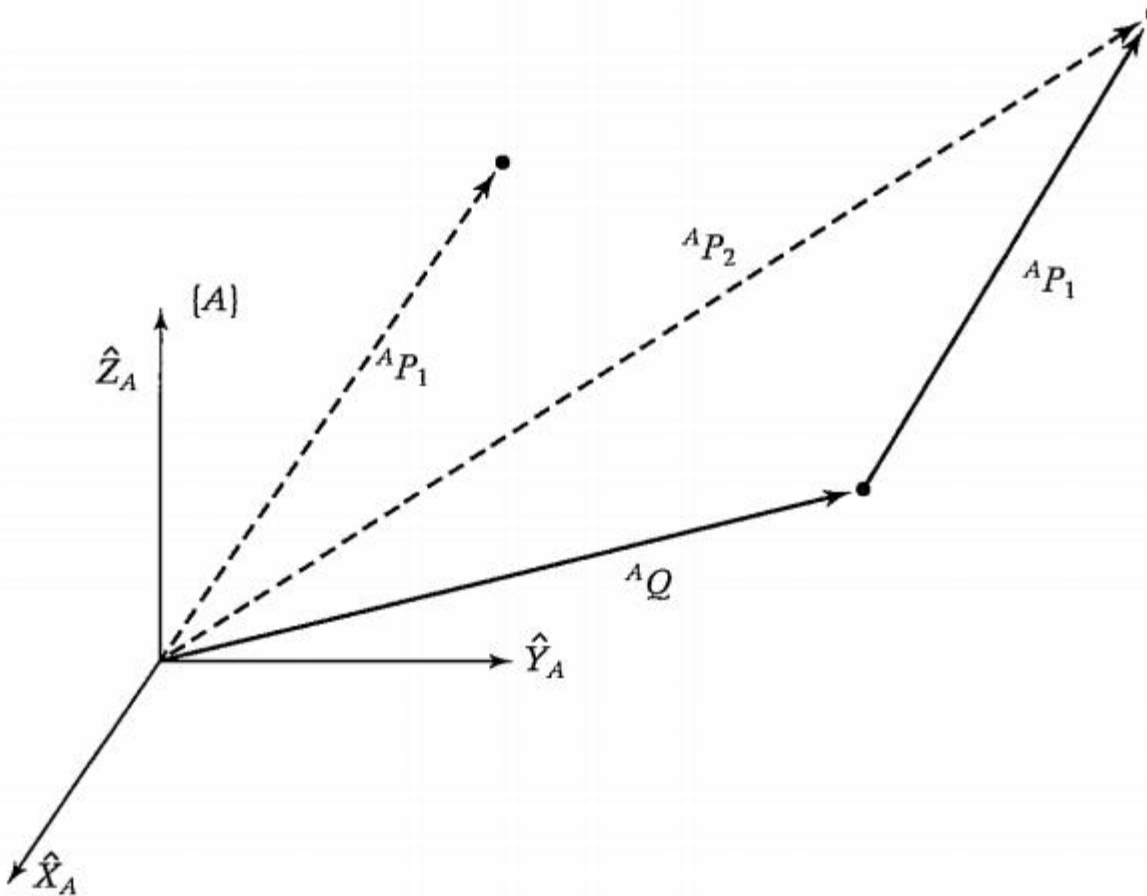


FIGURE 2.9: Translation operator.

که در آن، q_x ، q_y ، و q_z مولفه‌های بردار انتقال Q هستند و داریم

$$q = \sqrt{q_x^2 + q_y^2 + q_z^2}$$

عملگرهای دورانی

تعییر دیگر ماتریس دوران، به صورت عملگری دورانی است، که بردار ${}^A P_1$ را از طریق دوران R به بردار جدید ${}^A P_2$ تغییر می‌دهد.

43

$${}^A P_2 = R \cdot {}^A P_1 \quad (27-2)$$

ماتریس دورانی که بردارها را با دوران R می‌چرخاند، همان ماتریس دورانی است که چهارچوب چرخانده شده به وسیله R را نسبت به چهارچوب مرجع توصیف می‌کند.

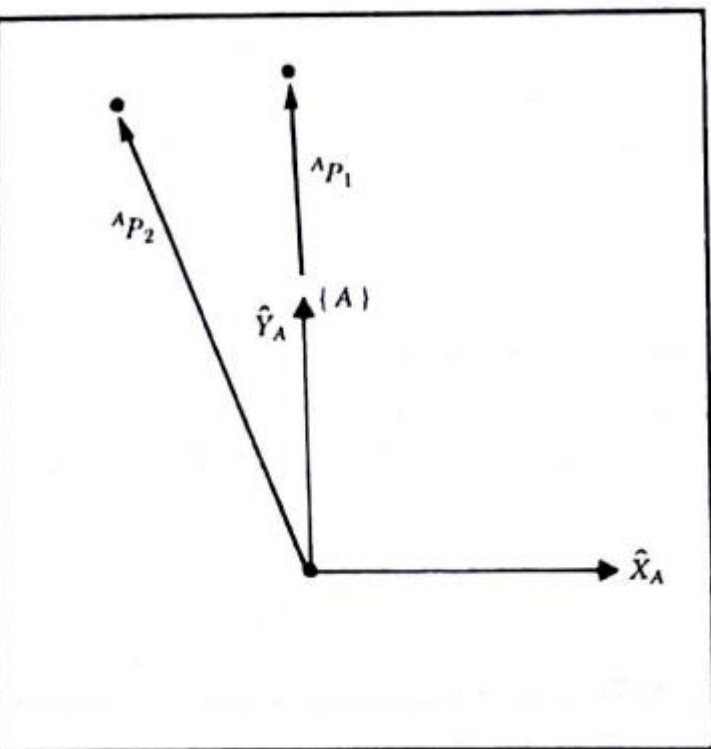
$${}^A P_2 = R_K(\theta) \cdot {}^A P_1 \quad (28-2)$$

در این نمادگذاری، « $R_K(\theta)$ » عملگری دورانی است که دورانی را حول راستای محور \hat{K} به اندازه θ درجه انجام می‌دهد.

$$R_z(\Theta) = \begin{bmatrix} \cos \theta & -\sin \theta & 0 & 0 \\ \sin \theta & \cos \theta & 0 & 0 \\ 0 & 0 & 1 & 0 \\ 0 & 0 & 0 & 1 \end{bmatrix}. \quad (2.29)$$

■ مثال ۳-۲

شکل ۱۰-۲ بردار ${}^A P_1$ را نشان می‌دهد. می‌خواهیم برداری را که از دوران این بردار حول محور \hat{Z} به اندازه 30° درجه حاصل می‌شود، محاسبه کنیم. بردار جدید را ${}^A P_2$ بنامید.



شکل ۱۰-۲ بردار ${}^A P_1$ که به اندازه 30° درجه حول \hat{Z} چرخیده است.

Given

$$R_z(30.0) = \begin{bmatrix} 0.866 & -0.500 & 0.000 \\ 0.500 & 0.866 & 0.000 \\ 0.000 & 0.000 & 1.000 \end{bmatrix}. \quad (2.30)$$

we calculate ${}^A P_2$ as

$${}^A P_1 = \begin{bmatrix} 0.0 \\ 2.0 \\ 0.0 \end{bmatrix}, \quad (2.31)$$

$${}^A P_2 = R_z(30.0) {}^A P_1 = \begin{bmatrix} -1.000 \\ 1.732 \\ 0.000 \end{bmatrix}. \quad (2.32)$$

عملگرهای تبدیل

مانند بردارها و ماتریس‌های دوران، چهارچوب را نیز می‌توان به صورت «عملگر تبدیل» تعبیر کرد.

$${}^A P_r = T \cdot {}^A P_1 \quad (۳۳-۲)$$

تبدیلی که به وسیله R دوران، و به وسیله Q انتقال می‌دهد، معادل است با تبدیلی که چهارچوب دوران داده شده به وسیله R و انتقال یافته به وسیله Q را نسبت به چهارچوب مرجع توصیف می‌کند.

شکل ۱۱-۲ بردار ${}^A P_1$ را نشان می‌دهد. می‌خواهیم این بردار را به اندازه 30° درجه حول محور \hat{Z} دوران، و به اندازه 10° واحد در راستای \hat{X}_A و 5° واحد در راستای \hat{Y}_A انتقال دهیم. چنانچه $[3, 0, 7, 0, 0, 0]^T$ را بدست آورید.

عملگر T که دوران و انتقال را انجام می‌دهد، چنین است

$$T = \begin{bmatrix} 0,866 & -0,500 & 0,000 & 10,0 \\ 0,500 & 0,866 & 0,000 & 5,0 \\ 0,000 & 0,000 & 1,000 & 0,0 \\ 0 & 0 & 0 & 1 \end{bmatrix} \quad (۳۴-۲)$$

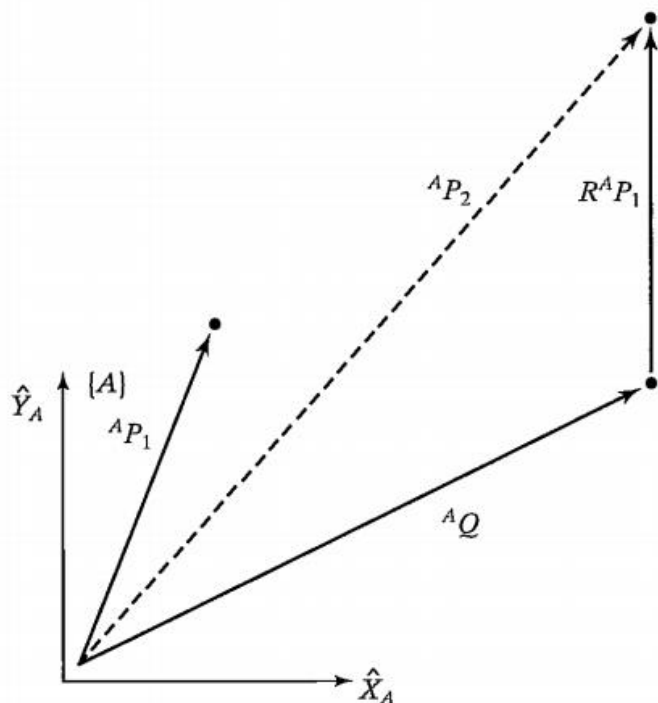


FIGURE 2.11: The vector ${}^A P_1$ rotated and translated to form ${}^A P_2$.



Given

$${}^A P_1 = \begin{bmatrix} 3.0 \\ 7.0 \\ 0.0 \end{bmatrix}, \quad (2.35)$$

we use T as an operator:

$${}^A P_2 = T {}^A P_1 = \begin{bmatrix} 9.098 \\ 12.562 \\ 0.000 \end{bmatrix}. \quad (2.36)$$

2.5 SUMMARY OF INTERPRETATIONS

1. It is a *description of a frame*. ${}^A_B T$ describes the frame $\{B\}$ relative to the frame $\{A\}$. Specifically, the columns of ${}^A_B R$ are unit vectors defining the directions of the principal axes of $\{B\}$, and ${}^A_B P_{BORG}$ locates the position of the origin of $\{B\}$.
2. It is a *transform mapping*. ${}^A_B T$ maps ${}^B P \rightarrow {}^A P$.
3. It is a *transform operator*. T operates on ${}^A P_1$ to create ${}^A P_2$.

از این پس، واژه‌های «چهارچوب» و «تبديل» هر دو به معنای یک بردار مکان به علاوه یک جهتگیری به کار خواهند رفت. از «چهارچوب» به هنگام صحبت از توصیف، و از تبدیل غالباً به مفهوم نگاشت یا عملگر استفاده می‌شود. همچنین، با توجه به اینکه واژه تبدیل کلی، حالت کلی انتقال و دوران توأم را در بر می‌گیرد، بنابراین، اگر بخواهیم دوران صرف (یا انتقال صرف) را بیان کنیم، غالباً از واژه تبدیل استفاده خواهیم کرد.

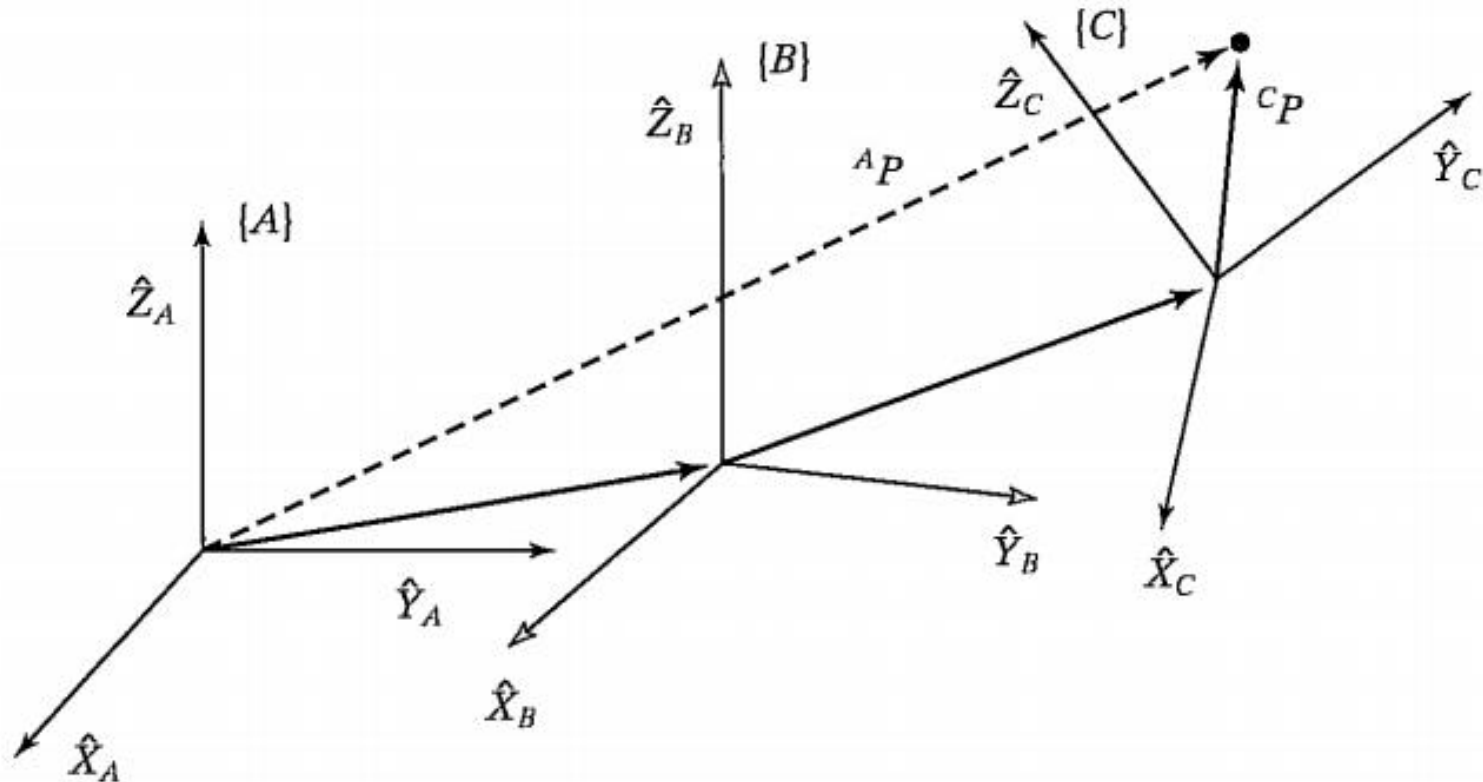


FIGURE 2.12: Compound frames: Each is known relative to the previous one.

Frame $\{C\}$ is known relative to frame $\{B\}$, and frame $\{B\}$ is known relative to frame $\{A\}$. We can transform ${}^C P$ into ${}^B P$ as

$${}^B P = {}_C^B T {}^C P; \quad (2.37)$$

then we can transform ${}^B P$ into ${}^A P$ as

$${}^A P = {}_B^A T {}^B P. \quad (2.38)$$

Combining (2.37) and (2.38), we get the (not unexpected) result

$${}^A P = {}_B^A T {}_C^B T {}^C P, \quad (2.39)$$

from which we could define

$${}_C^A T = {}_B^A T {}_C^B T. \quad (2.40)$$

$$\begin{array}{c|cc} \begin{matrix} {}^A R & {}^B R \\ \hline {}^B C & 0 \end{matrix} & \begin{matrix} {}^A R & {}^B P_{CORG} + {}^A P_{BORG} \\ \hline 0 & 1 \end{matrix} \end{array} \quad (2.41)$$

Inverting a transform

Consider a frame $\{B\}$ that is known with respect to a frame $\{A\}$.

$$\begin{matrix} A \\ B \end{matrix} T.$$

$$\begin{matrix} B \\ A \end{matrix} T.$$

???

To find $\begin{matrix} B \\ A \end{matrix} T$, we must compute $\begin{matrix} B \\ A \end{matrix} R$ and $\begin{matrix} B \\ A \end{matrix} P_{AORG}$ from $\begin{matrix} A \\ B \end{matrix} R$ and $\begin{matrix} A \\ B \end{matrix} P_{BORG}$.

$${}^B_A R = {}^A_B R^T. \quad (2.42)$$

Next, we change the description of ${}^A P_{BORG}$ into $\{B\}$ by using (2.13):

$${}^B({}^A P_{BORG}) = {}^B_A R {}^A P_{BORG} + {}^B P_{AORG}. \quad (2.43)$$

The left-hand side of (2.43) must be zero, so we have

$${}^B P_{AORG} = -{}^B_A R {}^A P_{BORG} = -{}^A_B R^{TA} P_{BORG}. \quad (2.44)$$

Using (2.42) and (2.44), we can write the form of ${}^B_A T$ as

$${}^B_A T = \left[\begin{array}{ccc|c} {}^A_B R^T & -{}^A_B R^{TA} P_{BORG} \\ 0 & 0 & 0 & 1 \end{array} \right]. \quad (2.45)$$

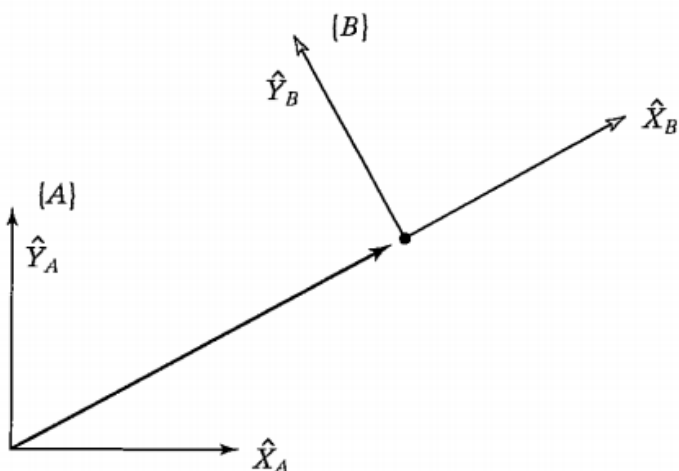
Note that, with our notation,

$${}^B_A T = {}^A_B T^{-1}.$$

شکل ۱۳-۲ چهارچوب $\{B\}$ را نشان می‌دهد که نسبت به چهارچوب $\{A\}$ به اندازه 30° درجه حول محور \hat{Z} دوران کرده. در راستاهای \hat{X}_A و \hat{Y}_A به ترتیب 4 و 3 واحد انتقال یافته است. بنابراین ${}^A_B T$ مشخص است. ${}^B_A T$ را بباید.

The frame defining $\{B\}$ is

$${}^A_B T = \begin{bmatrix} 0.866 & -0.500 & 0.000 & 4.0 \\ 0.500 & 0.866 & 0.000 & 3.0 \\ 0.000 & 0.000 & 1.000 & 0.0 \\ 0 & 0 & 0 & 1 \end{bmatrix}. \quad (2.46)$$



Using (2.45), we compute

$${}^B_A T = \begin{bmatrix} 0.866 & 0.500 & 0.000 & -4.964 \\ -0.500 & 0.866 & 0.000 & -0.598 \\ 0.000 & 0.000 & 1.000 & 0.0 \\ 0 & 0 & 0 & 1 \end{bmatrix}. \quad (2.47)$$

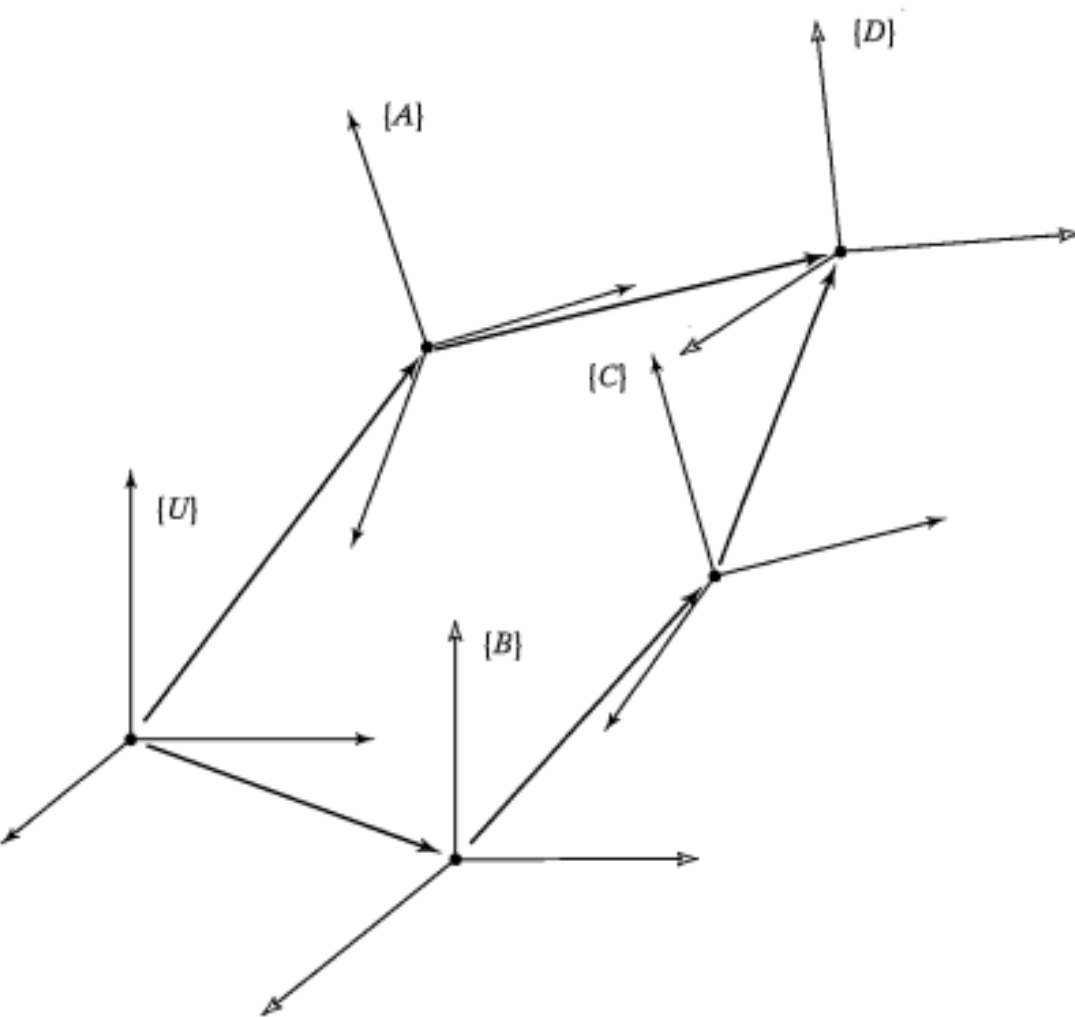


FIGURE 2.14: Set of transforms forming a loop.

2.7 TRANSFORM EQUATIONS

$$\begin{matrix} U \\ D \end{matrix} T = \begin{matrix} U \\ A \end{matrix} T \begin{matrix} A \\ D \end{matrix} T; \quad (2.48)$$

second;

$$\begin{matrix} U \\ D \end{matrix} T = \begin{matrix} U \\ B \end{matrix} T \begin{matrix} B \\ C \end{matrix} T \begin{matrix} C \\ D \end{matrix} T. \quad (2.49)$$

We can set these two descriptions of $\begin{matrix} U \\ D \end{matrix} T$ equal to construct a **transform equation**:

$$\begin{matrix} U \\ A \end{matrix} T \begin{matrix} A \\ D \end{matrix} T = \begin{matrix} U \\ B \end{matrix} T \begin{matrix} B \\ C \end{matrix} T \begin{matrix} C \\ D \end{matrix} T. \quad (2.50)$$

$$\begin{matrix} B \\ C \end{matrix} T = \begin{matrix} U \\ B \end{matrix} T^{-1} \begin{matrix} U \\ A \end{matrix} T \begin{matrix} A \\ D \end{matrix} T \begin{matrix} C \\ D \end{matrix} T^{-1}.$$

and

$$\overset{U}{_CT} = \overset{U}{_AT} \overset{D}{_AT}^{-1} \overset{D}{_CT} \quad (2.52)$$

$$\overset{U}{_CT} = \overset{U}{_BT} \overset{B}{_CT}. \quad (2.53)$$

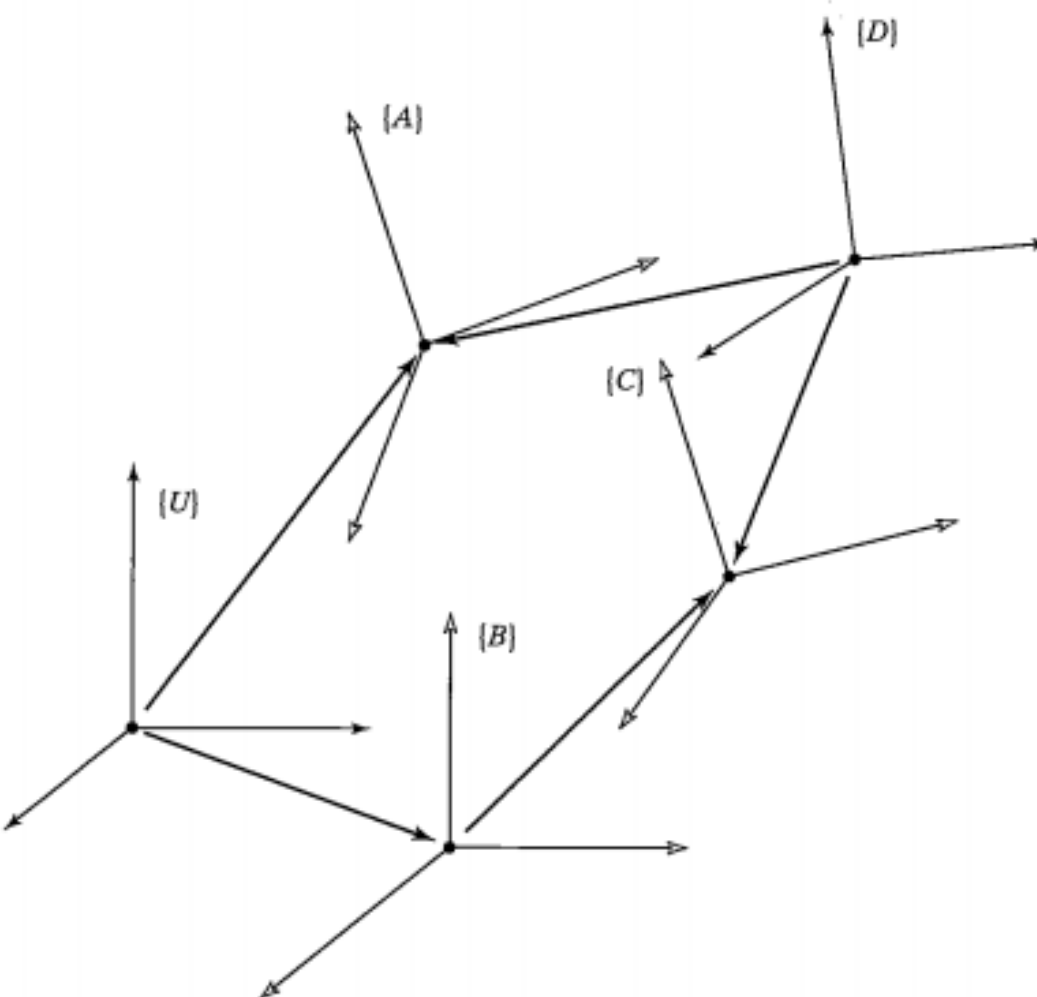


FIGURE 2.15: Example of a transform equation.

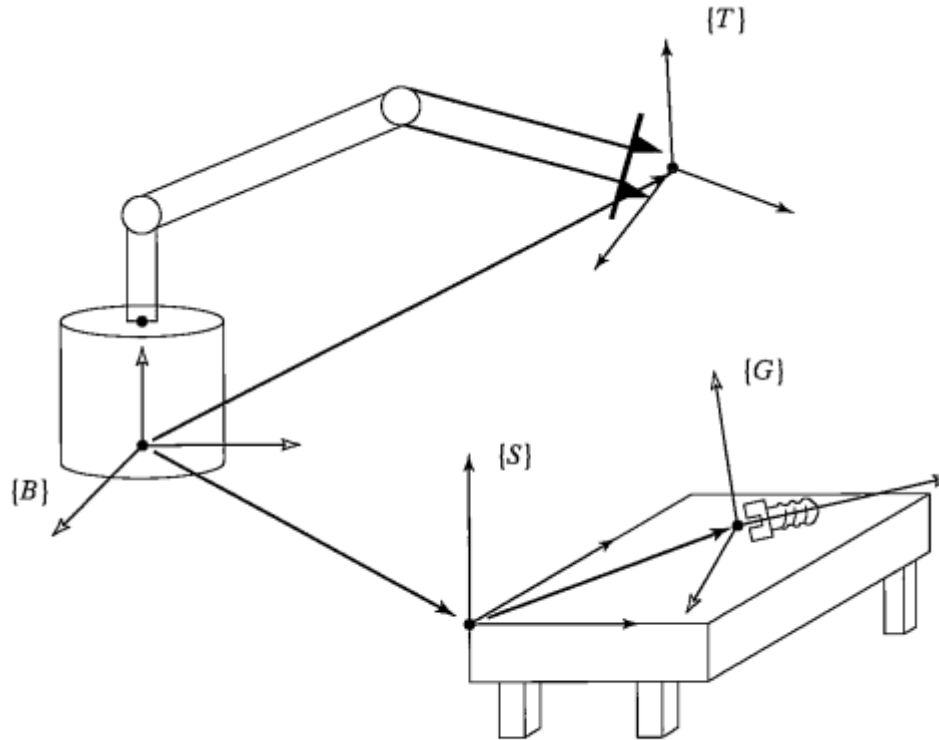


FIGURE 2.16: Manipulator reaching for a bolt.

$${}_A^U T = {}_B^U T \ {}_C^B T \ {}_C^D T^{-1} \ {}_A^D T.$$

فرض کنید تبدیل T^B_T در شکل ۱۶-۲، که نمایانگر چهارچوب $\{T\}$ ، واقع بر انجشتان بازوی مکانیکی نسبت به پایه بازو $\{B\}$ است، معلوم باشد. همچنین، تبدیل T^B_S ، چهارچوب $\{S\}$ را که به میز کار متصل است، نسبت به پایه $\{B\}$ توصیف می‌کند. مکان پیچی که روی میز فرار دارد نیز به وسیله تبدیل T^S_G مشخص می‌شود. T^T_G ، مکان و جهتگیری پیچ نسبت به دست بازوی مکانیکی ماهر، را محاسبه کنید.

$$T^T_G = T^B_T \cdot T^B_S \cdot T^S_G$$

ماتریس‌های دوران را ماتریس‌های یکامتعامد سره نیز می‌نامند.

که دترمینان ماتریس مقدار عددی برابر با $1 + \text{دارد}$ (ماتریس‌های یکامتعامد «ناسره» دترمینانی برابر با $1 - \text{دارند}$).

این سؤال مطرح می‌شود که آیا یک جهتگیری را می‌توان با کمتر از ۹ عدد توصیف کرد یا نه. بر طبق فرمول کیلی^۱ برای ماتریسهای یکامتعامد در جبر خطی، برای هر ماتریس یکامتعامد سره، می‌توان یک ماتریس «پادمتقارن» تعریف کرد، به گونه‌ای که

$$R = (I_2 - S)^{-1}(I_2 + S) \quad (56-2)$$

که در آن I_2 ماتریس یکه 3×3 است. ماتریس پادمتقارن (یعنی $S = -S^T$)، که خود ماتریسی 3×3 است، برحسب سه پارامتر (s_x, s_y, s_z) چنین به دست می‌آید

$$S = \begin{bmatrix} 0 & -s_z & s_y \\ s_z & 0 & -s_x \\ -s_y & s_x & 0 \end{bmatrix} \quad (57-2)$$

$$|\hat{X}| = 1,$$

$$|\hat{Y}| = 1,$$

$$|\hat{Z}| = 1,$$

$$\hat{X} \cdot \hat{Y} = 0,$$

$$\hat{X} \cdot \hat{Z} = 0,$$

$$\hat{Y} \cdot \hat{Z} = 0.$$

EXAMPLE 2.7

Consider two rotations, one about \hat{Z} by 30 degrees and one about \hat{X} by 30 degrees:

$$R_z(30) = \begin{bmatrix} 0.866 & -0.500 & 0.000 \\ 0.500 & 0.866 & 0.000 \\ 0.000 & 0.000 & 1.000 \end{bmatrix} \quad (2.60)$$

$$R_x(30) = \begin{bmatrix} 1.000 & 0.000 & 0.000 \\ 0.000 & 0.866 & -0.500 \\ 0.000 & 0.500 & 0.866 \end{bmatrix} \quad (2.61)$$

$$R_z(30)R_x(30) = \begin{bmatrix} 0.87 & -0.43 & 0.25 \\ 0.50 & 0.75 & -0.43 \\ 0.00 & 0.50 & 0.87 \end{bmatrix}$$

$$\neq R_x(30)R_z(30) = \begin{bmatrix} 0.87 & -0.50 & 0.00 \\ 0.43 & 0.75 & -0.50 \\ 0.25 & 0.43 & 0.87 \end{bmatrix} \quad (2.62)$$

► ماتریس ذوران برای نشان دادن جهت گیری مناسب نیست.

► راه حل؟؟؟

X-Y-Z fixed angles

One method of describing the orientation of a frame $\{B\}$ is as follows:

Start with the frame coincident with a known reference frame $\{A\}$. Rotate $\{B\}$ first about \hat{X}_A by an angle γ , then about \hat{Y}_A by an angle β , and, finally, about \hat{Z}_A by an angle α .

roll, pitch, yaw angles,

pitch .^۱ دوران حول محور عرضی.

roll .^۲ دوران حول محور طولی.
yaw .^۳ دوران حول محور زانم.

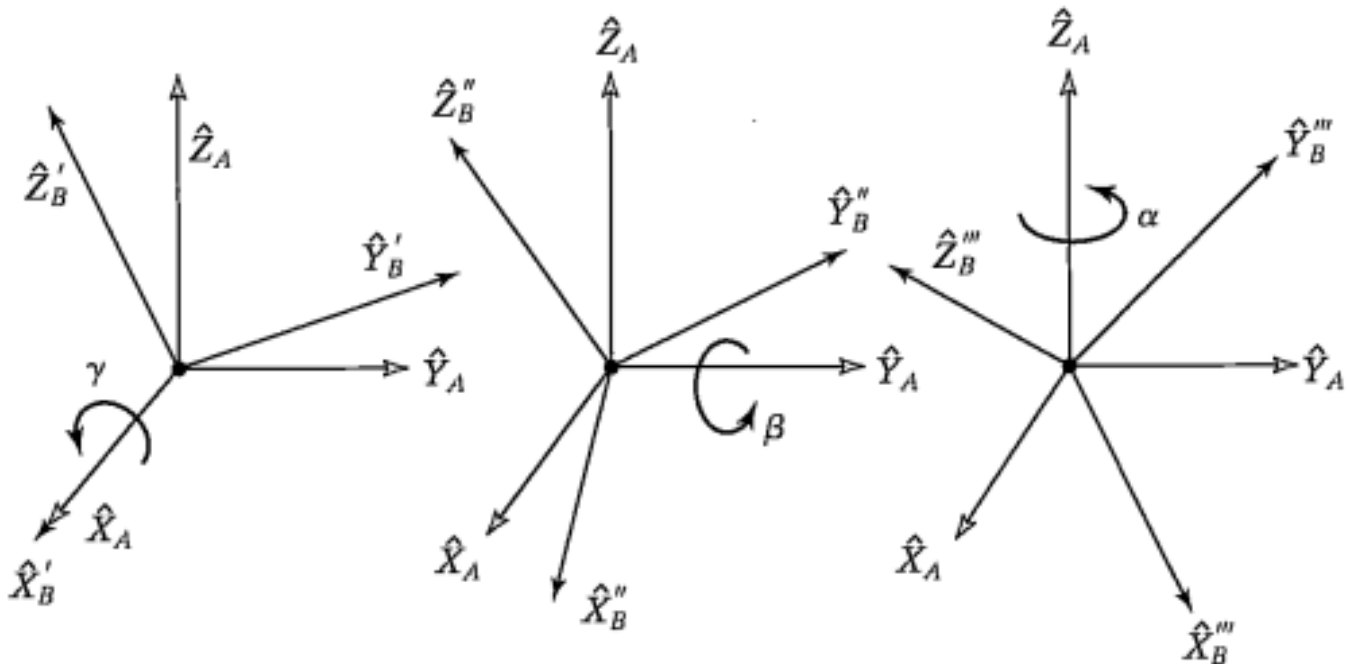


FIGURE 2.17: X–Y–Z fixed angles. Rotations are performed in the order $R_X(\gamma)$, $R_Y(\beta)$, $R_Z(\alpha)$.

$$\begin{aligned}
 {}^A_B R_{XYZ}(\gamma, \beta, \alpha) &= R_Z(\alpha)R_Y(\beta)R_X(\gamma) \\
 &= \begin{bmatrix} c\alpha & -s\alpha & 0 \\ s\alpha & c\alpha & 0 \\ 0 & 0 & 1 \end{bmatrix} \begin{bmatrix} c\beta & 0 & s\beta \\ 0 & 1 & 0 \\ -s\beta & 0 & c\beta \end{bmatrix} \begin{bmatrix} 1 & 0 & 0 \\ 0 & c\gamma & -s\gamma \\ 0 & s\gamma & c\gamma \end{bmatrix}, \quad (2.63)
 \end{aligned}$$

$${}^A_B R_{XYZ}(\gamma, \beta, \alpha) = \begin{bmatrix} c\alpha c\beta & c\alpha s\beta s\gamma - s\alpha c\gamma & c\alpha s\beta c\gamma + s\alpha s\gamma \\ s\alpha c\beta & s\alpha s\beta s\gamma + c\alpha c\gamma & s\alpha s\beta c\gamma - c\alpha s\gamma \\ -s\beta & c\beta s\gamma & c\beta c\gamma \end{bmatrix}. \quad (2.64)$$

$${}^A_B R_{XYZ}(\gamma, \beta, \alpha) = \begin{bmatrix} r_{11} & r_{12} & r_{13} \\ r_{21} & r_{22} & r_{23} \\ r_{31} & r_{32} & r_{33} \end{bmatrix}. \quad (2.65)$$

از رابطه (۶۴-۲) مشاهده می‌شود که با محاسبه جذر مجموع مربعات r_{11} و r_{21} ، می‌توان $\cos \beta$ را به دست آورد. سپس زاویه β باگرفتن آرک تانزانت از نسبت $-r_{21}$ به r_{11} ، محاسبه می‌شود. تا زمانی که $\alpha \neq c\beta$ ، می‌توان α را باگرفتن آرک تانزانت از نسبت $r_{11}/c\beta$ به $r_{21}/c\beta$ و γ را باگرفتن آرک تانزانت از نسبت $r_{22}/c\beta$ به $r_{32}/c\beta$ به دست آورد.
به طور خلاصه می‌توان نوشت

$$\begin{aligned} \beta &= \text{Atan2}(-r_{31}, \sqrt{r_{11}^2 + r_{21}^2}), \\ \alpha &= \text{Atan2}(r_{21}/c\beta, r_{11}/c\beta), \\ \gamma &= \text{Atan2}(r_{32}/c\beta, r_{33}/c\beta), \end{aligned} \quad (2.66)$$

که در آن $\text{Atan2}(y, x)$ آرک تانزانت دو شناهای است.^۱

³Atan2(y, x) computes $\tan^{-1}(\frac{y}{x})$ but uses the signs of both x and y to identify the quadrant in which the resulting angle lies. For example, Atan 2(-2.0, -2.0) = -135°, whereas Atan 2(2.0, 2.0) = 45°, and

$$\begin{aligned}\beta &= 90.0^\circ, \\ \alpha &= 0.0, \\ \gamma &= \text{Atan2}(r_{12}, r_{22}).\end{aligned}\tag{2.67}$$

If $\beta = -90.0^\circ$, then a solution can be calculated to be

$$\begin{aligned}\beta &= -90.0^\circ, \\ \alpha &= 0.0, \\ \gamma &= -\text{Atan2}(r_{12}, r_{22}).\end{aligned}\tag{2.68}$$

Z-Y-X Euler angles

Another possible description of a frame $\{B\}$ is as follows:

Start with the frame coincident with a known frame $\{A\}$. Rotate $\{B\}$ first about \hat{Z}_B by an angle α , then about \hat{Y}_B by an angle β , and, finally, about \hat{X}_B by an angle γ .

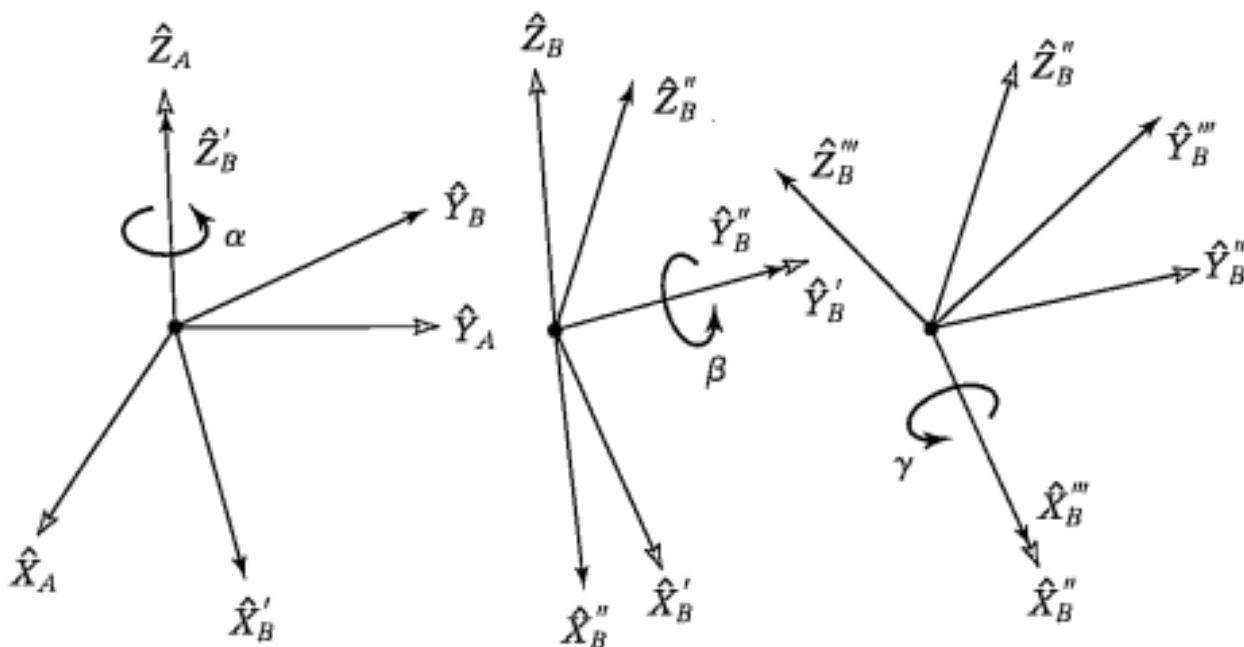


FIGURE 2.18: Z-Y-X Euler angles.

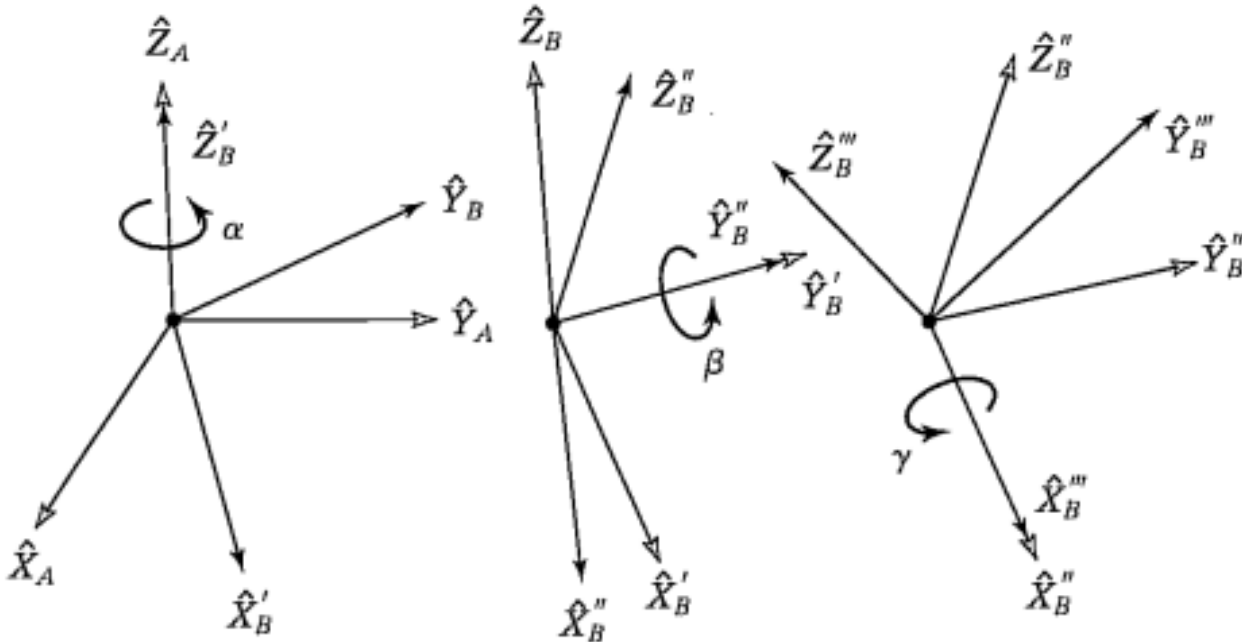


FIGURE 2.18: Z–Y–X Euler angles.

$${}_B^A R = {}_{B'}^A R {}_{B''}^{B'} R {}_B^{B''} R, \quad (2.69)$$

$$\begin{aligned}
 {}^A_B R_{Z'Y'X'} &= R_Z(\alpha)R_Y(\beta)R_X(\gamma) \\
 &= \begin{bmatrix} c\alpha & -s\alpha & 0 \\ s\alpha & c\alpha & 0 \\ 0 & 0 & 1 \end{bmatrix} \begin{bmatrix} c\beta & 0 & s\beta \\ 0 & 1 & 0 \\ -s\beta & 0 & c\beta \end{bmatrix} \begin{bmatrix} 1 & 0 & 0 \\ 0 & c\gamma & -s\gamma \\ 0 & s\gamma & c\gamma \end{bmatrix}, \tag{2.70}
 \end{aligned}$$

where $c\alpha = \cos \alpha$, $s\alpha = \sin \alpha$, and so on. Multiplying out, we obtain

$${}^A_B R_{Z'Y'X'}(\alpha, \beta, \gamma) = \begin{bmatrix} c\alpha c\beta & c\alpha s\beta s\gamma - s\alpha c\gamma & c\alpha s\beta c\gamma + s\alpha s\gamma \\ s\alpha c\beta & s\alpha s\beta s\gamma + c\alpha c\gamma & s\alpha s\beta c\gamma - c\alpha s\gamma \\ -s\beta & c\beta s\gamma & c\beta c\gamma \end{bmatrix}. \tag{2.71}$$

Z-Y-Z Euler angles

Another possible description of a frame $\{B\}$ is

Start with the frame coincident with a known frame $\{A\}$. Rotate $\{B\}$ first about \hat{Z}_B by an angle α , then about \hat{Y}_B by an angle β , and, finally, about Z_b by an angle γ .

$${}^A_B R_{Z'Y'Z'}(\alpha, \beta, \gamma) = \begin{bmatrix} c\alpha c\beta c\gamma - s\alpha s\gamma & -c\alpha c\beta s\gamma - s\alpha c\gamma & c\alpha s\beta \\ s\alpha c\beta c\gamma + c\alpha s\gamma & -s\alpha c\beta s\gamma + c\alpha c\gamma & s\alpha s\beta \\ -s\beta c\gamma & s\beta s\gamma & c\beta \end{bmatrix}. \quad (2.72)$$

The solution for extracting Z–Y–Z Euler angles from a rotation matrix is stated next.

Given

$${}^A_B R_{Z'Y'Z'}(\alpha, \beta, \gamma) = \begin{bmatrix} r_{11} & r_{12} & r_{13} \\ r_{21} & r_{22} & r_{23} \\ r_{31} & r_{32} & r_{33} \end{bmatrix}, \quad (2.73)$$

then, if $\sin \beta \neq 0$, it follows that

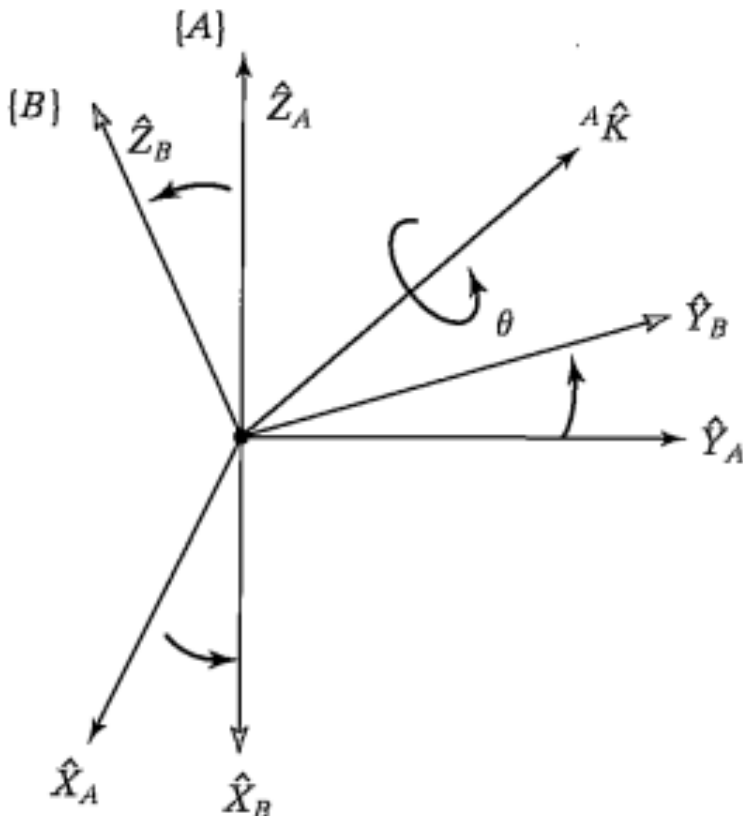
$$\begin{aligned} \beta &= \text{Atan2}(\sqrt{r_{31}^2 + r_{32}^2}, r_{33}), \\ \alpha &= \text{Atan2}(r_{23}/s\beta, r_{13}/s\beta), \\ \gamma &= \text{Atan2}(r_{32}/s\beta, -r_{31}/s\beta). \end{aligned} \quad (2.74)$$

If $\beta = 0.0$, then a solution can be calculated to be

$$\begin{aligned}\beta &= 0.0, \\ \alpha &= 0.0, \\ \gamma &= \text{Atan2}(-r_{12}, r_{11}).\end{aligned}\tag{2.75}$$

If $\beta = 180.0^\circ$, then a solution can be calculated to be

$$\begin{aligned}\beta &= 180.0^\circ, \\ \alpha &= 0.0, \\ \gamma &= \text{Atan2}(r_{12}, -r_{11}).\end{aligned}\tag{2.76}$$



$$R_X(\theta) = \begin{bmatrix} 1 & 1 & 0 \\ 0 & \cos \theta & -\sin \theta \\ 0 & \sin \theta & \cos \theta \end{bmatrix}, \quad (2.77)$$

$$R_Y(\theta) = \begin{bmatrix} \cos \theta & 0 & \sin \theta \\ 0 & 1 & 0 \\ -\sin \theta & 0 & \cos \theta \end{bmatrix}, \quad (2.78)$$

$$R_Z(\theta) = \begin{bmatrix} \cos \theta & -\sin \theta & 0 \\ \sin \theta & \cos \theta & 0 \\ 0 & 0 & 1 \end{bmatrix}. \quad (2.79)$$

$$R_K(\theta) = \begin{bmatrix} k_x k_x v\theta + c\theta & k_x k_y v\theta - k_z s\theta & k_x k_z v\theta + k_y s\theta \\ k_x k_y v\theta + k_z s\theta & k_y k_y v\theta + c\theta & k_y k_z v\theta - k_x s\theta \\ k_x k_z v\theta - k_y s\theta & k_y k_z v\theta + k_x s\theta & k_z k_z v\theta + c\theta \end{bmatrix}, \quad (2.80)$$

where $c\theta = \cos \theta$, $s\theta = \sin \theta$, $v\theta = 1 - \cos \theta$, and ${}^A\hat{K} = [k_x \ k_y \ k_z]^T$. The sign of θ is determined by the right-hand rule, with the thumb pointing along the positive sense of ${}^A\hat{K}$.

$${}^A_B R_K(\theta) = \begin{bmatrix} r_{11} & r_{12} & r_{13} \\ r_{21} & r_{22} & r_{23} \\ r_{31} & r_{32} & r_{33} \end{bmatrix}, \quad (2.81)$$

$$\theta = \text{Acos} \left(\frac{r_{11} + r_{22} + r_{33} - 1}{2} \right)$$

$$\hat{K} = \frac{1}{2 \sin \theta} \begin{bmatrix} r_{32} - r_{23} \\ r_{13} - r_{31} \\ r_{21} - r_{12} \end{bmatrix}. \quad (2.82)$$

EXAMPLE 2.8

A frame $\{B\}$ is described as initially coincident with $\{A\}$. We then rotate $\{B\}$ about the vector ${}^A\hat{K} = [0.7070 \ 7070 \ 0]^T$ (passing through the origin) by an amount $\theta = 30$ degrees. Give the frame description of $\{B\}$.

Substituting into (2.80) yields the rotation-matrix part of the frame description. There was no translation of the origin, so the position vector is $[0, 0, 0]^T$. Hence,

$${}^A_B T = \begin{bmatrix} 0.933 & 0.067 & 0.354 & 0.0 \\ 0.067 & 0.933 & -0.354 & 0.0 \\ -0.354 & 0.354 & 0.866 & 0.0 \\ 0.0 & 0.0 & 0.0 & 1.0 \end{bmatrix}. \quad (2.83)$$

EXAMPLE 2.9

A frame $\{B\}$ is described as initially coincident with $\{A\}$. We then rotate $\{B\}$ about the vector ${}^A\hat{K} = [0.707 \ 0.707 \ 0.0]^T$ (passing through the point ${}^A P = [1.0 \ 2.0 \ 3.0]$) by an amount $\theta = 30$ degrees. Give the frame description of $\{B\}$.

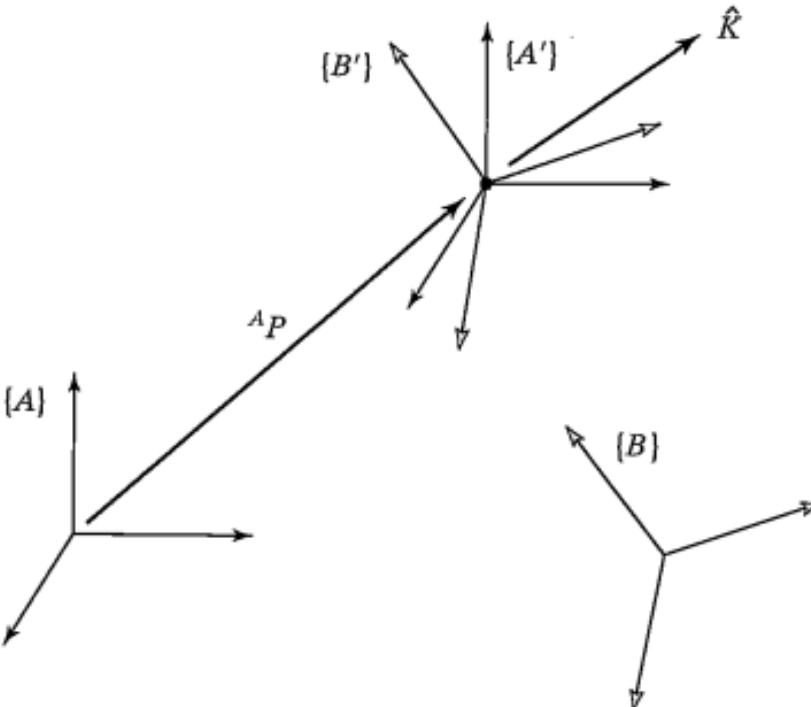


FIGURE 2.20: Rotation about an axis that does not pass through the origin of {A}. Initially, {B} was coincident with {A}.

$${}_{A'}^A T = \begin{bmatrix} 1.0 & 0.0 & 0.0 & 1.0 \\ 0.0 & 1.0 & 0.0 & 2.0 \\ 0.0 & 0.0 & 1.0 & 3.0 \\ 0.0 & 0.0 & 0.0 & 1.0 \end{bmatrix}. \quad (2.84)$$

$${}_{B'}^B T = \begin{bmatrix} 1.0 & 0.0 & 0.0 & -1.0 \\ 0.0 & 1.0 & 0.0 & -2.0 \\ 0.0 & 0.0 & 1.0 & -3.0 \\ 0.0 & 0.0 & 0.0 & 1.0 \end{bmatrix}. \quad (2.85)$$

$${\begin{array}{c} A' \\ B' \end{array}} T = \begin{bmatrix} 0.933 & 0.067 & 0.354 & 0.0 \\ 0.067 & 0.933 & -0.354 & 0.0 \\ -0.354 & 0.354 & 0.866 & 0.0 \\ 0.0 & 0.0 & 0.0 & 1.0 \end{bmatrix}. \quad (2.86)$$

Finally, we can write a transform equation to compute the desired frame,

$$\begin{array}{c} A \\ B \end{array} T = \begin{array}{c} A \\ A' \end{array} T \begin{array}{c} A' \\ B' \end{array} T \begin{array}{c} B \\ B' \end{array} T, \quad (2.87)$$

which evaluates to

$$\begin{array}{c} A \\ B \end{array} T = \begin{bmatrix} 0.933 & 0.067 & 0.354 & -1.13 \\ 0.067 & 0.933 & -0.354 & 1.13 \\ -0.354 & 0.354 & 0.866 & 0.05 \\ 0.000 & 0.000 & 0.000 & 1.00 \end{bmatrix}. \quad (2.88)$$

Euler parameters

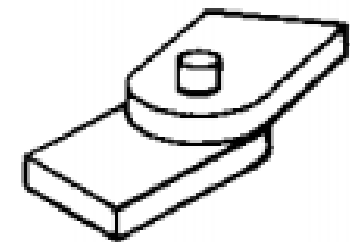
Another representation of orientation is by means of four numbers called the **Euler parameters**.

In terms of the equivalent axis $\hat{K} = [k_x \ k_y \ k_z]^T$ and the equivalent angle θ , the Euler parameters are given by

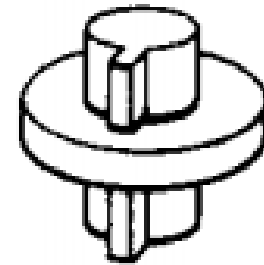
$$\begin{aligned}\epsilon_1 &= k_x \sin \frac{\theta}{2}, \\ \epsilon_2 &= k_y \sin \frac{\theta}{2}, \\ \epsilon_3 &= k_z \sin \frac{\theta}{2}, \\ \epsilon_4 &= \cos \frac{\theta}{2}.\end{aligned}\tag{2.89}$$

It is then clear that these four quantities are not independent:

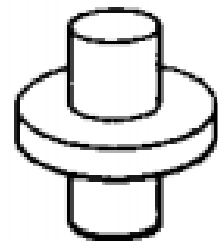
$$\epsilon_1^2 + \epsilon_2^2 + \epsilon_3^2 + \epsilon_4^2 = 1\tag{2.90}$$



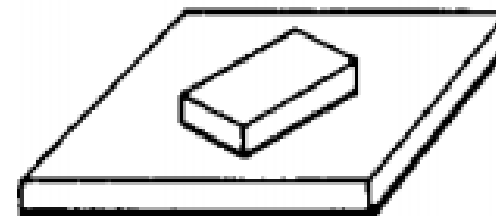
منصل لولایی



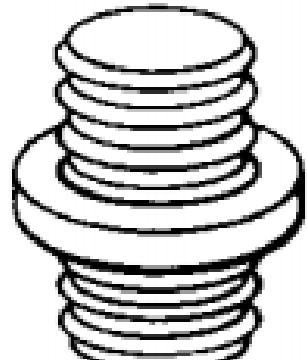
منصل کنوبی



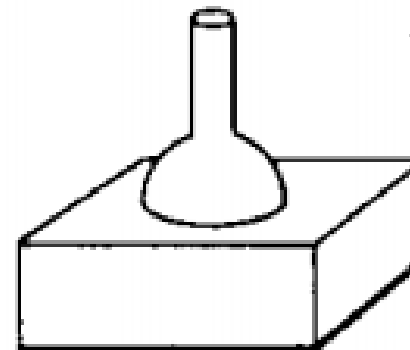
منصل استزانه‌ای



منصل صفحه‌ای

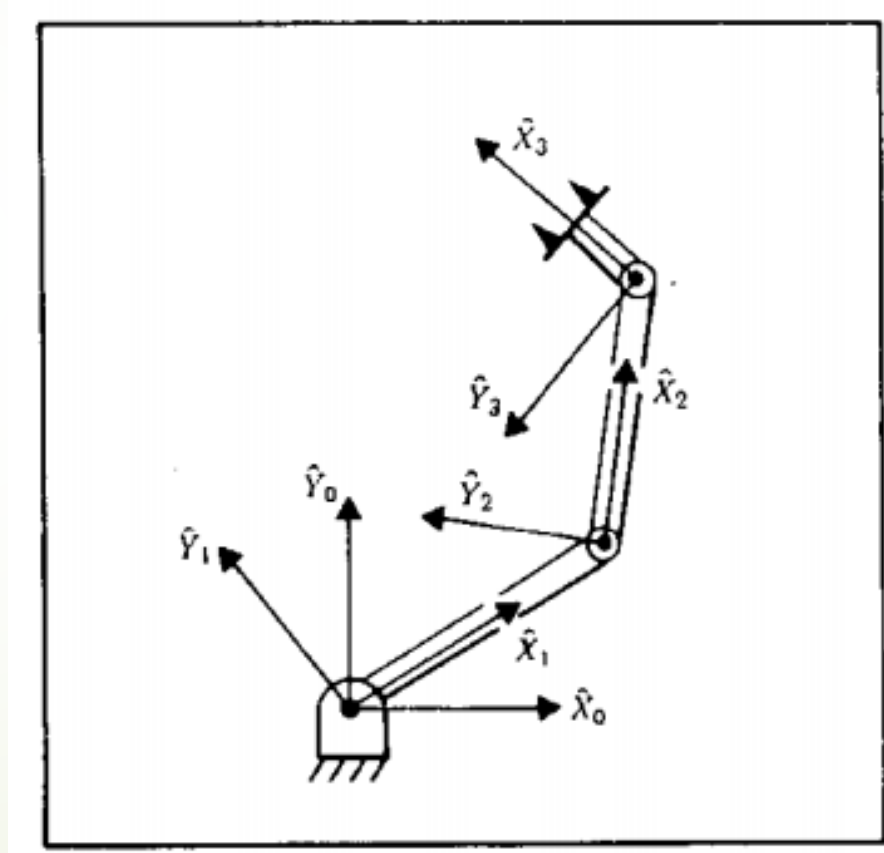
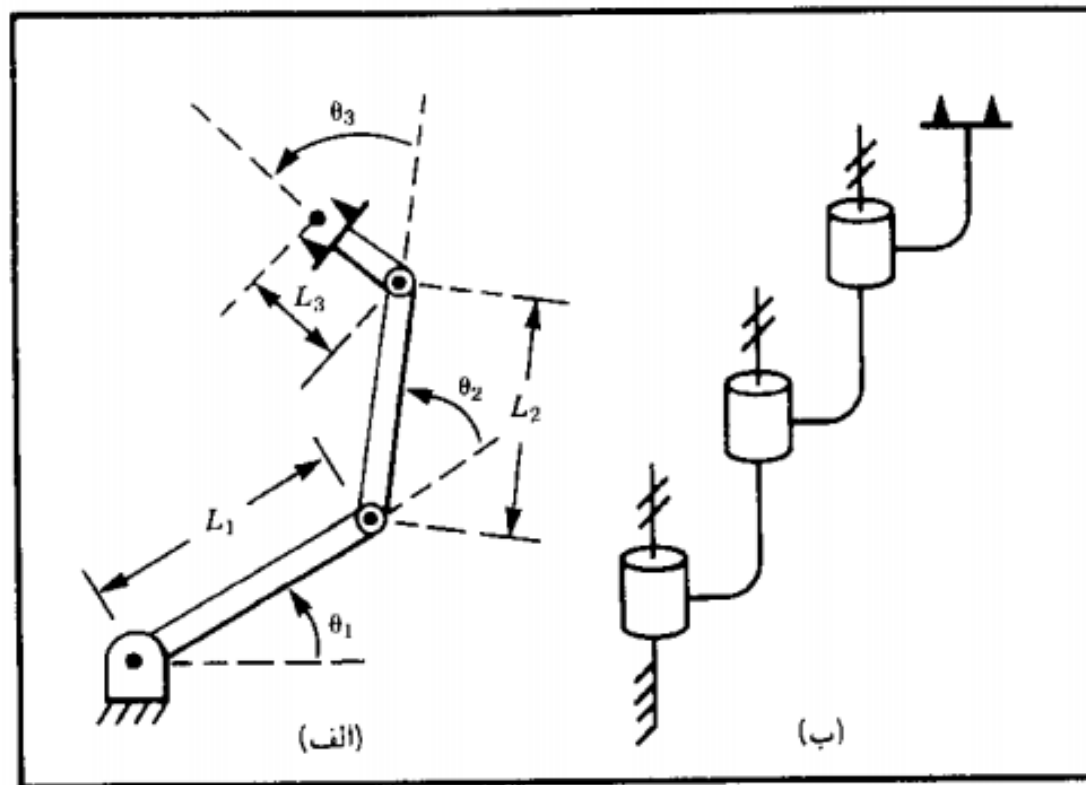


منصل پیچی

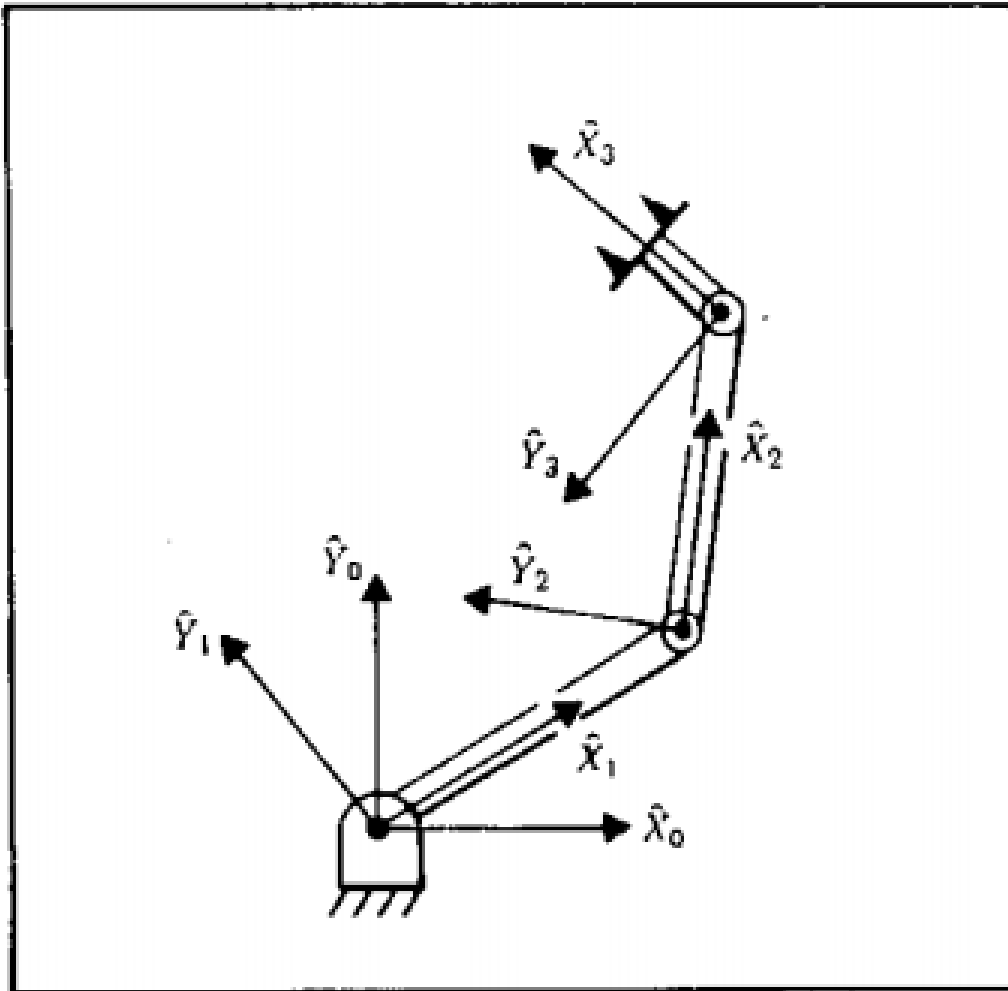


منصل کروی

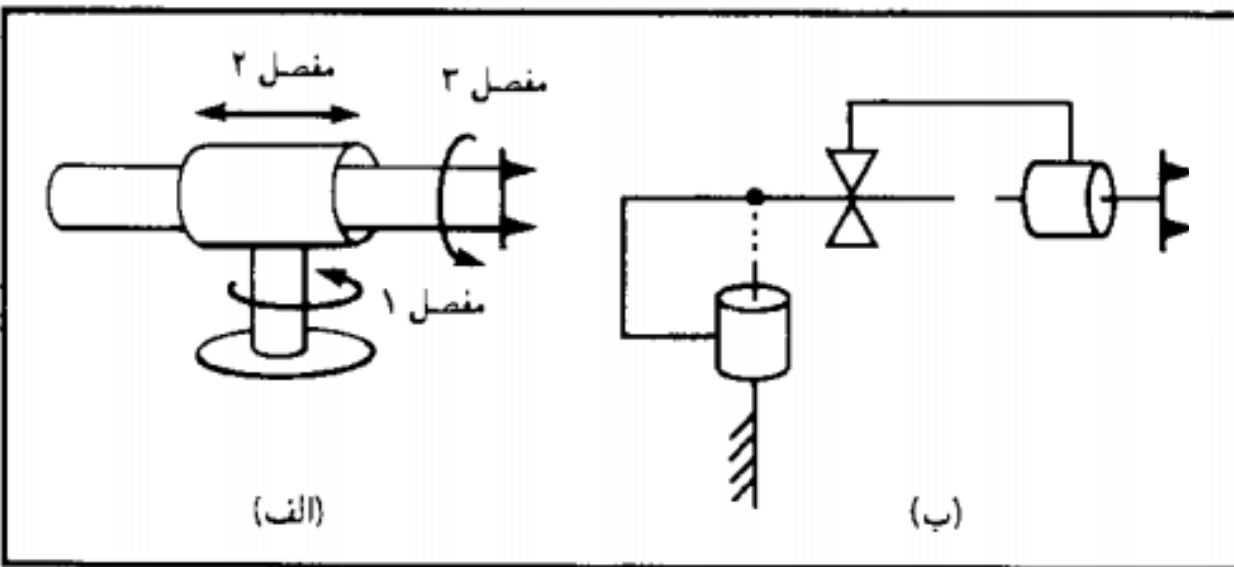
- = فاصله بین \hat{Z}_i و \hat{Z}_{i+1} اندازه‌گیری شده در راستای \hat{X}_i : a_i
- = زاویه بین \hat{Z}_i و \hat{Z}_{i+1} اندازه‌گیری شده حول \hat{X}_i : α_i
- = فاصله بین \hat{X}_{i-1} و \hat{X}_i اندازه‌گیری شده در راستای \hat{Z}_i : d_i
- = زاویه بین \hat{X}_{i-1} و \hat{X}_i اندازه‌گیری شده حول \hat{Z}_i : θ_i .



- $a_i = \text{فاصله بین } \hat{Z}_i \text{ و } \hat{Z}_{i+1} \text{ اندازه‌گیری شده در راستای } \hat{X}_i$ ؛
 $\alpha_i = \text{زاویه بین } \hat{Z}_i \text{ و } \hat{Z}_{i+1} \text{ اندازه‌گیری شده حول } \hat{X}_i$ ؛
 $d_i = \text{فاصله بین } \hat{X}_{i-1} \text{ و } \hat{X}_i \text{ اندازه‌گیری شده در راستای } \hat{Z}_i \text{؛ و}$
 $\theta_i = \text{زاویه بین } \hat{X}_{i-1} \text{ و } \hat{X}_i \text{ اندازه‌گیری شده حول } \hat{Z}_i$.

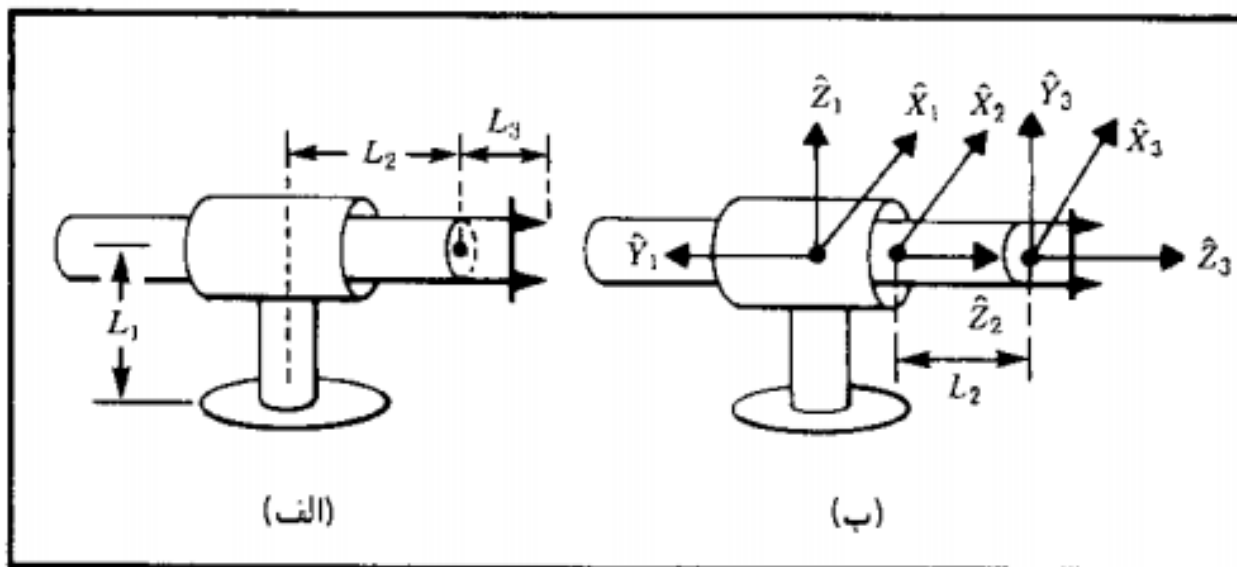


i	a_{i-1}	a_{i-1}	d_i	θ_i
1	0	0	0	θ_1
2	0	L_1	0	θ_2
3	0	L_2	0	θ_3



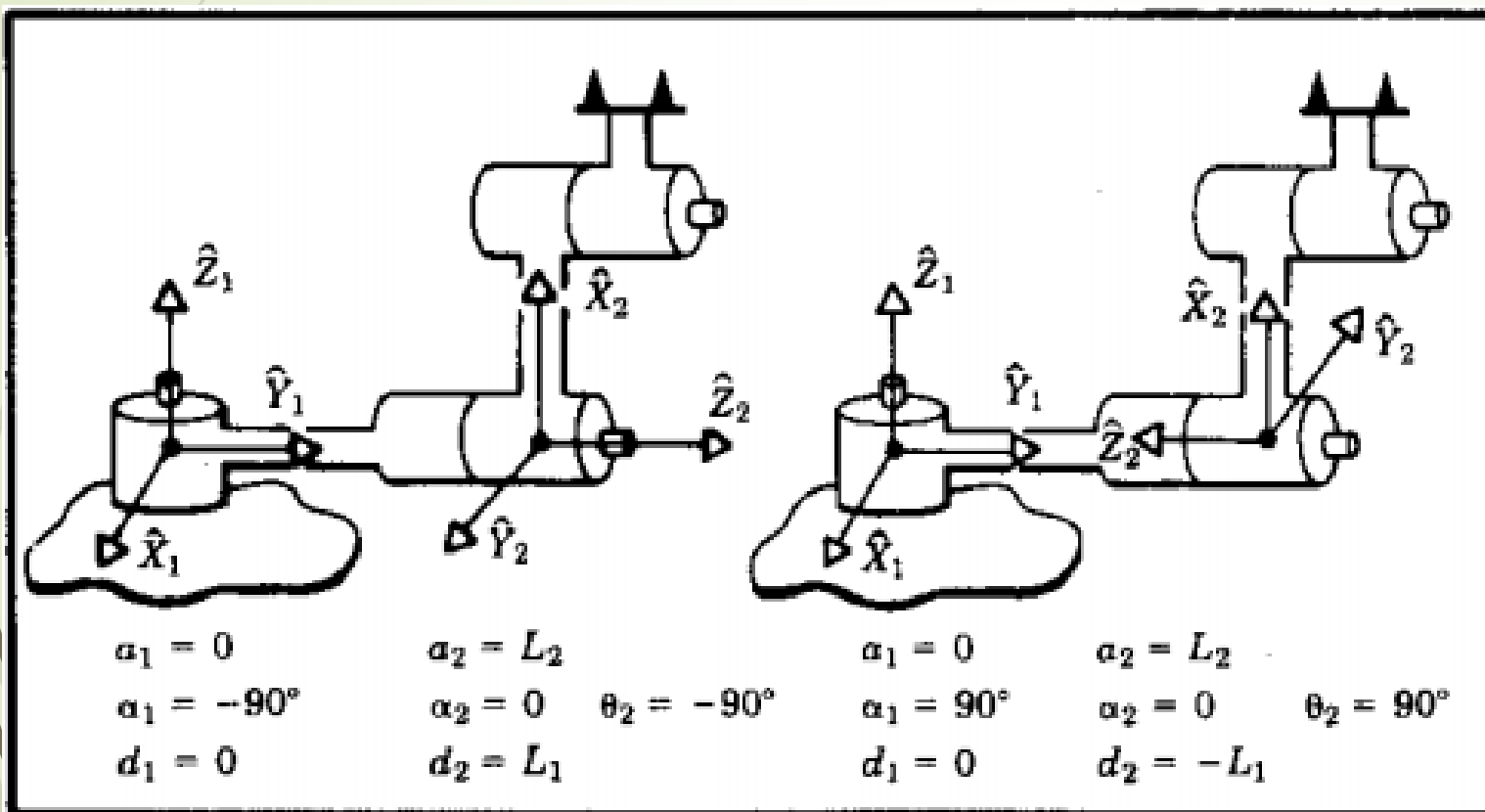
$a_i =$ فاصله بین \hat{Z}_i و \hat{Z}_{i+1} اندازه‌گیری شده در راستای \hat{X}_i ؛
 $\alpha_i =$ زاویه بین \hat{Z}_i و \hat{Z}_{i+1} اندازه‌گیری شده حول \hat{X}_i ؛
 $d_i =$ فاصله بین \hat{X}_{i-1} و \hat{X}_i اندازه‌گیری شده در راستای \hat{Z}_i ؛ و
 $\theta_i =$ زاویه بین \hat{X}_{i-1} و \hat{X}_i اندازه‌گیری شده حول \hat{Z}_i .

شکل ۹-۳ بازوی مکانیکی ماهر با سه درجه آزادی و یک مفصل کثربی.

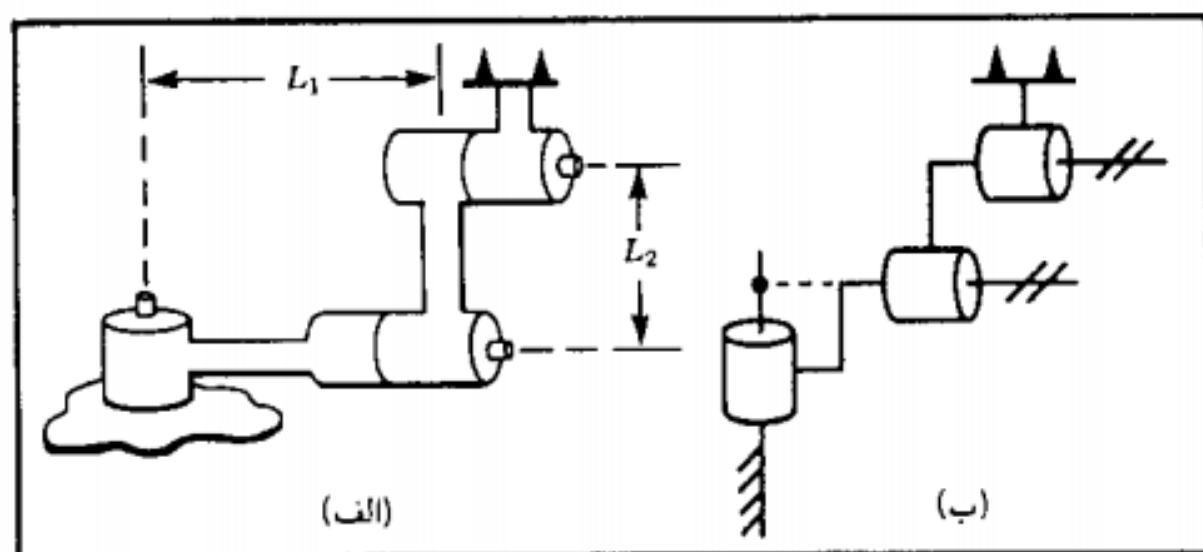


i	α_{i-1}	a_{i-1}	d_i	θ_i
1	0	0	0	θ_1
2	90°	0	d_2	0
3	0	0	L_2	θ_3

a_i = فاصله بین \hat{Z}_i و \hat{Z}_{i+1} اندازه‌گیری شده در راستای \hat{X}_i ؛
 α_i = زاویه بین \hat{Z}_i و \hat{Z}_{i+1} اندازه‌گیری شده حول \hat{X}_i ؛
 d_i = فاصله بین \hat{X}_{i-1} و \hat{X}_i اندازه‌گیری شده در راستای \hat{Z}_i ؛ و
 θ_i = زاویه بین \hat{X}_{i-1} و \hat{X}_i اندازه‌گیری شده حول \hat{Z}_i .

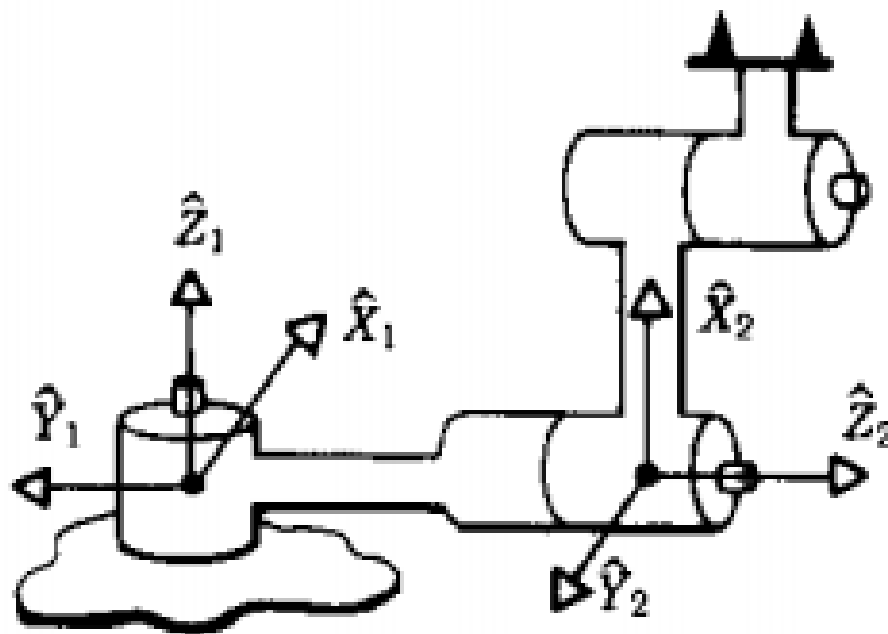


Quiz



شکل ۱۲-۳ بازوی مکانیکی ماهر غیر صفحه‌ای با سه رابط.

فاصله بین \hat{Z}_i و \hat{Z}_{i+1} اندازه‌گیری شده در راستای \hat{X}_i : a_i
 زاویه بین \hat{Z}_i و \hat{Z}_{i+1} اندازه‌گیری شده حول \hat{X}_i : α_i
 فاصله بین \hat{X}_{i-1} و \hat{X}_i اندازه‌گیری شده در راستای \hat{Z}_i : d_i
 زاویه بین \hat{X}_{i-1} و \hat{X}_i اندازه‌گیری شده حول \hat{Z}_i : θ_i



$$a_1 = 0$$

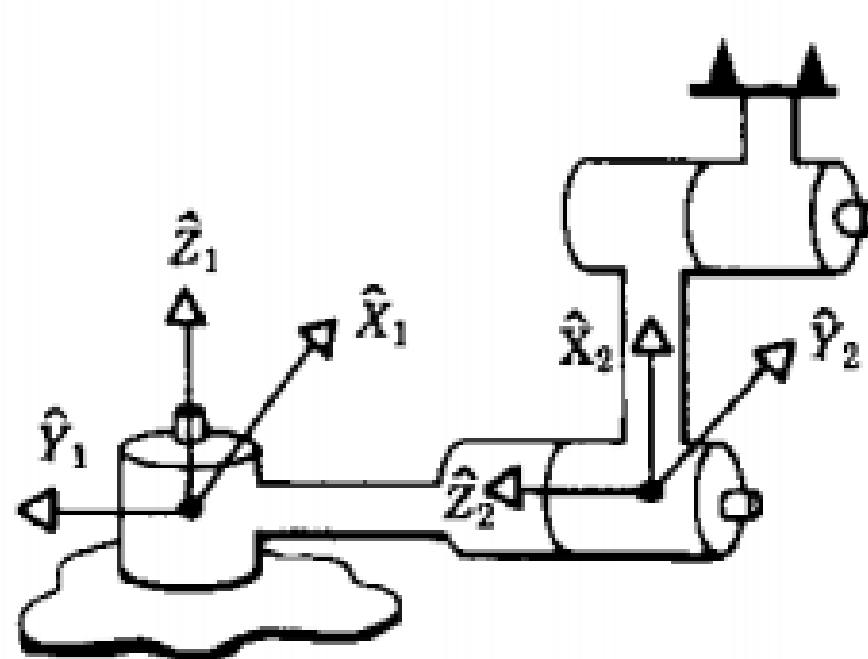
$$\alpha_1 = 90^\circ$$

$$d_1 = 0$$

$$a_2 = L_2$$

$$\alpha_2 = 0 \quad \theta_2 = 90^\circ$$

$$d_2 = L_1$$



$$a_1 = 0$$

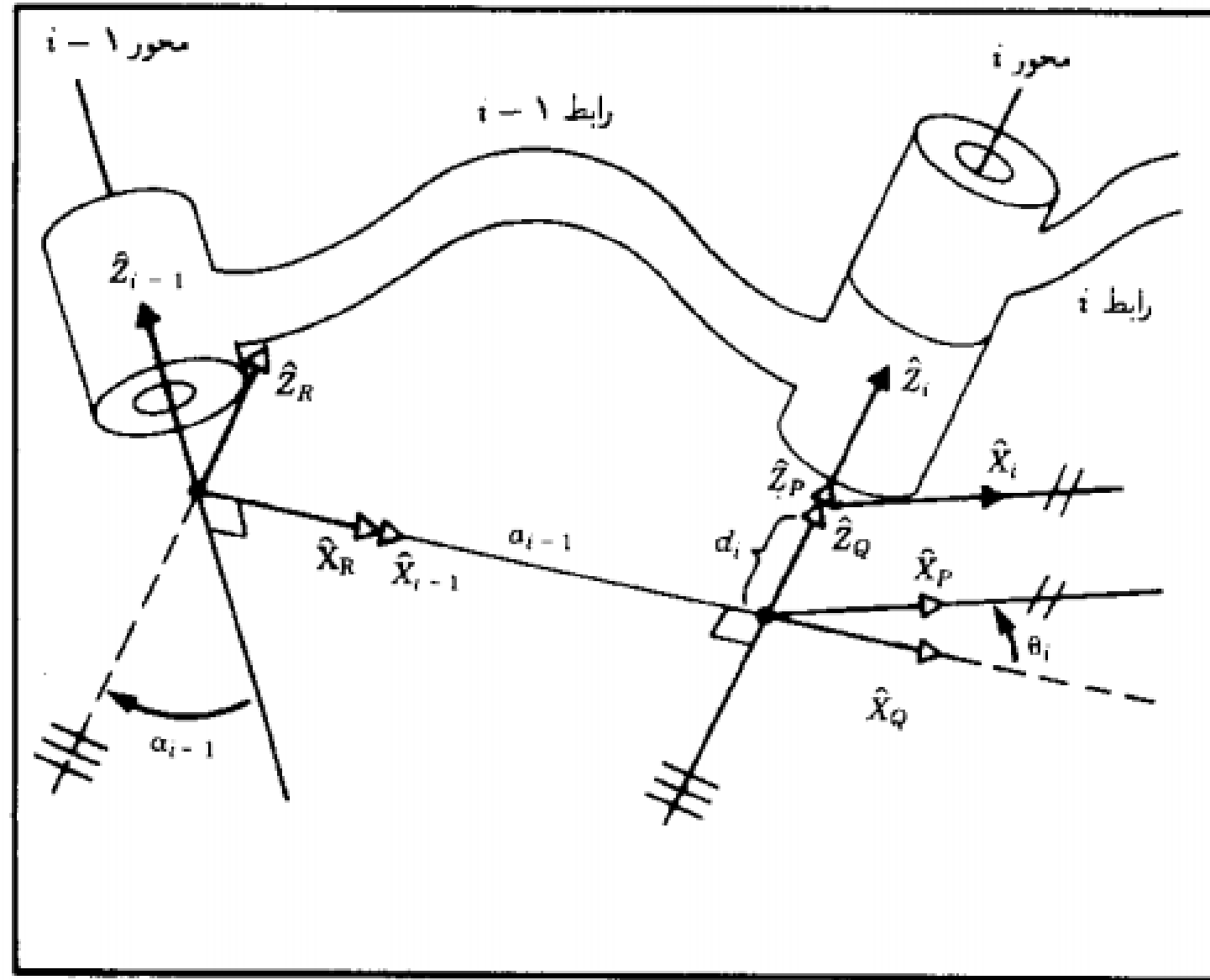
$$\alpha_1 = -90^\circ$$

$$d_1 = 0$$

$$a_2 = L_2$$

$$\alpha_2 = 0 \quad \theta_2 = -90^\circ$$

$$d_2 = -L_1$$



محل فرارگیری چهارجوبهای میانی $\{R\}, \{Q\}, \{P\}$ و $\{Q'\}$.

$${}^{i-1}P = {}_i^{i-1}T^{-i}P$$

$${}^{i-1}T = {}_R^{i-1}T \cdot {}_Q^R T \cdot {}_P^Q T \cdot {}_i^P T$$

$${}^{i-1}T = R_X(\alpha_{i-1}) \cdot D_X(a_{i-1}) \cdot R_Z(\theta_i) \cdot D_Z(d_i)$$

$${}^{i-1}T = \text{Screw}_X(a_{i-1}, \alpha_{i-1}) \text{Screw}_Z(d_i, \theta_i)$$

که در آن نمادگذاری $\text{Screw}_Q(r, \phi)$ ^۱ به معنای یک انتقال در راستای محور \hat{Q} به اندازه r ، و یک

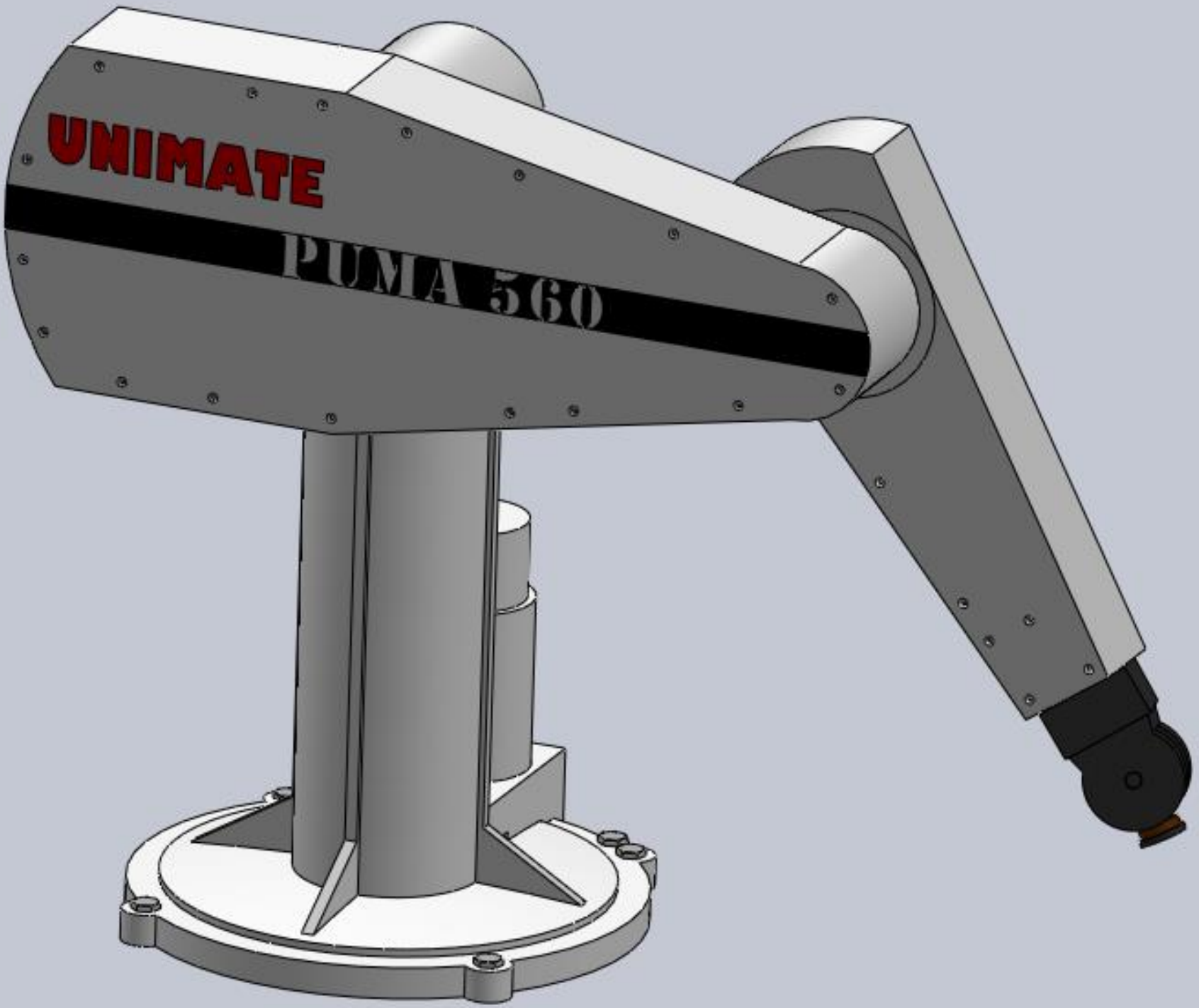
دوران حول همان محور به اندازه زاویه ϕ است. با انجام عمل ضرب در تبدیل کلی $i^{-1}T$ جنین به دست می‌آید

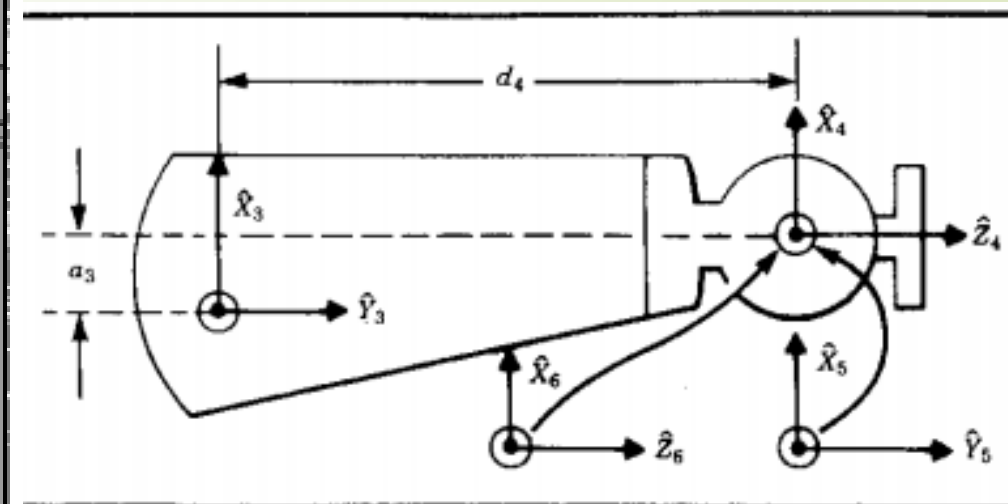
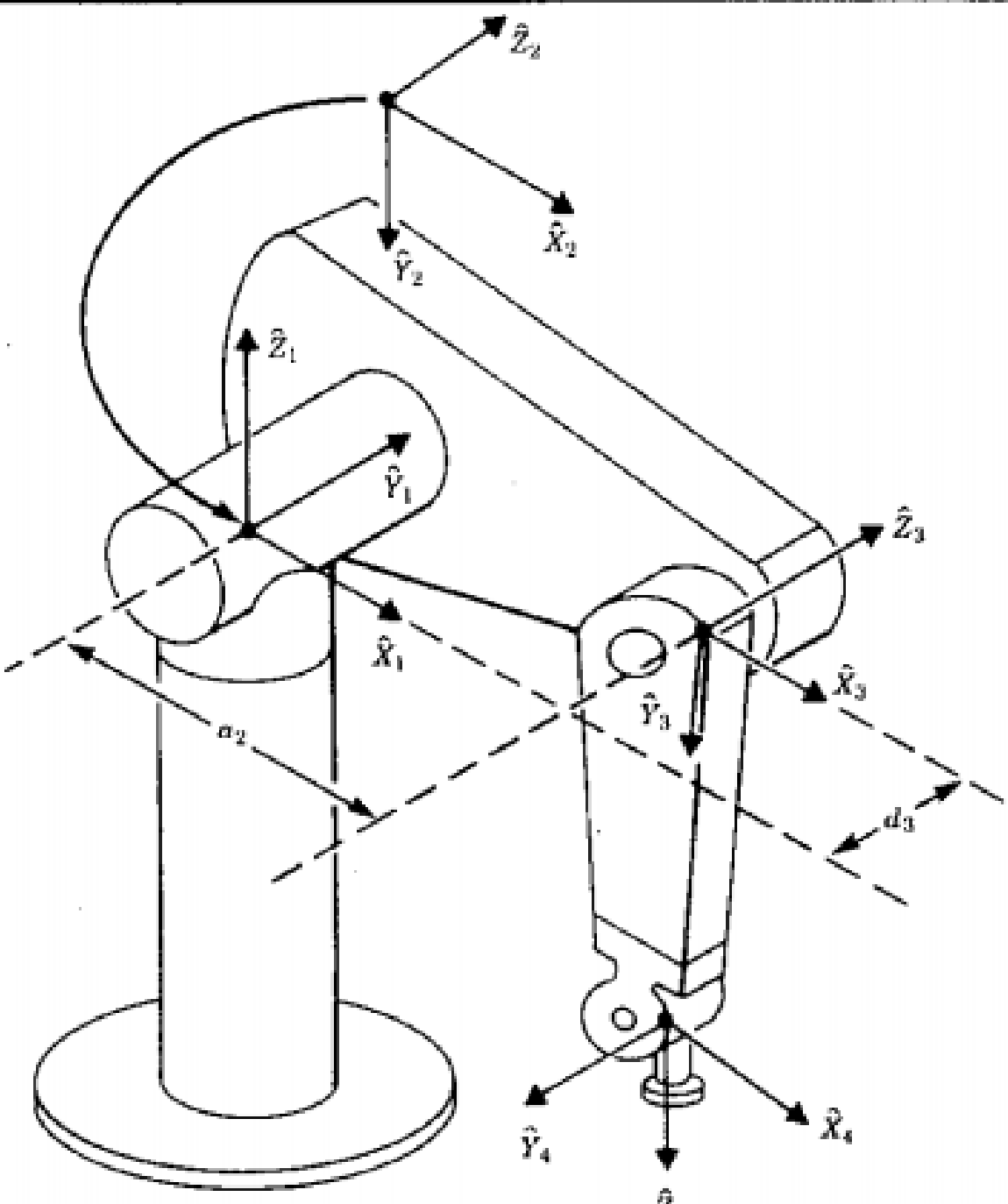
$$i^{-1}T = \begin{bmatrix} c\theta_i & -s\theta_i & * & a_{i-1} \\ s\theta_i c\alpha_{i-1} & c\theta_i c\alpha_{i-1} & -s\alpha_{i-1} & -s\alpha_{i-1} d_i \\ s\theta_i s\alpha_{i-1} & c\theta_i s\alpha_{i-1} & c\alpha_{i-1} & c\alpha_{i-1} d_i \\ * & * & * & 1 \end{bmatrix}$$

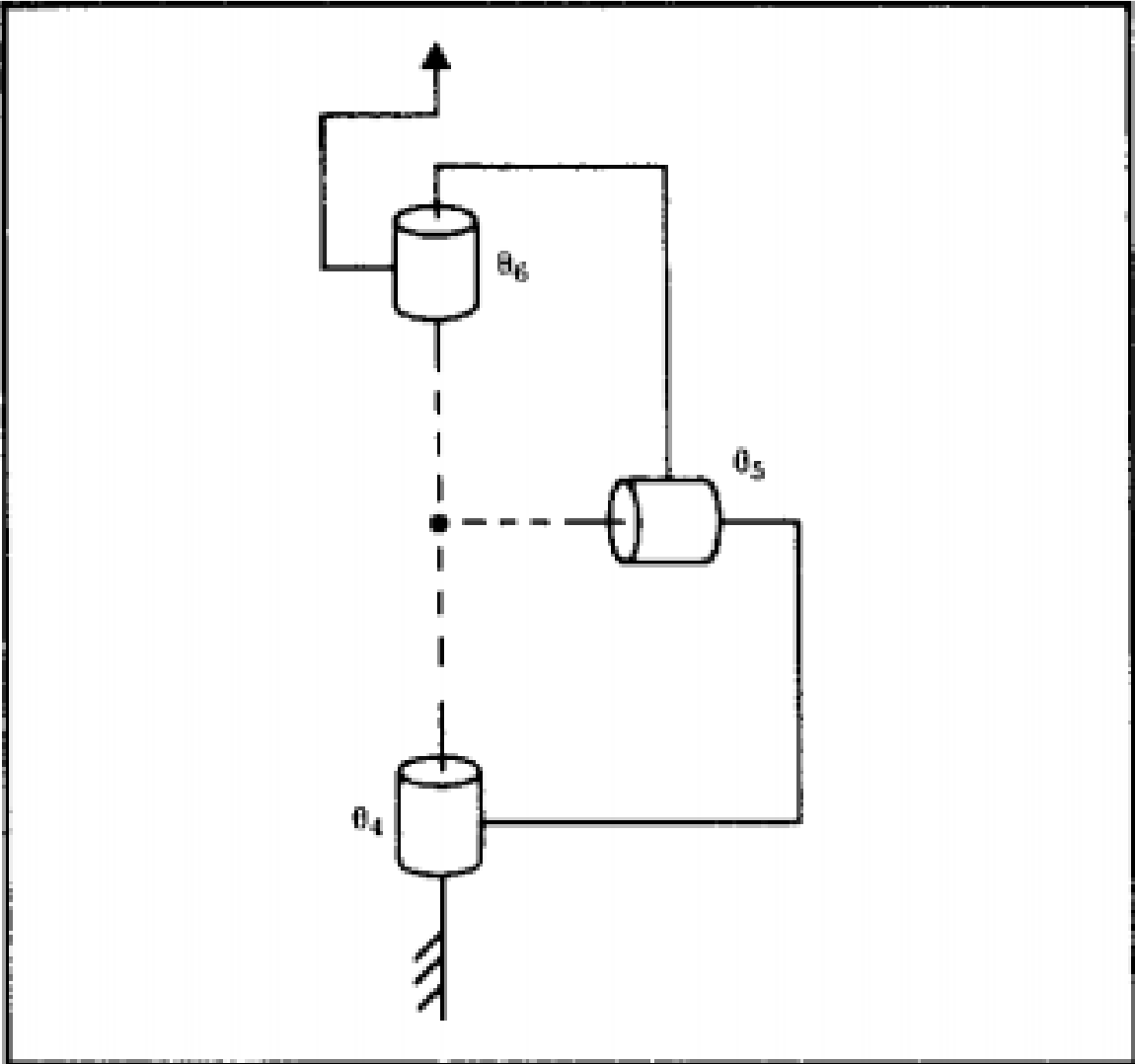
$$\begin{aligned} {}^A_B R_{XYZ}(\gamma, \beta, \alpha) &= R_Z(\alpha)R_Y(\beta)R_X(\gamma) \\ &= \begin{bmatrix} c\alpha & -s\alpha & 0 \\ s\alpha & c\alpha & 0 \\ 0 & 0 & 1 \end{bmatrix} \begin{bmatrix} c\beta & 0 & s\beta \\ 0 & 1 & 0 \\ -s\beta & 0 & c\beta \end{bmatrix} \begin{bmatrix} 1 & 0 & 0 \\ 0 & c\gamma & -s\gamma \\ 0 & s\gamma & c\gamma \end{bmatrix}, \end{aligned}$$

102









تصویر شماتیک میج دست از نوع $3R$ که در آن هر سه محور در نقطه‌ای پکدیگر را قطع می‌کنند و دوبهدو بر هم عبورند. این مکانیزم علاوه بر پیوستا 56° در بسیاری از روباتهای صنعتی دیگر نیز به کار رفته است.

i	a_{1-i}	a_{2-i}	d_i	θ_i
1	0	0	0	θ_1
2	-90°	0	0	θ_2
3	0	a_3	d_3	θ_3
4	-90°	a_4	d_4	θ_4
5	90°	0	0	θ_5
6	-90°	0	0	θ_6

پارامترهای رابط برای روبات پیروما ۵۶°.

$$\begin{aligned}\dot{\tau}T &= \begin{bmatrix} c\theta_1 & -s\theta_1 & * & * \\ s\theta_1 & c\theta_1 & * & * \\ * & * & 1 & * \\ * & * & * & 1 \end{bmatrix} \\ \dot{\tau}T &= \begin{bmatrix} c\theta_\tau & -s\theta_\tau & * & * \\ * & * & 1 & * \\ -s\theta_\tau & -c\theta_\tau & * & * \\ * & * & * & 1 \end{bmatrix} \\ \dot{\tau}T &= \begin{bmatrix} c\theta_\tau & -s\theta_\tau & * & a_\tau \\ s\theta_\tau & c\theta_\tau & * & * \\ * & * & 1 & d_\tau \\ * & * & * & 1 \end{bmatrix}\end{aligned}$$

$$\begin{aligned}\dot{\tau}T &= \begin{bmatrix} c\theta_\tau & -s\theta_\tau & * & a_\tau \\ * & * & 1 & d_\tau \\ -s\theta_\tau & -c\theta_\tau & * & * \\ * & * & * & 1 \end{bmatrix} \\ \dot{\sigma}T &= \begin{bmatrix} c\theta_0 & -s\theta_0 & * & * \\ * & * & -1 & * \\ s\theta_0 & c\theta_0 & * & * \\ * & * & * & 1 \end{bmatrix} \\ \dot{\sigma}T &= \begin{bmatrix} c\theta_\tau & -s\theta_\tau & * & * \\ * & * & 1 & * \\ -s\theta_\tau & -c\theta_\tau & * & * \\ * & * & * & 1 \end{bmatrix}\end{aligned}$$

$${}^t T = {}^r T \quad {}^o T = \begin{bmatrix} c_\delta c_\beta & -c_\delta s_\beta & -s_\delta & * \\ s_\beta & c_\beta & * & * \\ s_\delta c_\beta & -s_\delta s_\beta & c_\delta & * \\ * & * & * & 1 \end{bmatrix}$$

$${}^r T = {}^r T \quad {}^s T = \begin{bmatrix} c_\tau c_\delta c_\beta - s_\tau s_\beta & -c_\tau c_\delta s_\beta - s_\tau c_\beta & -c_\tau s_\delta & a_\tau \\ s_\delta c_\beta & -s_\delta s_\beta & c_\delta & d_\tau \\ -s_\tau c_\delta c_\beta - c_\tau s_\beta & s_\tau c_\delta s_\beta - c_\tau c_\beta & s_\tau s_\delta & * \\ * & * & * & 1 \end{bmatrix}$$

$${}^s T = {}^r T \quad {}^v T = \begin{bmatrix} c_{\tau\tau} & -s_{\tau\tau} & * & a_{\tau} c_{\tau} \\ * & * & 1 & d_{\tau} \\ -s_{\tau\tau} & -c_{\tau\tau} & * & -a_{\tau} s_{\tau} \\ * & * & * & 1 \end{bmatrix}$$

$$\begin{matrix} {}^3T = {}^3T - {}^1T \\ {}_3T = \end{matrix} \begin{bmatrix} {}^3T_{11} & {}^3T_{12} & {}^3T_{13} & {}^3p_x \\ {}^3T_{21} & {}^3T_{22} & {}^3T_{23} & {}^3p_y \\ {}^3T_{31} & {}^3T_{32} & {}^3T_{33} & {}^3p_z \\ 0 & 0 & 0 & 1 \end{bmatrix}$$

$${}^3T_{11} = c_{rr}[c_r c_\theta c_\phi - s_r s_\phi] - s_{rr} s_\theta s_\phi$$

$${}^3T_{12} = -s_r c_\theta c_\phi - c_r s_\phi$$

$${}^3T_{13} = -s_{rr}[c_r c_\theta c_\phi - s_r s_\phi] - c_{rr} s_\theta c_\phi$$

$${}^3T_{12} = -c_{rr}[c_r c_\theta s_\phi + s_r c_\phi] + s_{rr} s_\theta s_\phi$$

$${}^3T_{13} = s_r c_\theta s_\phi - c_r c_\phi$$

$${}^3T_{22} = s_{rr}[c_r c_\theta s_\phi + s_r c_\phi] + c_{rr} s_\theta s_\phi$$

$${}^3T_{23} = -c_{rr} c_r s_\phi - s_{rr} c_\phi$$

$${}^3T_{32} = s_r s_\phi$$

$${}^3T_{33} = s_{rr} c_r s_\phi - c_{rr} c_\phi$$

$${}^3p_x = a_r c_r + a_r c_{rr} - d_r s_{rr}$$

$${}^3p_y = d_r$$

$${}^3p_z = -a_r s_{rr} - a_r s_r - d_r c_{rr}$$

$$\dot{T} = \begin{bmatrix} T_{11} & T_{12} & T_{13} & p_x \\ T_{21} & T_{22} & T_{23} & p_y \\ T_{31} & T_{32} & T_{33} & p_z \\ 0 & 0 & 0 & 1 \end{bmatrix}$$

$$r_{11} = c_1 [c_{11}(c_1 c_0 c_s - s_1 s_s) - s_{11} s_0 c_s] + s_1 (s_1 c_0 c_s + c_1 s_s)$$

$$r_{21} = s_1 [c_{11}(c_1 c_0 c_s - s_1 s_s) - s_{11} s_0 c_s] - c_1 (s_1 c_0 c_s + c_1 s_s)$$

$$r_{31} = -s_{11}(c_1 c_0 c_s - s_1 s_s) - c_{11} s_0 c_s$$

$$r_{12} = c_1 [c_{11}(-c_1 c_0 s_s - s_1 c_s) + s_{11} s_0 s_s] + s_1 (c_1 c_s - s_1 c_0 s_s)$$

$$r_{22} = s_1 [c_{11}(-c_1 c_0 s_s - s_1 c_s) + s_{11} s_0 s_s] - c_1 (c_1 c_s - s_1 c_0 s_s)$$

$$r_{32} = -s_{11}(-c_1 c_0 s_s - s_1 c_s) + c_{11} s_0 s_s$$

$$r_{13} = -c_1 (c_{11} c_1 s_0 + s_{11} c_0) - s_1 s_1 s_0$$

$$r_{23} = -s_1 (c_{11} c_1 s_0 + s_{11} c_0) + c_1 s_1 s_0$$

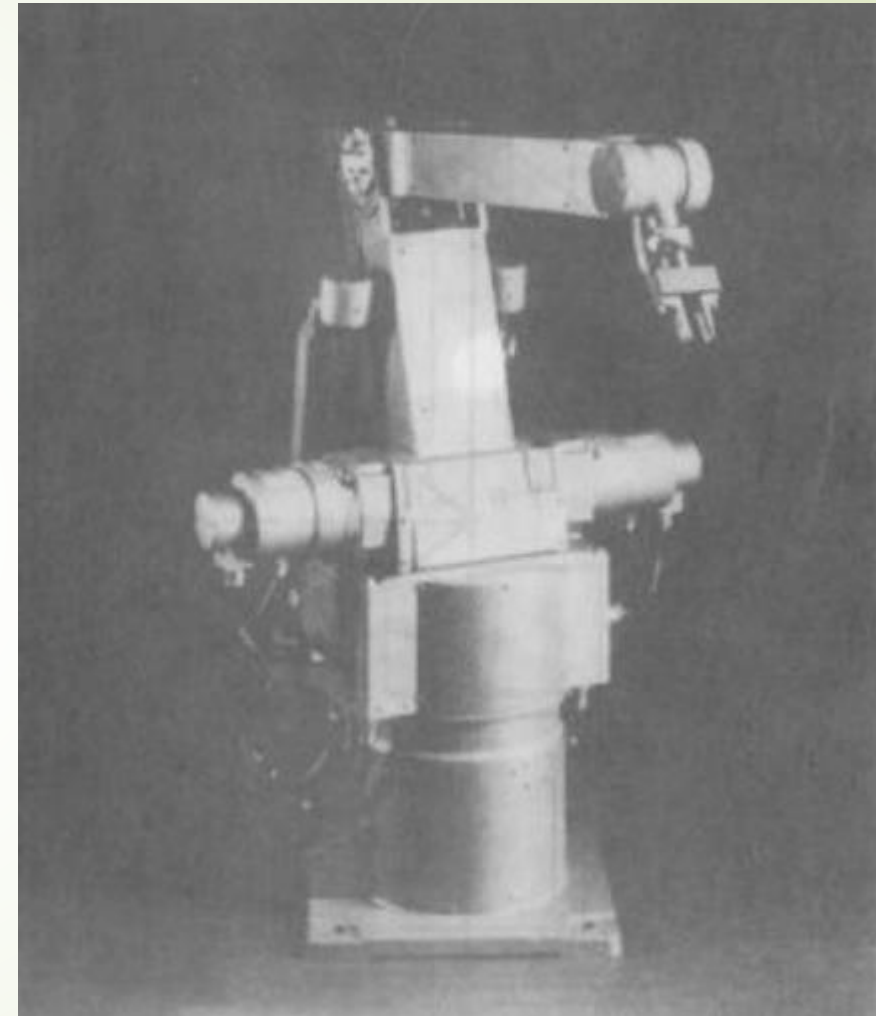
$$r_{33} = s_{11} c_1 s_0 - c_{11} c_0$$

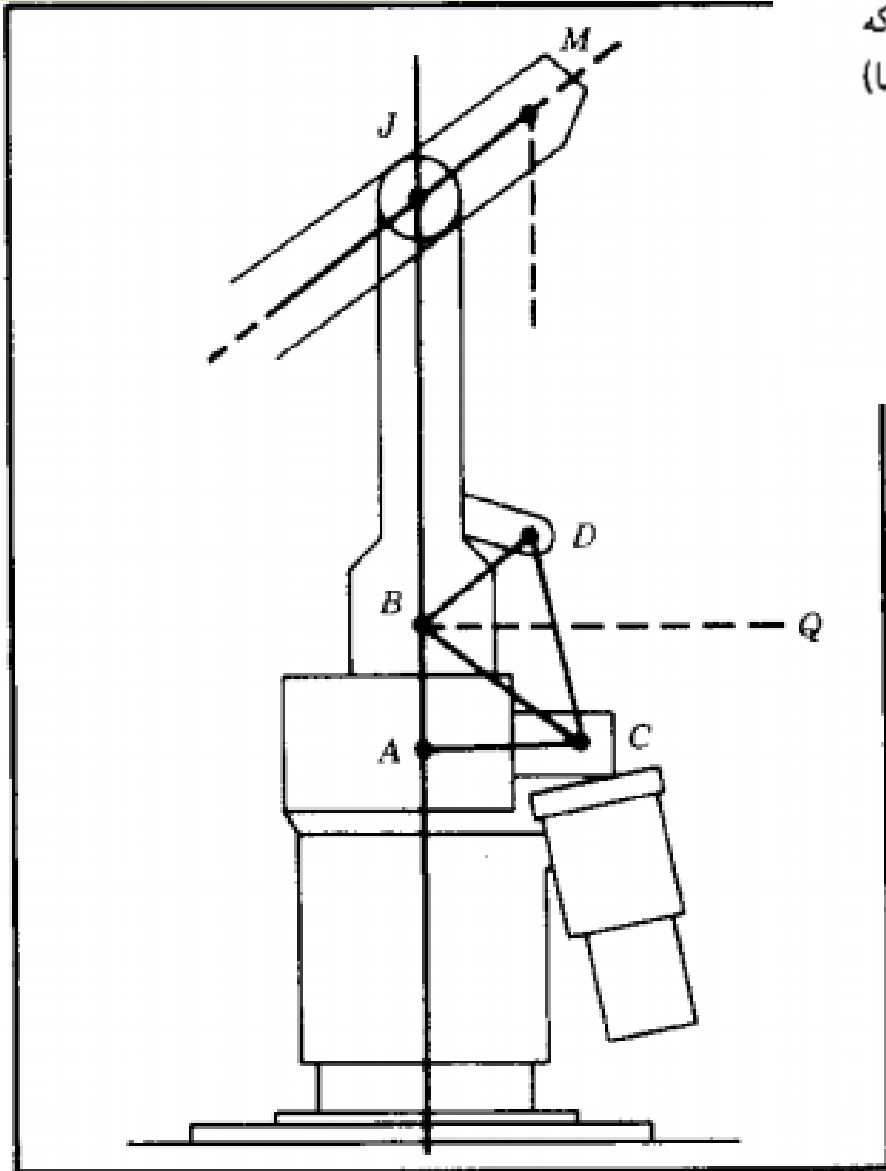
$$p_x = c_1 [a_1 c_1 + a_2 c_{11} - d_1 s_{11}] - d_1 s_1$$

$$p_y = s_1 [a_1 c_1 + a_2 c_{11} - d_1 s_{11}] + d_1 c_1$$

$$p_z = -a_2 s_{11} - a_1 s_1 - d_1 c_{11}$$

111





مکانیزمی که کارانداز شماره ۲ را به رابطهای ۲ و ۳ از رویات متصل می‌کند، نشان داده شده است. این کارانداز از نوع خطی است و مستقیماً طول میله DC را کنترل می‌کند. مثلث ABC و طول BD ثابت است. مفصل ۲ می‌تواند حول نقطه B دوران کند، و هنگامی که مکانیزم حرکت می‌کند، کارانداز کمی حول نقطه C می‌گردد. برای مقادیر ثابت (طولها و زاویه‌ها) مربوط به کارانداز ۲، از نمادهای زیر استفاده شده است

$$\gamma_1 = AB, \quad \phi_1 = AC, \quad \alpha_1 = BC$$

$$\beta_1 = BD, \quad \Omega_1 = \angle JBD, \quad l_1 = BJ$$

$$\theta_r = -\angle JBO, \psi_r = \angle CBD, g_r = DC$$

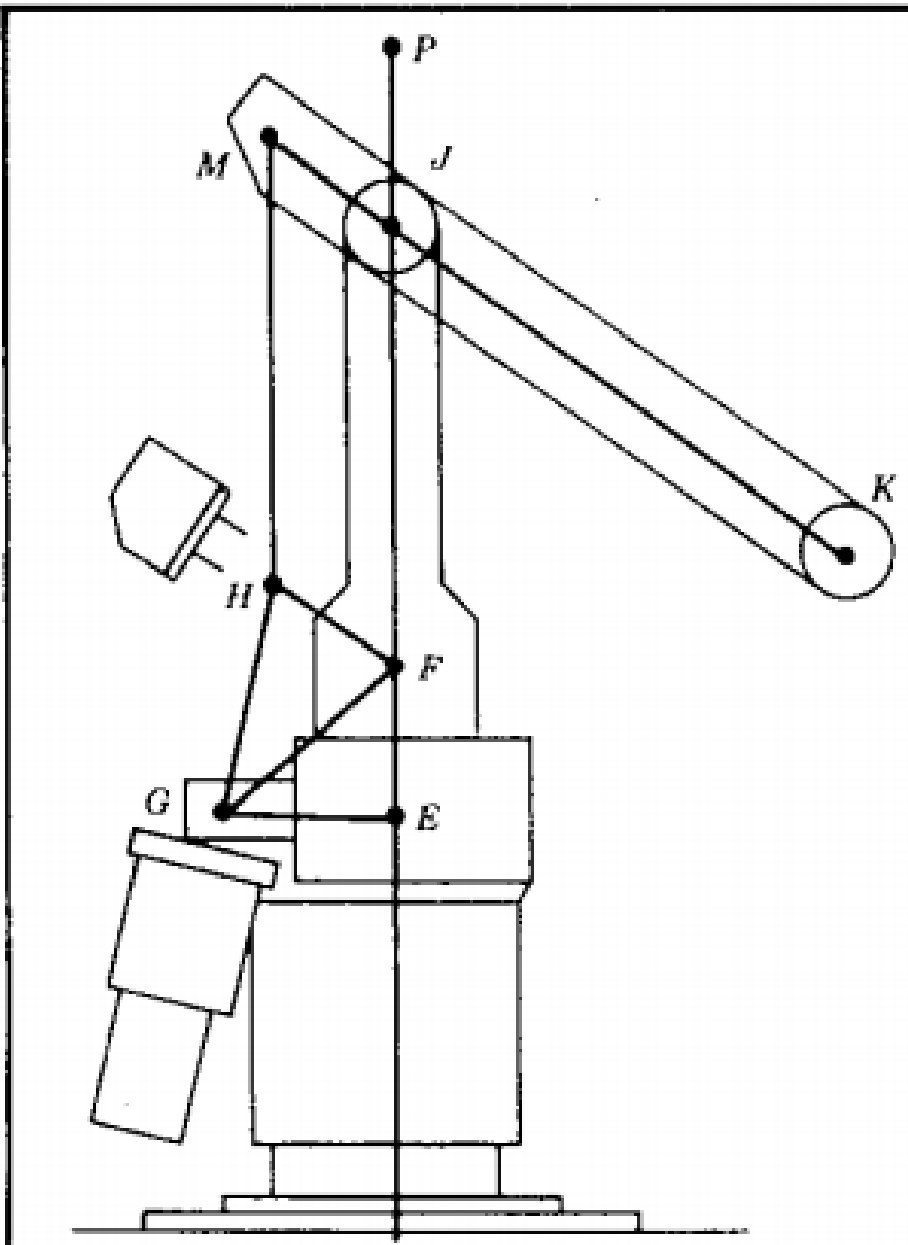
مکانیزم میله‌بندی که کارانداز ۳ را به رابطهای ۲ و ۳ روبات متصل می‌کند، نشان داده شده است. کارانداز خطی است و طول میله HG را مستقیماً کنترل می‌کند. مثلث و طول EFG ثابت است. مفصل ۳ حول نقطه J لولا شده است و کارانداز در هنگام حرکت مکانیزم، کمی حول نقطه G دوران می‌کند. مقادیر ثابت کارانداز ۳ با تعادهای زیر مشخص شده‌اند

$$\gamma_r = EF, \quad \phi_r = EG, \quad \alpha_r = GF$$

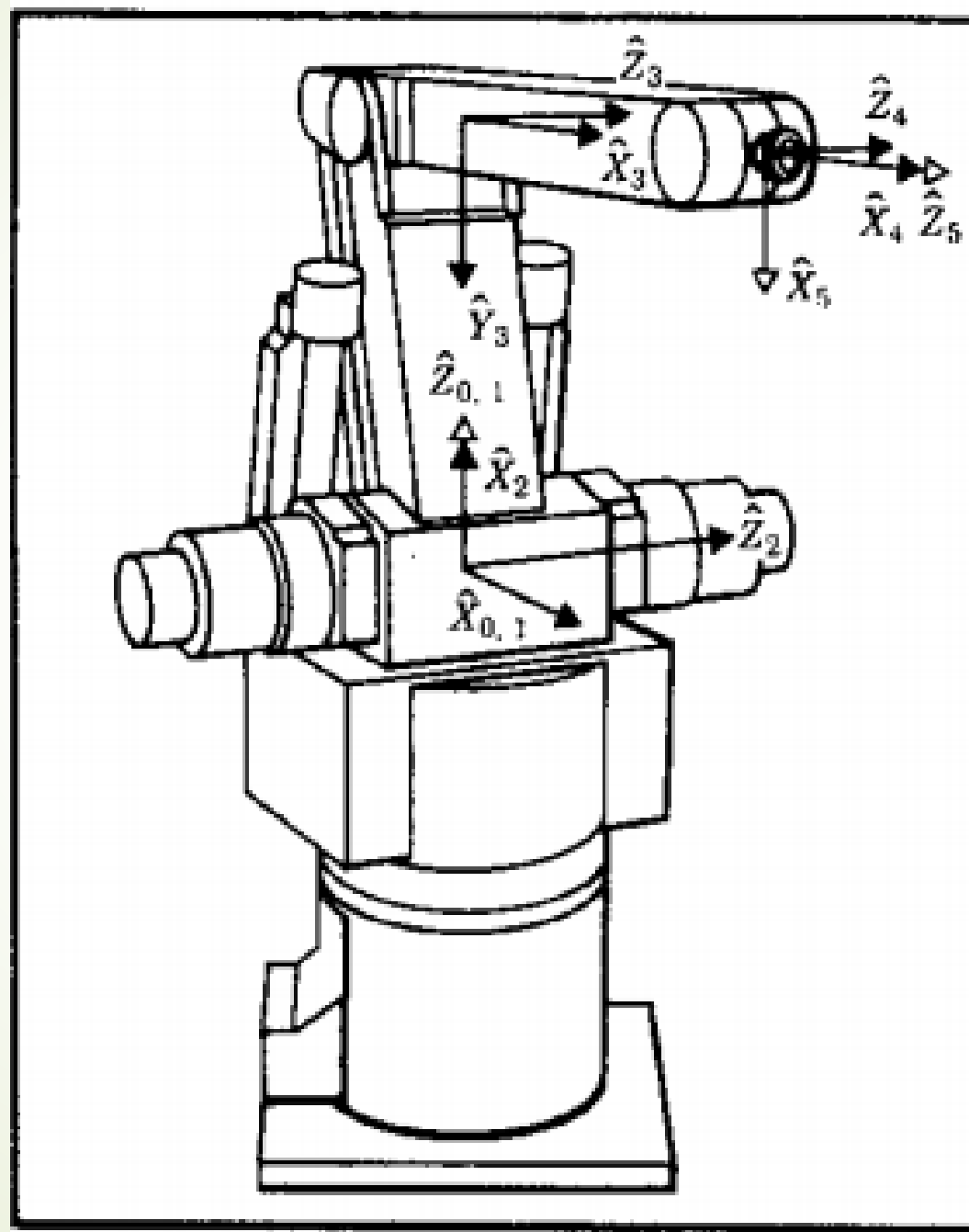
$$\beta_r = HF, \quad l_r = JK$$

و به متغیرها اسامی زیر داده شده است

$$\theta_r = \angle PJK, \psi_r = \angle GFH, g_r = GH$$



جزئیات مکانیزم کارانداز ۳ در میله‌بندی پازوکاوا.



$${}^i T = \begin{bmatrix} c\theta_i & -s\theta_i & 0 & 0 \\ s\theta_i & c\theta_i & 0 & 0 \\ 0 & 0 & 1 & 0 \\ 0 & 0 & 0 & 1 \end{bmatrix}$$

$${}^r T = \begin{bmatrix} c\theta_r & -s\theta_r & 0 & 0 \\ 0 & 0 & 1 & 0 \\ -s\theta_r & -c\theta_r & 0 & 0 \\ 0 & 0 & 0 & 1 \end{bmatrix}$$

$${}^t T = \begin{bmatrix} c\theta_t & -s\theta_t & 0 & l_t \\ s\theta_t & c\theta_t & 0 & 0 \\ 0 & 0 & 1 & 0 \\ 0 & 0 & 0 & 1 \end{bmatrix}$$

i	a_{i-1}	$a_i + 1$	d_i	θ_i
1	0	0	0	θ_1
2	-90°	0	0	θ_2
3	0	L_2	0	θ_3
4	0	L_3	0	θ_4
5	90°	0	0	θ_5

$${}^r T = \begin{bmatrix} c\theta_r & -s\theta_r & 0 & l_r \\ s\theta_r & c\theta_r & 0 & 0 \\ 0 & 0 & 1 & 0 \\ 0 & 0 & 0 & 1 \end{bmatrix}$$

$${}^o T = \begin{bmatrix} c\theta_o & -s\theta_o & 0 & 0 \\ 0 & 0 & -1 & 0 \\ s\theta_o & c\theta_o & 0 & 0 \\ 0 & 0 & 0 & 1 \end{bmatrix}$$

پس از انجام عمل ضرب، ماتریس تبدیل کلی T حاصل می‌شود

$${}^o T = \begin{bmatrix} r_{11} & r_{12} & r_{13} & p_x \\ r_{21} & r_{22} & r_{23} & p_y \\ r_{31} & r_{32} & r_{33} & p_z \\ 0 & 0 & 0 & 1 \end{bmatrix}$$

$$r_{11} = c_1 c_{\text{rrr}} c_0 - s_1 s_0$$

$$r_{12} = s_1 c_{\text{rrr}} c_0 + c_1 s_0$$

$$r_{21} = -s_{\text{rrr}} c_0$$

$$r_{13} = -c_1 c_{\text{rrr}} s_0 - s_1 c_0$$

$$r_{22} = -s_1 c_{\text{rrr}} s_0 + c_1 c_0$$

$$r_{33} = s_{\text{rrr}} s_0$$

$$r_{14} = c_1 s_{\text{rrr}}$$

$$r_{15} = s_1 s_{\text{rrr}}$$

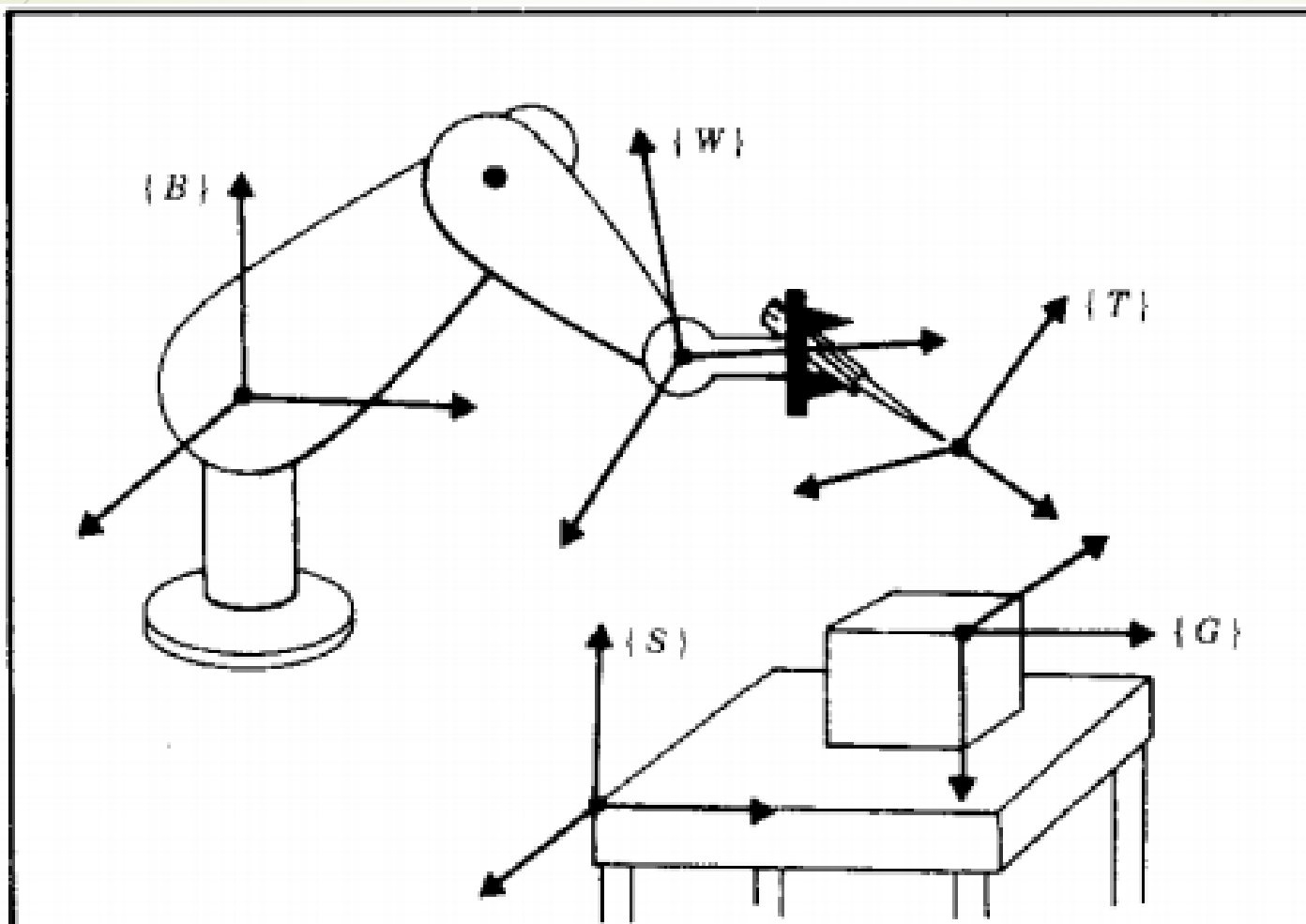
$$r_{24} = c_{\text{rrr}}$$

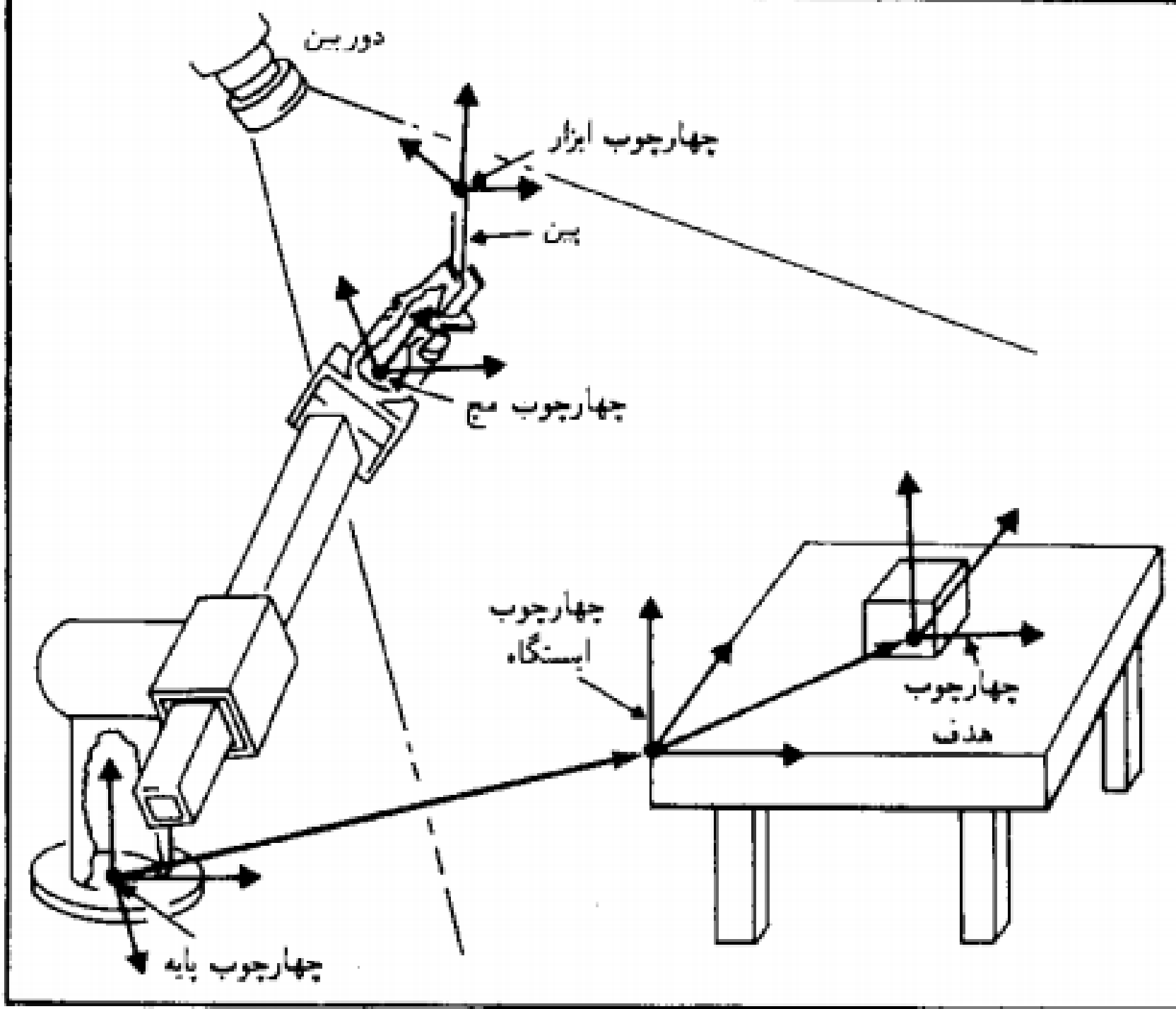
$$p_x = c_1(l_r c_r + l_r c_{rr})$$

$$p_y = s_1(l_r c_r + l_r c_{rr})$$

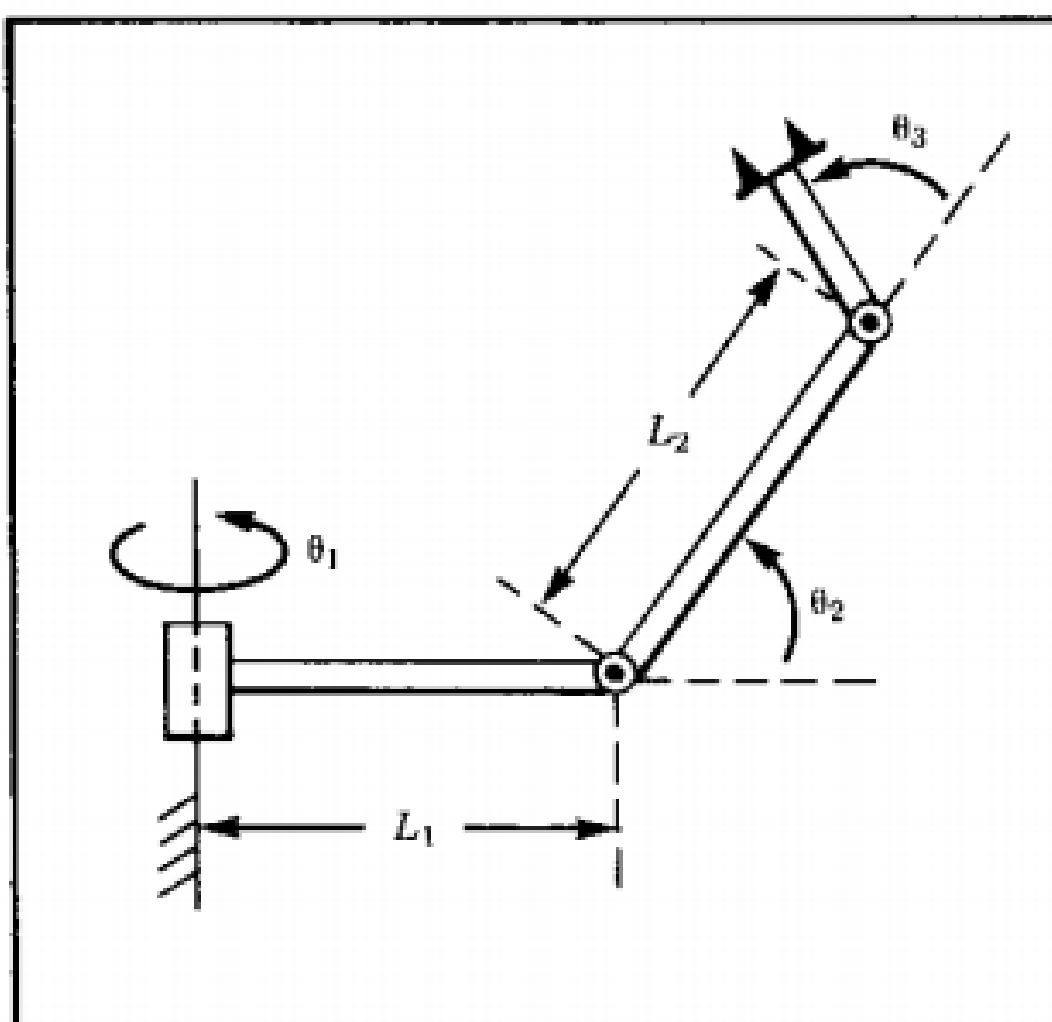
$$p_z = -l_r s_r - l_r s_{rr}$$

چهار چوبهای با نامهای استاندارد

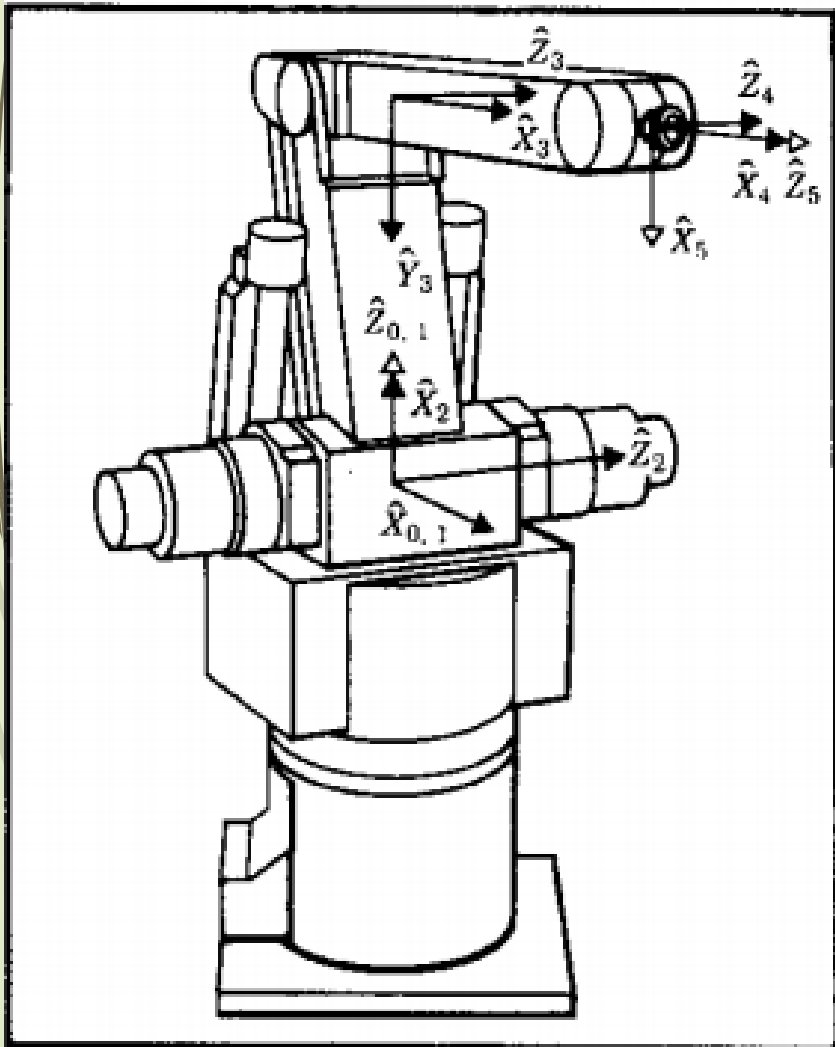




بازوی مکانیکی با سه درجه آزادی که در شکل نشان داده شده است، مانند بازوی مثال ۳-۳ است. با این تفاوت که در آن محور مفصل ۱ با دو محور دیگر موازی نیست و در عوض بین محورهای ۱ و ۲ بیچشت برابر 90° وجود دارد. پارامترهای رابط و معادله‌های سینماتیکی را برای T^B_W به دست آورید. توجه کنید که در اینجا به تعریف ۳-۴ نیاز نیست.



سینماتیک وارون بازو های مکانیکی ماهر



i	α_{i-1}	a_{i-1}	d_i	θ_i
1	0	0	0	θ_1
2	-90°	0	0	θ_2
3	0	L_2	0	θ_3
4	0	L_3	0	θ_4
5	90°	0	0	θ_5

$$\overset{\circ}{T} = \begin{bmatrix} T_{11} & T_{12} & T_{13} & p_x \\ T_{21} & T_{22} & T_{23} & p_y \\ T_{31} & T_{32} & T_{33} & p_z \\ \vdots & \ddots & \ddots & \mathbb{I} \end{bmatrix}$$

حل مسئله پیدا کردن زوایای مفصلی مورد نیاز برای استقرار چهارچوب ابزار $\{T\}$ نسبت به چهارچوب استگاه $\{S\}$ ، به دو بخش تقسیم می‌شود. ابتدا تبدیلهای کلی لازم برای بدست آوردن چهارچوب معج دست، $\{W\}$ ، نسبت به چهارچوب پایه، $\{B\}$ ، را محاسبه می‌کنیم، و سپس برای یافتن زوایای مفصلی، از بناییک دارون استفاده خواهیم کرد.

۴-۴ حل پذیر بودن

حل معادله‌های سینماتیکی بازوی مکانیکی ماهر به روش‌های غیرخطی صورت می‌گیرد و در آن با داشتن معادله‌های عددی T_N ، می‌کوشیم معادله‌های $\theta_1, \theta_2, \dots, \theta_n$ را پیدا کنیم.

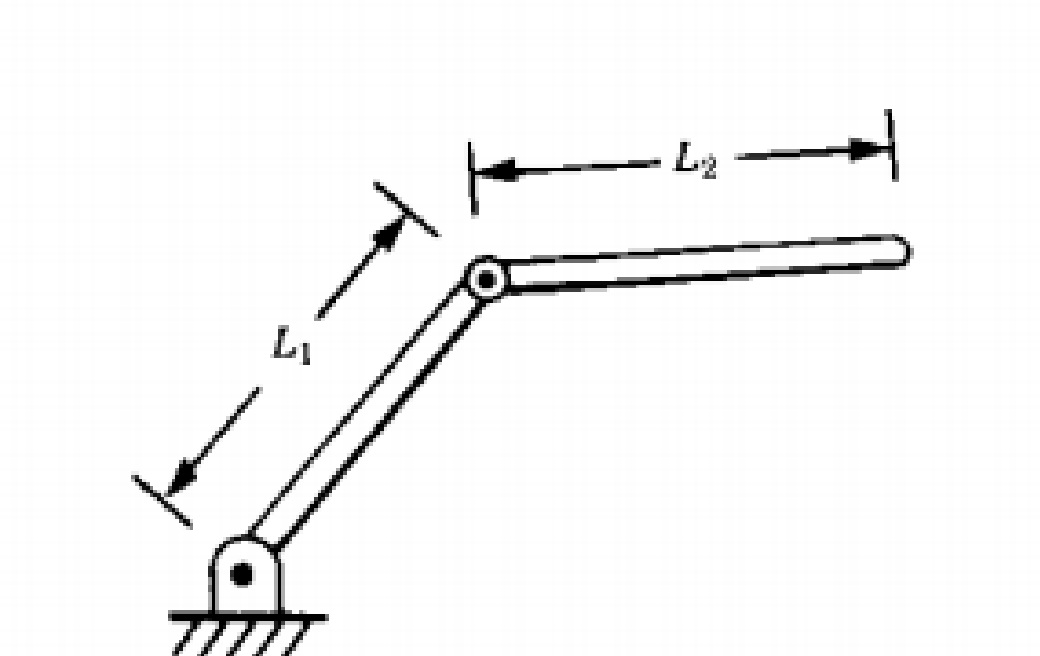
مسئله فوق در مورد روبات پیوما 56° چنین است:

با داشتن T_4 به صورت ۱۶ مقدار عددی (که چهار مقدار آن بدینه هستند)، معادله‌های را حل کنید و زوایای منفصلی θ_1 تا θ_4 را به دست آورید.

وجود جوابها

125

وجود یا عدم وجود جواب، به فضای کاری بازوی مکانیکی ماهر بستگی دارد.



دقت و تکرار پذیری



ژاکوبیها، سرعتها و نیروهای استاتیکی

۲-۵ نمادگذاری برای مکان و جهتگیری متغیر با زمان

$${}^B V_Q = \frac{d}{dt} {}^B Q = \lim_{\Delta t \rightarrow 0} \frac{{}^B Q(t + \Delta t) - {}^B Q(t)}{\Delta t}$$

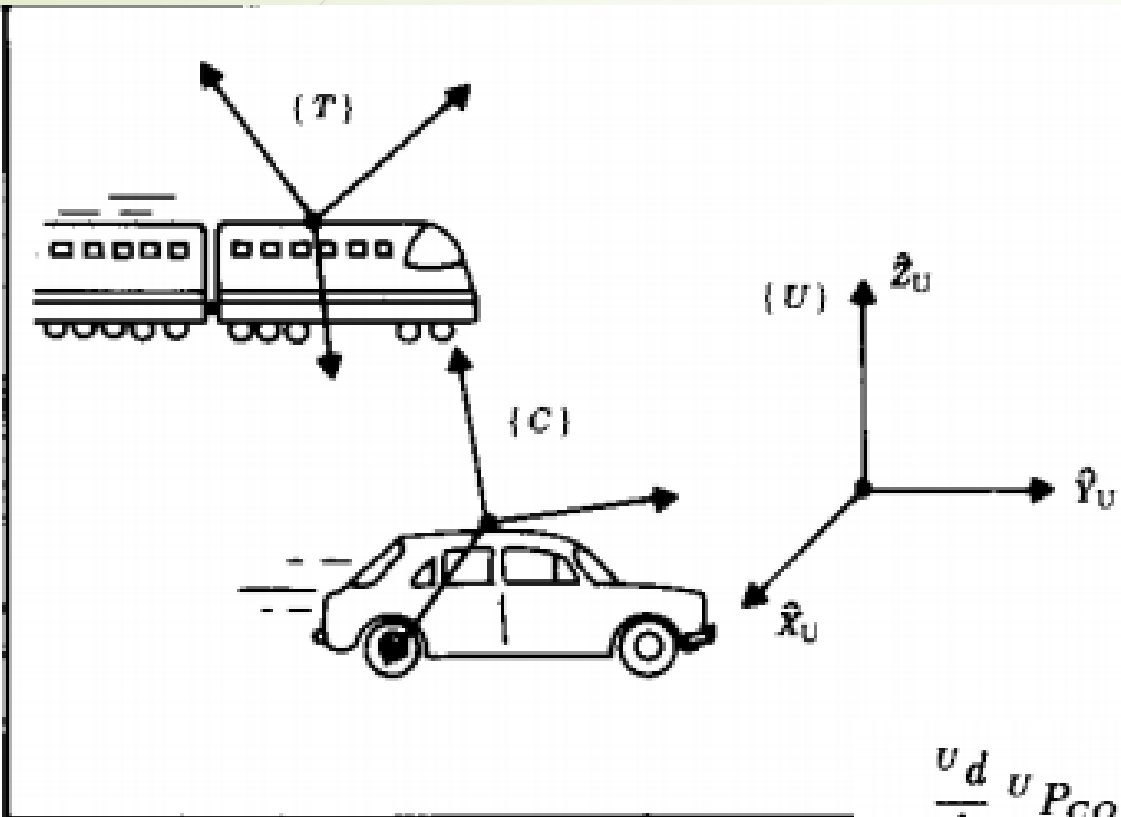
$${}^A({}^B V_Q) = \frac{d}{dt} {}^B Q$$

$${}^B({}^BV_Q) = {}^BV_Q$$

$${}^A({}^BV_Q) = {}_B^A R \cdot {}^BV_Q$$

$$v_c = {}^U V_{cORG}$$

مثال



$$\frac{^U d}{dt} {}^U P_{CORG}$$

$${}^C({}^U V_{TORG})$$

$${}^C({}^T V_{CORG})$$

$$\frac{^U d}{dt} {}^U P_{CORG} = {}^U V_{CORG} = v_C = \Gamma \cdot \hat{X}$$

$${}^C({}^U V_{TORG}) = {}^C v_T = \frac{C}{U} R v_T = \frac{C}{U} R (\Gamma \cdot \hat{X}) = \frac{U}{C} R^{-1} \Gamma \cdot \hat{X}$$

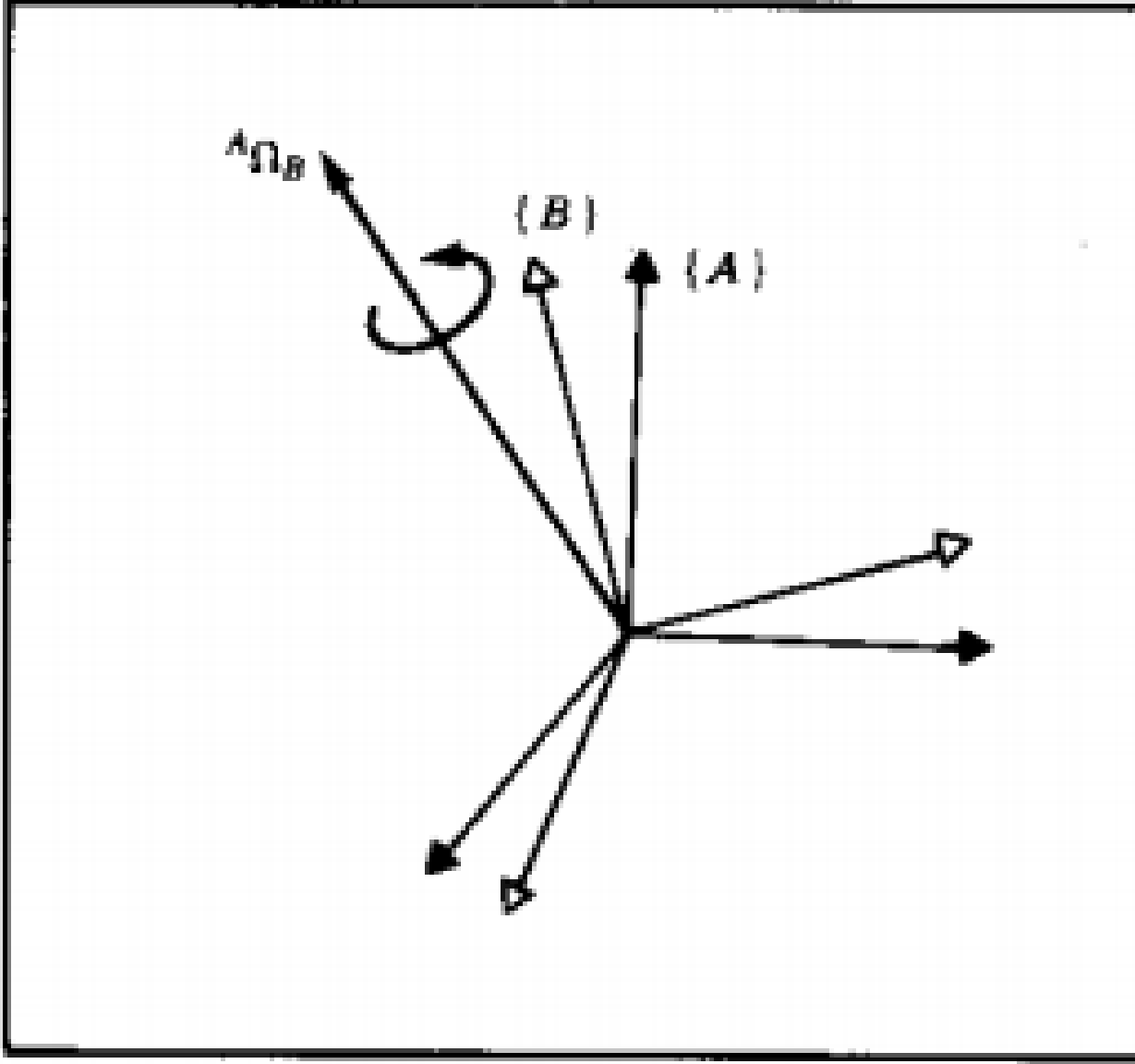
$${}^C({}^T V_{CORG}) = \frac{C}{T} R {}^T V_{CORG} = -\frac{U}{C} R^{-1} \frac{U}{T} R \Gamma \cdot \hat{X}$$

واحد مایل بر ساعت (Mi/h)

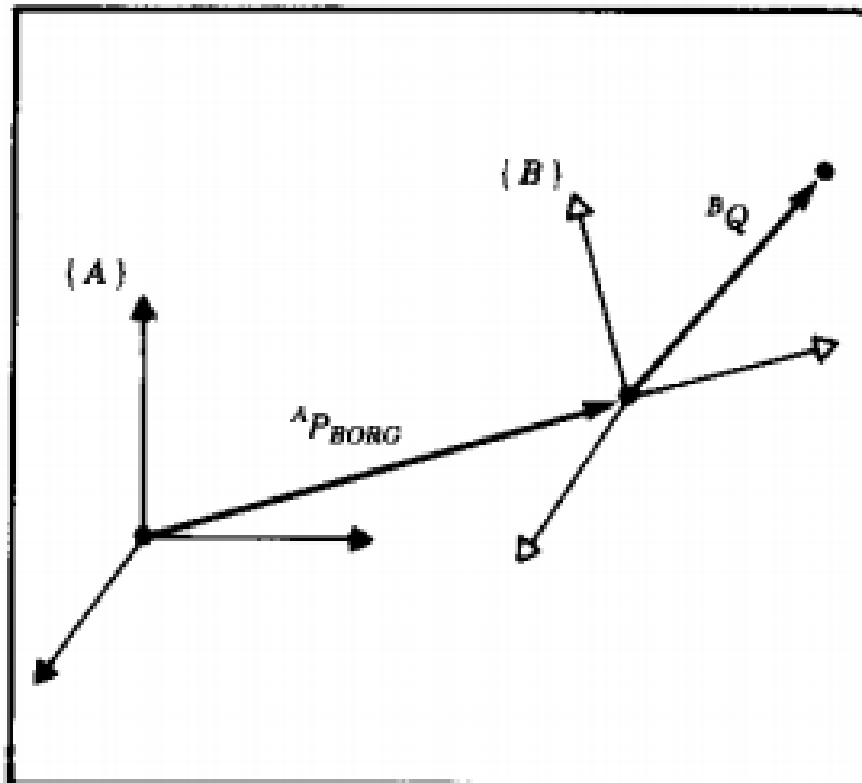
مایل بر ساعت (Mi/h) یکی دیگر از واحدهای سنجش سرعت است. این واحد سرعت بیشتر در کشورهای انگلیس و آمریکا رایج میباشد. همانگونه که از نام این واحد سرعت بر می آید در آن واحد طول به مایل و یکای زمان با واحد ساعت بیان شده است. هر یک مایل 1606.34 متر میباشد. هر ساعت 3600 ثانیه است. برای تبدیل واحد سرعت از مایل بر ساعت به متر بر ثانیه مقدار سرعت برحسب واحد مایل بر ساعت به عدد 2.237 تقسیم میشود. برای تبدیل واحد سرعت از مایل بر ساعت به واحد کیلو متر بر ساعت کافیست مقدار سرعت به مایل بر ساعت در عدد 1.609 ضرب شود.

بردار سرعت زاویه‌ای

131

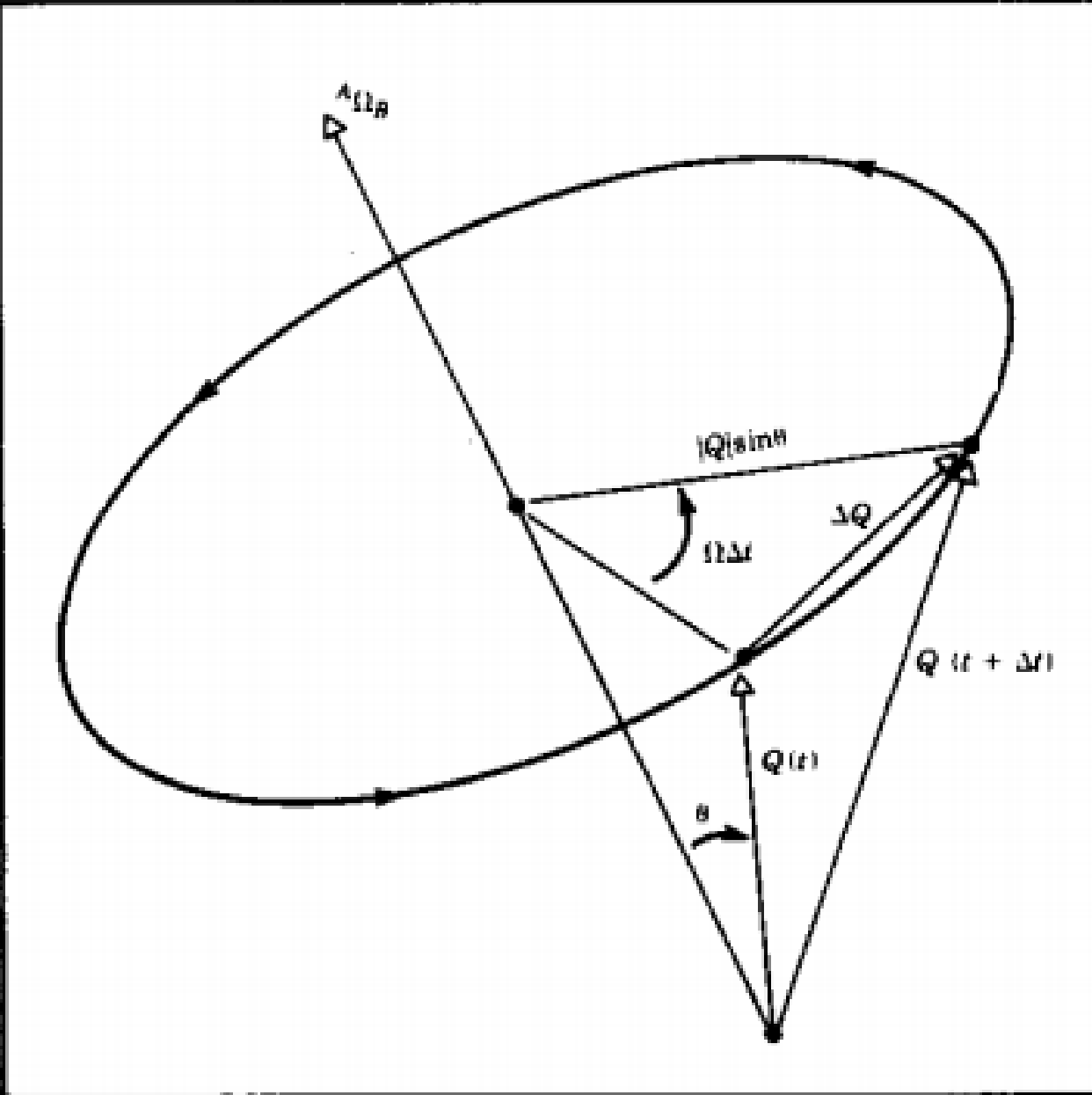


۴-۵ سرعت خطی و دورانی اجسام صلب



$${}^A V_Q = {}^A V_{BORG} + {}_B^A R \cdot {}^B V_Q$$

چهار جوب $\{B\}$ با سرعت ${}^A V_{BORG}$ نسبت به چهار جوب $\{A\}$ انتقال می‌یابد.



شکل ۵-۵ سرعت یک نقطه، ناشی از وجود سرعت زاویه‌ای.

$$|\Delta Q| = (|^A Q| \sin \theta) \ (|^A \Omega_B | \Delta t)$$

$$^A V_Q = ^A \Omega_B \times ^A Q$$

$${}^A V_Q = {}^A({}^B V_Q) + {}^A \Omega_B \times {}^A Q$$

$${}^A V_Q = {}_B R \cdot {}^B V_Q + {}^A \Omega_B \times {}_B R \cdot {}^B Q$$

سرعت خطی و زاویه‌ای همزمان

$${}^A V_Q = {}^A V_{BORG} + {}^A_B R \cdot {}^B V_Q + {}^A \Omega_B \times {}^A_B R \cdot {}^B Q$$

۴-۵ مطالبی بیشتر درباره سرعت زاویه‌ای

دیگری مشتق یک ماتریس پکامتعادل

$$RR^T = I_n$$

$$\dot{R}R^T + R\dot{R}^T = \cdot_n$$

$$\dot{R}R^T + (\dot{R}R^T)^T = \cdot_n$$

$$S = \dot{R}R^T$$

$$S + S^T = I_n$$

$$S = \dot{R}R^{-1}$$

سرعت یک نقطه بر اثر دوران چهارچوب مرجع

$${}^A P = {}_B^A R {}^B P$$

مشتق ${}^A \dot{R}$ صفر نباشد

$${}^A \dot{P} = {}_B^A \dot{R} {}^B P$$

$${}^A \dot{V}_P = {}_B^A \dot{R} {}^B P$$

$${}^A V_P = {}^A_B R \, {}^A_B R^{-1} \cdot {}^A P$$

$${}^A V_P = {}^A_B S \cdot {}^A P$$

ماتریس‌های پاد متقاض و ضرب برداری

$$S = \begin{bmatrix} * & -\Omega_z & \Omega_y \\ \Omega_x & * & -\Omega_x \\ -\Omega_y & \Omega_x & * \end{bmatrix}$$

$$\Omega = \begin{bmatrix} \Omega_x \\ \Omega_y \\ \Omega_z \end{bmatrix}$$

$$SP = \Omega \times P$$

$${}^A V_P = {}^A \Omega_B \times {}^A P$$

مفهوم فیزیکی بردار سرعت زاویه‌ای

$$\dot{R} = \lim_{\Delta t \rightarrow 0} \frac{R(t + \Delta t) - R(t)}{\Delta t}$$

$$R(t + \Delta t) = R_K(\Delta\theta)R(t)$$

$$\dot{R} = \lim_{\Delta t \rightarrow 0} \left(\frac{R_K(\Delta\theta) - I_r}{\Delta t} R(t) \right)$$

$$R_K(\Delta\theta) = \begin{bmatrix} 1 & -k_z\Delta\theta & k_y\Delta\theta \\ k_z\Delta\theta & 1 & -k_x\Delta\theta \\ -k_y\Delta\theta & k_x\Delta\theta & 1 \end{bmatrix}$$

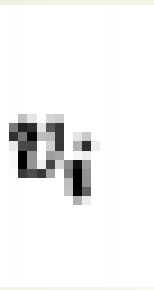
$$\dot{R} = \begin{bmatrix} * & -k_x \dot{\theta} & k_y \dot{\theta} \\ k_x \dot{\theta} & * & -k_x \dot{\theta} \\ -k_y \dot{\theta} & k_x \dot{\theta} & * \end{bmatrix} R(t)$$

$$\dot{R}R^{-1} = \begin{bmatrix} * & -\Omega_z & \Omega_y \\ \Omega_z & * & -\Omega_x \\ -\Omega_y & \Omega_x & * \end{bmatrix}$$

$$\Omega = \begin{bmatrix} \Omega_x \\ \Omega_y \\ \Omega_z \end{bmatrix} = \begin{bmatrix} k_x \dot{\theta} \\ k_y \dot{\theta} \\ k_z \dot{\theta} \end{bmatrix} = \dot{\theta} \hat{K}$$

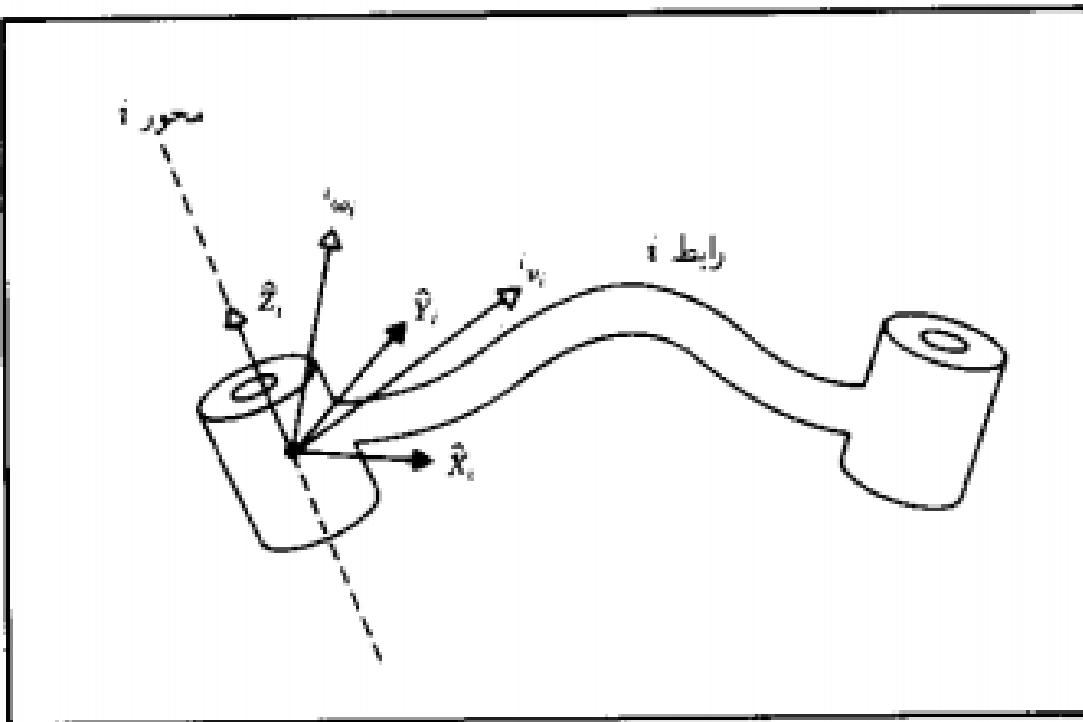
$$\dot{R} = \lim_{\Delta t \rightarrow 0} \frac{\begin{bmatrix} * & -k_x \Delta \theta & k_y \Delta \theta \\ k_x \Delta \theta & * & -k_x \Delta \theta \\ -k_y \Delta \theta & k_x \Delta \theta & * \end{bmatrix}}{\Delta t} R(t)$$

حرکت رابطه‌ای رویات



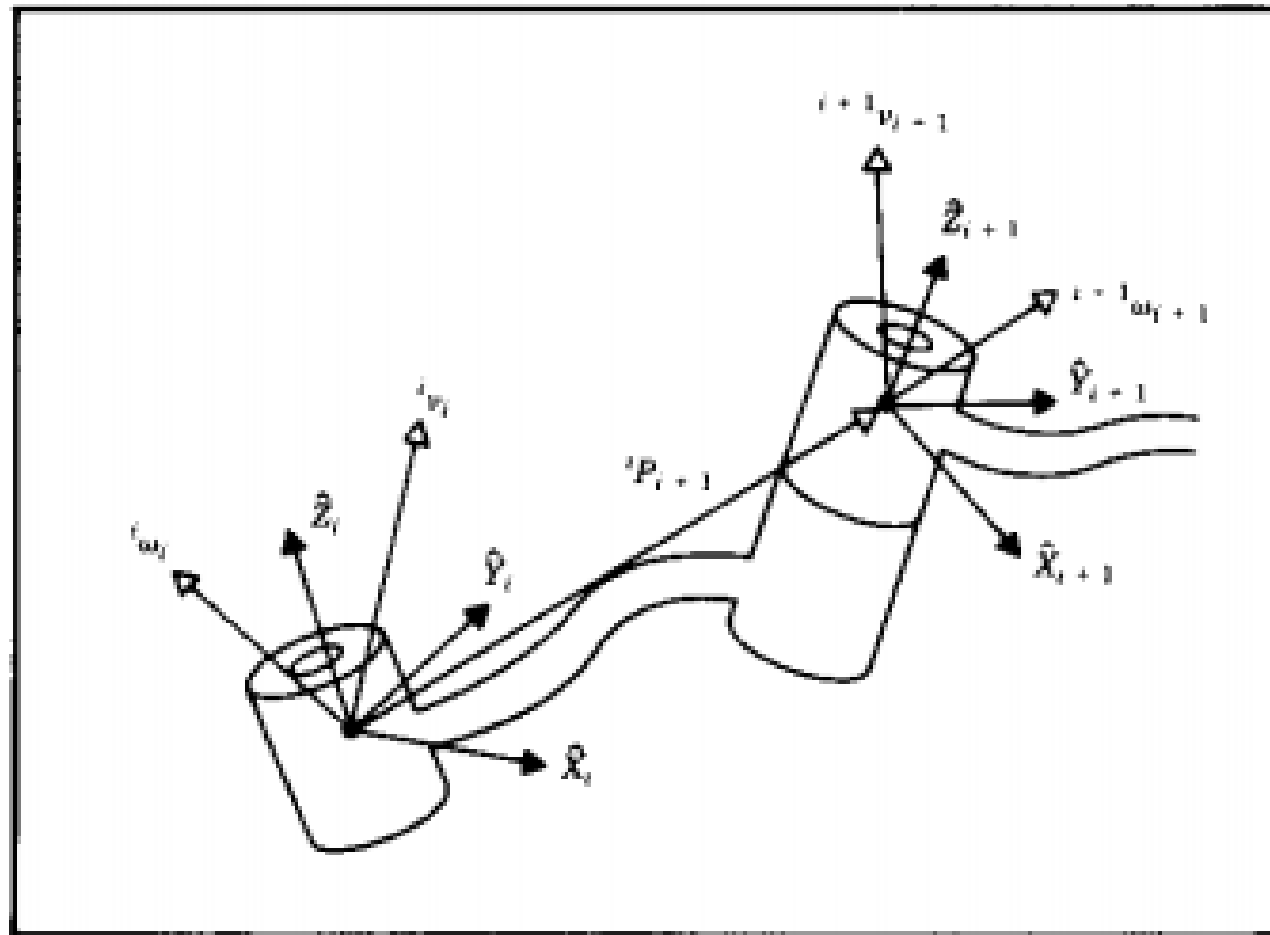
رویات

۶-۵ چگونگی «اشاعه» سرعت از رابطی به رابط دیگر



شکل ۶-۴ سرعت رابط ۱ با بردارهای v_i و v_{i+1} که می‌توانند در هر چهارچوب دلخواه، حتی چهارچوب $\{\hat{x}_i, \hat{y}_i, \hat{z}_i\}$ نوشته شوند، داده می‌شد.

۱. به خاطر آورید که سرعت خطی برای نقطه، و سرعت زاویه‌ای برای جسم تعریف می‌شود، پس اصطلاح «سرعت رابط» در اینجا برایند سرعت خطی مبدأ چهارچوب رابط، و سرعت زاویه‌ای آن رابط است.



شکل ۵-۷ بردارهای سرعت رابطهای مجاور.

$${}^i\omega_{i+1} = {}^i\omega_i + {}^i_{i+1}R \quad \dot{\theta}_{i+1} \quad {}^{i+1}\hat{Z}_{i+1}$$

$$\dot{\theta}_{i+1} \quad {}^{i+1}\hat{Z}_{i+1} = \begin{bmatrix} & & \\ & \ddots & \\ & \ddots & \\ \dot{\theta}_{i+1} & & \end{bmatrix}$$



$${}^{i+1}\omega_{i+1} = {}_i^{i+1}R \cdot {}^i\omega_i + \dot{\theta}_{i+1} \cdot {}^{i+1}\hat{Z}_{i+1}$$

$${}^i v_{i+1} = {}^i v_i + {}^i \omega_i \times {}^i P_{i+1}$$

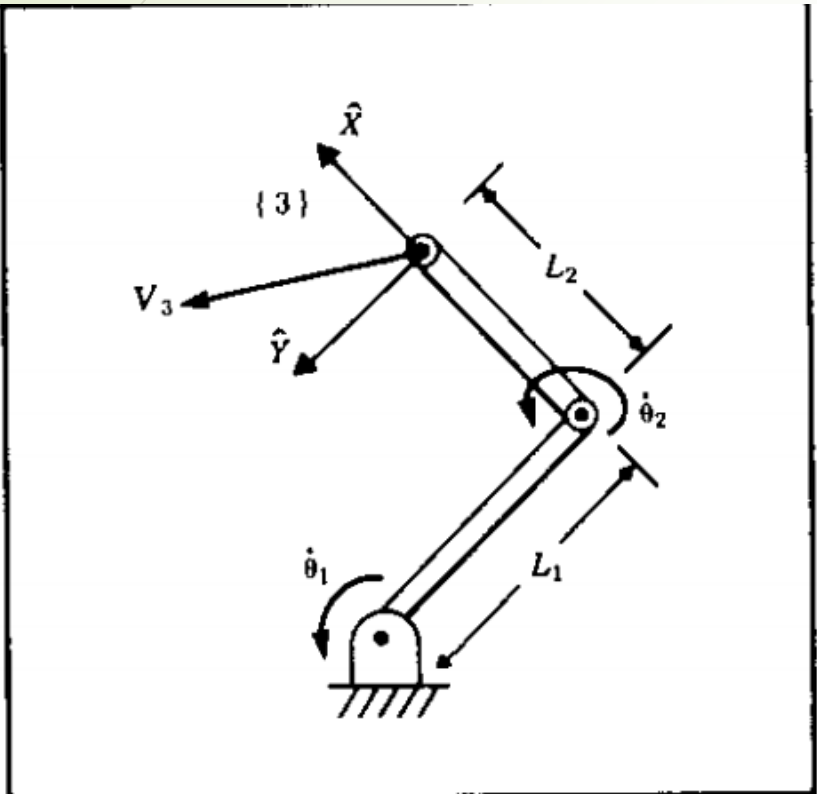


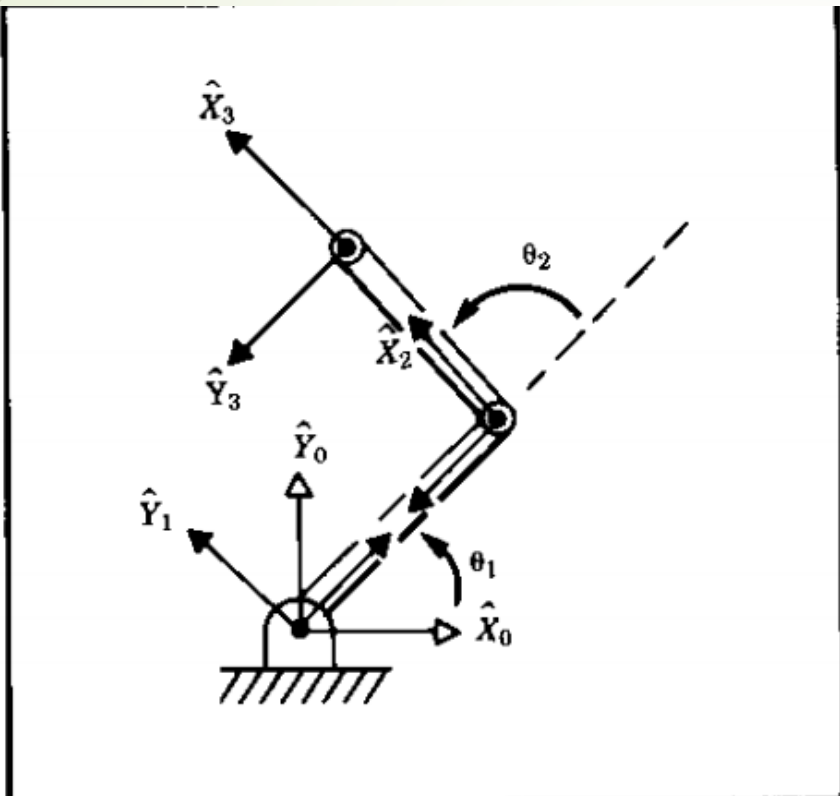
$${}^{i+1}v_{i+1} = {}_i^{i+1}R({}^i v_i + {}^i \omega_i \times {}^i P_{i+1})$$

مفصل کشی

150

$$\begin{aligned}{}^{i+1}\omega_{i+1} &= {}^i{}_iR\, {}^i\omega_i \\{}^{i+1}v_{i+1} &= {}^i{}_iR({}^iv_i + {}^i\omega_i \times {}^iP_{i+1}) + \dot{d}_{i+1} - {}^{i+1}\hat{Z}_{i+1}\end{aligned}$$





$$\dot{T} = \begin{bmatrix} c_1 & -s_1 & 0 & 0 \\ s_1 & c_1 & 0 & 0 \\ 0 & 0 & 1 & 0 \\ 0 & 0 & 0 & 1 \end{bmatrix}$$

$$^rT = \begin{bmatrix} c_r & -s_r & 0 & l_r \\ s_r & c_r & 0 & 0 \\ 0 & 0 & 1 & 0 \\ 0 & 0 & 0 & 1 \end{bmatrix}$$

$$^r\dot{T} = \begin{bmatrix} 1 & 0 & 0 & l_r \\ 0 & 1 & 0 & 0 \\ 0 & 0 & 1 & 0 \\ 0 & 0 & 0 & 1 \end{bmatrix}$$

$$\begin{aligned}\mathbf{\omega}_1 &= \begin{bmatrix} 0 \\ 0 \\ \dot{\theta}_1 \end{bmatrix} \\ \mathbf{v}_1 &= \begin{bmatrix} 0 \\ 0 \\ 0 \end{bmatrix} \\ \mathbf{\omega}_r &= \begin{bmatrix} 0 \\ 0 \\ \dot{\theta}_1 + \dot{\theta}_r \end{bmatrix}\end{aligned}$$

$$\mathbf{\omega}_r = \mathbf{\omega}_r$$

$$\mathbf{v}_r = \begin{bmatrix} l_1 s_r \dot{\theta}_1 \\ l_1 c_r \dot{\theta}_1 + l_r (\dot{\theta}_1 + \dot{\theta}_r) \\ 0 \end{bmatrix}$$

$$\mathbf{v}_r = \begin{bmatrix} c_r & s_r & 0 \\ -s_r & c_r & 0 \\ 0 & 0 & 1 \end{bmatrix} \begin{bmatrix} 0 \\ l_1 \dot{\theta}_1 \\ 0 \end{bmatrix} = \begin{bmatrix} l_1 s_r \dot{\theta}_1 \\ l_1 c_r \dot{\theta}_1 \\ 0 \end{bmatrix}$$

$${}^{i+1}\mathbf{v}_{i+1} = {}^i_i R({}^i\mathbf{v}_i + {}^i\omega_i \times {}^iP_{i+1})$$

$${}^{i+1}\omega_{i+1} = {}^i_i R \cdot {}^i\omega_i + \dot{\theta}_{i+1} \cdot {}^{i+1}\hat{Z}_{i+1}$$

$$\dot{r}R = \dot{\theta}_1 R \quad \dot{\theta}_1 R = \begin{bmatrix} c_{12} & -s_{12} & 0 \\ s_{12} & c_{12} & 0 \\ 0 & 0 & 1 \end{bmatrix}$$

به دست می‌دهد

$$\dot{v}_r = \begin{bmatrix} -l_1 s_1 \dot{\theta}_1 - l_r s_{12} (\dot{\theta}_1 + \dot{\theta}_r) \\ l_1 c_1 \dot{\theta}_1 + l_r c_{12} (\dot{\theta}_1 + \dot{\theta}_r) \\ 0 \end{bmatrix}$$

۵-۷ ژاکوبیها

ژاکوبی، صورتی چند بعدی از مشتق است. مثلاً شش تابع را در نظر بگیرید که هر کدام تابعی از شش متغیر مستقل است

$$y_1 = f_1(x_1, x_2, x_3, x_4, x_5, x_6)$$

$$y_2 = f_2(x_1, x_2, x_3, x_4, x_5, x_6)$$

$$\vdots$$
$$y_6 = f_6(x_1, x_2, x_3, x_4, x_5, x_6)$$

$$\delta y_1 = \frac{\partial f_1}{\partial x_1} \delta x_1 + \frac{\partial f_1}{\partial x_2} \delta x_2 + \cdots + \frac{\partial f_1}{\partial x_s} \delta x_s$$

$$\delta y_2 = \frac{\partial f_2}{\partial x_1} \delta x_1 + \frac{\partial f_2}{\partial x_2} \delta x_2 + \cdots + \frac{\partial f_2}{\partial x_s} \delta x_s$$

.

.

.

$$\delta y_s = \frac{\partial f_s}{\partial x_1} \delta x_1 + \frac{\partial f_s}{\partial x_2} \delta x_2 + \cdots + \frac{\partial f_s}{\partial x_s} \delta x_s$$

$$\delta Y = \frac{\partial F}{\partial X} \delta X$$

$$\delta Y = J(X) \delta X$$

$$\dot{Y} = J(X) \dot{X}$$

مثال:

158

$${}^r v_r = \begin{bmatrix} c_r & s_r & 0 \\ -s_r & c_r & 0 \\ 0 & 0 & 1 \end{bmatrix} \begin{bmatrix} 0 \\ l_1 \dot{\theta}_1 \\ 0 \end{bmatrix} = \begin{bmatrix} l_1 s_r \dot{\theta}_1 \\ l_1 c_r \dot{\theta}_1 \\ 0 \end{bmatrix}$$

$${}^r J(\Theta) = \begin{bmatrix} l_1 s_r & 0 \\ l_1 c_r + l_r & l_r \end{bmatrix}$$

$${}^r v_r = \begin{bmatrix} -l_1 s_1 \dot{\theta}_1 - l_r s_{1r} (\dot{\theta}_1 + \dot{\theta}_r) \\ l_1 c_1 \dot{\theta}_1 + l_r c_{1r} (\dot{\theta}_1 + \dot{\theta}_r) \\ 0 \end{bmatrix}$$

$${}^r J(\Theta) = \begin{bmatrix} -l_1 s_1 - l_r s_{1r} & -l_r s_{1r} \\ l_1 c_1 + l_r c_{1r} & l_r c_{1r} \end{bmatrix}$$

تغییر چهارچوب مرجع ژاکوبی

$$\begin{bmatrix} {}^A v \\ {}^A \omega \end{bmatrix} = \begin{bmatrix} {}^A R & * \\ * & {}^B R \end{bmatrix} \begin{bmatrix} {}^B v \\ {}^B \omega \end{bmatrix}$$

$${}^A J(\Theta) = \begin{bmatrix} {}^A R & * \\ * & {}^B R \end{bmatrix} {}^B J(\Theta)$$

حالتهای تکین

160

۱. حالتهای تکین در مرز فضای کاری، حالتهایی هستند که در هنگام کشیدگی کامل بازو یا خم شدن کامل بازو بر روی خود، به طوری که مجری نهایی تقریباً یا دقیقاً در مرز فضای کاری قرار گیرد، روی می‌دهند.

۲. حالتهای تکین در داخل فضای کاری، حالتهایی هستند که دور از مرز فضای کاری، و در حالت کلی هنگامی که دو یا چند محور مفصلی در یک راستا قرار می‌گیرند، روی می‌دهند.

$$DET[J(\Theta)] = \begin{vmatrix} l_1 s_{\tau} & * \\ l_1 c_{\tau} + l_{\tau} & l_{\tau} \end{vmatrix} = l_1 l_{\tau} s_{\tau} = *$$

در غفلت
امام علی علیہ السلام
آدمی میں بس کہ عمر
خود را در را چیز ہای
کہ اور انجات نمی دهد
هدار دهد

غیر الحکم
حدیث ۷۰۷۵

